

แหล่งจ่ายไฟสวิทชิงสำหรับมอเตอร์กระแสตรง

SWITCHING POWER SUPPLY FOR DC MOTOR



โดย
นาย บุญสิทธิ์ ศรีศิลป์
นาย วิเชียร มาเรียน
นาย สมโชค ชุนคำ

อาจารย์ที่ปรึกษา
ผศ. พิรัช อุศิริวานิชกร

เลขที่.....
เลขทะเบียน.....42283
วัน, เดือน, ปี.....16 พ.ค. 2545

b.....
i.....

ปริญญานิพนธ์นี้เป็นส่วนหนึ่งของการศึกษาคามหลักสูตรปริญญาวิศวกรรมศาสตรบัณฑิต
สาขาวิศวกรรมอิเล็กทรอนิกส์
สถาบันเทคโนโลยีพระจอมเกล้าเจ้าคุณทหารลาดกระบัง
ปีการศึกษา 2543

เอกสารนี้เป็นเอกสารที่สงวนไว้สำหรับการใช้งานเพื่อการศึกษาเท่านั้น ไม่อนุญาตให้นำไปใช้ประโยชน์ด้านการค้า
ไม่ว่ากรณีใดๆ ทั้งสิ้น อีกทั้งห้ามมิให้ดัดแปลงเนื้อหาและต้องอ้างอิงถึงเจ้าของเอกสารทุกครั้งที่มีการนำไปใช้

ปริญญานิพนธ์ประจำปีการศึกษา 2543

ภาควิชา วิศวกรรมศาสตร์อิเล็กทรอนิกส์

คณะ วิศวกรรมศาสตร์ สถาบันเทคโนโลยีพระจอมเกล้าเจ้าคุณทหารลาดกระบัง

เรื่อง แหล่งจ่ายไฟสวิทชิงสำหรับมอเตอร์กระแสตรง

ผู้จัดทำ

1. นาย บุญสิทธิ์ ศรีศิลป์
2. นาย วิเชียร มาเรียน
3. นาย สมโชค ชุนคำ



ผศ. พิชัย คูศิริวานิชกร
(อาจารย์ที่ปรึกษา)



เอกสารนี้เป็นเอกสารที่สงวนไว้สำหรับการใช้งานเพื่อการศึกษาเท่านั้น ไม่อนุญาตให้นำไปใช้ประโยชน์ด้านการค้า
ไม่ว่ากรณีใดๆ ทั้งสิ้น อีกทั้งห้ามมิให้ดัดแปลงเนื้อหาและต้องอ้างอิงถึงเจ้าของเอกสารทุกครั้งที่มีการนำไปใช้

แหล่งจ่ายไฟสวิทซ์สำหรับมอเตอร์กระแสตรง

SWITCH POWER SUPPLY FOR DC MOTOR

ผู้จัดทำ

1. นาย บุญสิทธิ์ ศรีศิลป์
2. นาย วิเชียร มาเรียน
3. นาย สมโชค จุนคำ

โครงการได้รับการตรวจสอบแล้ว พร้อมทั้งจะทำการสอบได้



ผศ. พิชัย กุศิริวานิชกร
(อาจารย์ที่ปรึกษา)



เอกสารนี้เป็นเอกสารที่สงวนไว้สำหรับการใช้งานเพื่อการศึกษาเท่านั้น ไม่อนุญาตให้นำไปใช้ประโยชน์ด้านการค้า
ไม่ว่ากรณีใดๆ ทั้งสิ้น อีกทั้งห้ามมิให้ดัดแปลงเนื้อหาและต้องอ้างอิงถึงเจ้าของเอกสารทุกครั้งที่มีการนำไปใช้

แหล่งจ่ายไฟสวิตชิงสำหรับมอเตอร์กระแสตรง

นาย บุญสิทธิ์ ตรีศิลป์

นาย วิเชียร มาเรียน

นาย สมโชค จุนคำ

ผู้ช่วยศาสตราจารย์ พิชัย คุศิริวานิชกร

(อาจารย์ที่ปรึกษา)

2543

บทคัดย่อ

เพาเวอร์ซัพพลายแบบสวิตชิงเป็นที่นิยมใช้งานกันอย่างกว้างขวางทั้งในด้านอิเล็กทรอนิกส์และคอมพิวเตอร์ เนื่องจากสวิตชิงเพาเวอร์ซัพพลายมีขนาดหม้อแปลงเล็ก และมีประสิทธิภาพสูง น้ำหนักเบา จึงมีบทบาทเป็นอย่างมาก ในเครื่องใช้อิเล็กทรอนิกส์สมัยใหม่ สำหรับสวิตชิงเพาเวอร์สำหรับมอเตอร์ สามารถจ่ายแรงดันได้ 36 โวลต์ กระแส 15 แอมป์ ซึ่งนำไปประยุกต์ใช้ในเครื่องออกกำลังกายแบบสะพานวีง โดยใช้สวิตชิงขับเคลื่อนมอเตอร์ และส่วนควบคุมเพื่อรักษาระดับความเร็วของมอเตอร์ให้คงที่ในขณะที่โหลดมีค่าไม่เท่ากัน

เอกสารนี้เป็นเอกสารที่สงวนไว้สำหรับการใช้งานเพื่อการศึกษาเท่านั้น ไม่อนุญาตให้นำไปใช้ประโยชน์ด้านการค้าไม่ว่ากรณีใดๆ ทั้งสิ้น อีกทั้งห้ามมิให้ดัดแปลงเนื้อหาและต้องอ้างอิงถึงเจ้าของเอกสารทุกครั้งที่มีการนำไปใช้

SWITCHING POWER SUPPLY FOR DC MOTOR

Mr.Boonsit Sornsil

Mr.Wichain Marain

Mr.Somchok Khundam

Asst.Prof. Pichai Kusirivanichakorn

(Advisor)

2543

ABSTRACT

Switching power supply are widely used in both electronics and computer. Because switching power supply is a small transformer and high sensivity electronic product also use switching power supply . This supply is be able to generate 36 V., 15 A. for addominizer , drive a motor and control motor speed where different load is applied.

เอกสารนี้เป็นเอกสารที่สงวนไว้สำหรับการใช้งานเพื่อการศึกษาเท่านั้น ไม่อนุญาตให้นำไปใช้ประโยชน์ด้านการค้า
ไม่ว่ากรณีใดๆ ทั้งสิ้น อีกทั้งห้ามมิให้ดัดแปลงเนื้อหาและต้องอ้างอิงถึงเจ้าของเอกสารทุกครั้งที่มีการนำไปใช้

สารบัญ

เรื่อง	หน้า
บทคัดย่อ	
Abstract	
สารบัญ	
สารบัญรูปภาพ	
บทที่ 1 บทนำ	1
บทที่ 2 ทฤษฎีเกี่ยวกับสวิตชิงเพาเวอร์ซัพพลาย	2
2.1 ชนิดของคอนเวอร์เตอร์	2
2.1.1 คอนเวอร์เตอร์แบบฟลายแบ็ค	3
2.1.2 คอนเวอร์เตอร์แบบฟอร์เวิร์ด	3
2.1.3 คอนเวอร์เตอร์แบบพุ่ม-พูล	4
2.1.4 คอนเวอร์เตอร์แบบฮาล์ฟบริดจ์	6
2.1.5 คอนเวอร์เตอร์แบบฟูลบริดจ์	7
2.2 วงจรส่วนอินพุทของสวิตชิงเพาเวอร์ซัพพลาย	8
2.2.1 เรคตีไฟเออร์	8
2.2.2 ตัวต้านทานจำกัดกระแส Rs	8
2.2.3 ตัวเก็บประจุฟิลเตอร์ C	9
2.2.4 ไคโอดเรคตีไฟเออร์	11
2.2.5 ฟิวส์	12
2.3 วงจรควบคุมสำหรับสวิตชิงเพาเวอร์ซัพพลาย	13
2.3.1 วงจรควบคุมในโหมดควบคุมจากแรงดัน	13
2.3.2 วงจรควบคุมในโหมดควบคุมจากกระแส	13
2.3.3 ไอซีเบอร์ TL 494 สำหรับโหมดควบคุมจากแรงดัน	13
2.4 หม้อแปลงสวิตชิง	17
2.4.1 ส่วนประกอบของหม้อแปลงสวิตชิง	17
2.4.2 แกนเฟอร์ไรต์และการเลือกใช้	18
2.4.3 การพันขดลวดทองแดงและการกำหนดขนาดของขดลวด	24
บทที่ 3 คีซี มอเตอร์	31
3.1 หลักการทำงานของคีซีมอเตอร์	31
3.2 การแยกประเภทของคีซีมอเตอร์	31

เอกสารนี้เป็นเอกสารที่สงวนไว้สำหรับการใช้งานเพื่อการศึกษาเท่านั้น ไม่อนุญาตให้นำไปใช้ประโยชน์ด้านการค้า
ไม่ว่ากรณีใดๆ ทั้งสิ้น อีกทั้งห้ามมิให้ดัดแปลงเนื้อหาและต้องอ้างอิงถึงเจ้าของเอกสารทุกครั้งที่มีการนำไปใช้

3.3 เซอร์โวแอมพลิไฟเออร์	34
3.4 พัลส์วิดท์โมดูเลชั่นแอมพลิไฟเออร์ (PWMA)	38
3.5 เทคนิคการลิมิตกระแส	42
3.6 ระบบคอนโทรลความเร็วที่ใช้พัลส์วิดท์โมดูเลชั่นแอมพลิไฟเออร์	44
3.7 ระบบคอนโทรลความเร็วมอเตอร์แบบปิดลูป	45
3.8 ซิคส์จังก์ชันแรงบิด (ทอร์ค) ของมอเตอร์	47
3.9 ระบบคอนโทรลอัตราเร่งและการลดความเร็ว	48
3.10 ระบบการควบคุมความเร็วของมอเตอร์ด้วยเฟสล็อกคูลฟ	49
3.10.1 ส่วนประกอบของระบบเฟสล็อกคูลฟเซอร์โว	50
3.10.2 คุณสมบัติพิเศษของระบบการควบคุมความเร็วด้วยเฟสล็อกคูลฟความเร็วที่ได้และพิสัยการถือค	51
บทที่ 4 การออกแบบแหล่งจ่ายไฟสวิทช์สำหรับ DC มอเตอร์	54
4.1 วงจรส่วนอินพุท	54
4.2 วงจรคอนเวอร์เตอร์	56
4.3 วงจรควบคุมในโหมดควบคุมจากแรงดัน	63
4.4 การออกแบบชุดควบคุมมอเตอร์	64
4.4.1 พัลส์-วิดท์โมดูเลชั่น (PWM)	64
4.4.2 การออกแบบภาค out put	66
4.4.3 วงจรลิมิตกระแส และป้องกัน Over load	67
บทที่ 5 การทดลองและผลการทดลอง	71
บทที่ 6 บทสรุปและวิจารณ์	82
กิตติกรรมประกาศ	
เอกสารอ้างอิง	
ภาคผนวก	

สารบัญรูปภาพ

รูป	หน้า
บทที่ 2 ทฤษฎีเกี่ยวกับสวิตชิงเพาเวอร์ซัพพลาย	2
รูปที่ 2.1 หลักการของคอนเวอร์เตอร์แบบฟลายแบ็ค	2
รูปที่ 2.2 วงจรพื้นฐานของคอนเวอร์เตอร์แบบฟลายแบ็ค	2
รูปที่ 2.3 หลักการของคอนเวอร์เตอร์แบบฟอว์เวิร์ด	3
รูปที่ 2.4 วงจรพื้นฐานของคอนเวอร์เตอร์แบบฟอว์เวิร์ด	4
รูปที่ 2.5 คอนเวอร์เตอร์แบบพุช-พูลและรูปคลื่นสัญญาณ	5
รูปที่ 2.6 วงจรพื้นฐานของคอนเวอร์เตอร์แบบฮาล์ฟบริดจ์	6
รูปที่ 2.7 วงจรพื้นฐานของคอนเวอร์เตอร์แบบฟูลบริดจ์	7
รูปที่ 2.8 วงจรอินพุตของสวิตชิงเพาเวอร์ซัพพลาย	8
รูปที่ 2.9 แสดงการจัด โครงสร้างภายในและการจัดขาของไอซี TL494	13
รูปที่ 2.10 แสดงความสัมพันธ์ของค่า $R_T C_T$ ในการกำหนดความถี่	14
รูปที่ 2.11 แสดงรูปคลื่นลักษณะการทำงานของ TL494	15
รูปที่ 2.12 แสดงตัวอย่างและขนาดมาตรฐานของบอบบินสำหรับ แกนเฟอร์ไรต์แบบ EE, EC และ ETD	17
รูปที่ 2.13 แสดงลักษณะเส้นโค้งฮิสเตอร์รีซิส	19
รูปที่ 2.14 แสดงค่าการสูญเสียในแกนเฟอร์ไรต์ ของเนื้อสาร 3C8 (ก) และ 3C6 (ข)	20
บทที่ 3 ดีไซน์ มอเตอร์	30
รูปที่ 3.1 แสดงหน้าตัดของดีไซน์มอเตอร์แบบอาร์มาเจอร์เป็นแกนเหล็ก	32
รูปที่ 3.2 ดีไซน์มอเตอร์และเอนโคโคเตอร์แบบอาร์มาเจอร์เป็นแกนเหล็ก ขนาดต่างๆ	32
รูปที่ 3.3 แสดงรูปหน้าตัดของดีไซน์มอเตอร์แบบมีขดลวดบนพื้นผิว	33
รูปที่ 3.4 หน้าตัดของดีไซน์มอเตอร์แบบมีโรเตอร์เป็นขดลวดหมุน	33
รูปที่ 3.5 ภาคเอาต์พุทแบบ “H”	34
รูปที่ 3.6 ภาคเอาต์พุทแบบ “T”	35
รูปที่ 3.7 แสดงค่าฟอร์มแฟคเตอร์ต่อขนาดของมูมนำกระแส	36
รูปที่ 3.8 ผลการเปลี่ยนแปลงโหลดอย่างทันทีทันใดในระบบคอนโทรล ด้วย SCR	37
รูปที่ 3.9 แสดงรูปคลื่น โวลต์เตจของ PWM แอมพลิไฟเออร์	39

เอกสารนี้เป็นเอกสารที่สงวนไว้สำหรับการใช้งานเพื่อการศึกษาเท่านั้น ไม่อนุญาตให้นำไปใช้ประโยชน์ด้านการค้า
ไม่ว่ากรณีใดๆ ทั้งสิ้น อีกทั้งห้ามมิให้คัดลอกเนื้อหาและต้องอ้างอิงถึงเจ้าของเอกสารทุกครั้งที่มีการนำไปใช้

รูปที่ 3.10 แสดงให้เห็นว่า PWM แอมพลิไฟเออร์จะเปลี่ยนควิตซ์ไซเคิลไปตามโหลด	39
รูปที่ 3.11 พัลซ์วิตช์โทลูเลชั่นแอมพลิไฟเออร์สำหรับคีมอเตอร์	40
รูปที่ 3.12 ตัวลิมิตกระแสของเพาเวอร์แอมพลิไฟแบบทรานส์คอนดักแต้นซ์	43
รูปที่ 3.13 บล็อกไดอะแกรมของระบบคอนโทรลความเร็วแบบ PWM	44
รูปที่ 3.14 วงจรสมมูลย์ของคีมอเตอร์ในระบบคอนโทรลแบบ PWM	45
รูปที่ 3.15 แสดงความสัมพันธ์ระหว่างกระแสและโวลต์เตจในระบบคอนโทรลแบบ PWM	45
รูปที่ 3.16 ระบบควบคุมความเร็วมอเตอร์แบบปิดลูป	46
รูปที่ 3.17 ไดอะแกรมแสดงการทำงานเพียงคว้อดแดร้นท์แรกของระบบควบคุมความเร็วแบบทิศทางเดียว	46
รูปที่ 3.18 ไดอะแกรมแสดงการทำงานได้ถึง 4คว้อดแดร้นท์ของระบบควบคุมความเร็วแบบเซอร์โว	47
รูปที่ 3.19 แสดงถึงเส้นโค้งความเร็ว-แรงบิดของมอเตอร์ของระบบการบังคับความเร็วที่มีอัตราขยายสูงและมีขีดจำกัดแรงบิดด้วย	47
รูปที่ 3.20 วงจรคอนโทรลอัตราเร่ง (แรมพ์) แบบง่ายๆ	49
รูปที่ 3.21 แสดงคุณสมบัติของการ turn-on และ turn-off ของวงจร RC ในรูปที่ 3.19	49
รูปที่ 3.22 ระบบการคอนโทรลความเร็วของมอเตอร์ด้วยเฟสล็อกคูลฟ	50
บทที่ 4 การออกแบบแหล่งจ่ายไฟสวิทซ์สำหรับ DC มอเตอร์	
รูปที่ 4.1 วงจรในส่วนอินพุท	54
รูปที่ 4.2 ฮาล์ฟบริดจ์คอนเวอร์เตอร์	56
รูปที่ 4.3 วงจรควบคุมของสวิทซ์ที่ใช้ไอซี TL 494	63
รูปที่ 4.4 วงจรพัลซ์-วิตช์โมดูเลชั่นสำหรับควบคุม Motor	64
รูปที่ 4.5 วงจรภาค out put ของชุดควบคุม Motor	66
รูปที่ 4.6 วงจรลิมิตกระแสและป้องกัน Over load	67

รูป

หน้า

รูปที่ 4.7 วงจรสวิตชิงเพาเวอร์ซัพพลาย 36 โวลต์ 20 แอมป์	69
รูปที่ 4.9 วงจรชดควบคุม Motor	70
บทที่ 5 การทดลองและผลการทดลอง	
รูปที่ 5.1 สัญญาณ Oscillator ที่ขา 5 ของ IC TL494	71
รูปที่ 5.2 สัญญาณที่ขา G ของ Q1 และ Q2	71
รูปที่ 5.3 สัญญาณที่ขด secondary ของหม้อแปลง T1	72
รูปที่ 5.4 สัญญาณแรงดันตกคร่อม Lo ขณะไม่ต่อโหลด	72
รูปที่ 5.5 สัญญาณที่ out put ขณะไม่ต่อโหลด	73
รูปที่ 5.6 สัญญาณที่ขา G ของ Q1 และ Q2	73
รูปที่ 5.7 สัญญาณที่ขด secondary ของหม้อแปลง T1 ขณะต่อโหลด	74
รูปที่ 5.8 สัญญาณที่ out put ขณะต่อโหลด	74
รูปที่ 5.9 สัญญาณที่ขา 5 ของ TL494 ชดควบคุม Motor	75
รูปที่ 5.10 สัญญาณที่ขา 9-10 ของ TL494 ชดควบคุม Motor ขณะที่ Low speed	75
รูปที่ 5.11 สัญญาณที่ขา 9-10 ของ TL494 ชดควบคุม Motor ขณะที่ High speed	76
รูปที่ 5.12 สัญญาณที่ขาเกจของ MOSFET IRF 540 ขณะ Low speed	76
รูปที่ 5.13 สัญญาณที่ขาเกจของ MOSFET IRF 540 ขณะ High speed	77
รูปที่ 5.14 สัญญาณที่ Motor ขณะ Low speed	77
รูปที่ 5.15 สัญญาณที่ Motor ขณะ High speed	78
รูปที่ 5.16 กราฟแสดงความสัมพันธ์ระหว่างแรงดัน Vin และ Vout	81
รูปที่ 5.17 กราฟแสดงความสัมพันธ์ระหว่างแรงดัน Vin และกระแส ขณะ No Load และมี Load	82
รูปที่ 5.18 กราฟแสดงความสัมพันธ์ระหว่างแรงดัน Vin และความเร็วรอบ	82
บทที่ 6 สรุปและวิจารณ์	
รูปที่ 6.1เปรียบเทียบสัญญาณขับแกจาก Transformer และ Opto H11L2	83

เอกสารนี้เป็นเอกสารที่สงวนไว้สำหรับการใช้งานเพื่อการศึกษาเท่านั้น ไม่อนุญาตให้นำไปใช้ประโยชน์ด้านการค้า
ไม่ว่ากรณีใดๆ ทั้งสิ้น อีกทั้งห้ามมิให้ดัดแปลงเนื้อหาและต้องอ้างอิงถึงเจ้าของเอกสารทุกครั้งที่มีการนำไปใช้

บทที่ 1

บทนำ

สวิทซ์เพาเวอร์ซัพพลายเป็นแหล่งจ่ายไฟตรงคงค่าแรงดันแบบหนึ่ง และสามารถเปลี่ยนแรงดันไฟจากระบบแรงดันไฟสลับ ให้เป็นแรงดันไฟตรงค่าต่ำเพื่อใช้ในงานอิเล็กทรอนิกส์ได้เช่นเดียวกับแหล่งจ่ายไฟตรงแบบเชิงเส้น หรือที่เรียกวาลีเนียร์เพาเวอร์ซัพพลาย เพาเวอร์ซัพพลายทั้งสองแบบจำเป็นต้องใช้หม้อแปลงในการลดทอนแรงดันที่ 220 โวลต์ลงมาเป็นแรงดันค่าต่ำเช่นเดียวกัน แต่มีข้อแตกต่างอยู่ที่ขนาดและน้ำหนักของหม้อแปลง โดยที่หม้อแปลงของลิเนียร์เพาเวอร์ซัพพลายจะมีขนาดใหญ่และมีน้ำหนักมาก เมื่อเปรียบเทียบกับหม้อแปลงของสวิทซ์เพาเวอร์ซัพพลาย การพัฒนาของลิเนียร์เพาเวอร์ซัพพลาย จึงมีขีดจำกัดอยู่ที่การใช้หม้อแปลงขนาดใหญ่และมีน้ำหนักมาก รวมถึงประสิทธิภาพที่ได้ค่อนข้างต่ำ

ในขณะที่เดียวกันสวิทซ์เพาเวอร์ซัพพลายมีขนาดของหม้อแปลงเล็ก และมีประสิทธิภาพสูงน้ำหนักเบา เริ่มเข้ามามีบทบาทเป็นอันมาก หัวใจสำคัญของสวิทซ์เพาเวอร์ซัพพลายอยู่ที่คอนเวอร์เตอร์เนื่องจากเป็นตัวลดทอนแรงดันและคงค่าแรงดันที่เอาท์พุทด้วย

ด้วยคุณสมบัติเด่นของสวิทซ์เพาเวอร์ซัพพลายที่ได้กล่าวไปแล้วข้างต้น จึงเกิดความคิดที่จะศึกษาการทำงานของสวิทซ์เพาเวอร์ซัพพลาย เพราะเครื่องใช้ทางด้านอิเล็กทรอนิกส์สมัยนี้ที่ออกมาส่วนใหญ่ต้องการความกะทัดรัด และประสิทธิภาพสูง ซึ่งการนำเอาสวิทซ์เพาเวอร์ซัพพลาย มาใช้ในเครื่องใช้เหล่านี้สามารถช่วยให้กะทัดรัด และระบบจ่ายไฟที่มีประสิทธิภาพก็ทำให้เครื่องใช้ต่างๆมีประสิทธิภาพในการใช้งานสูงขึ้นด้วย

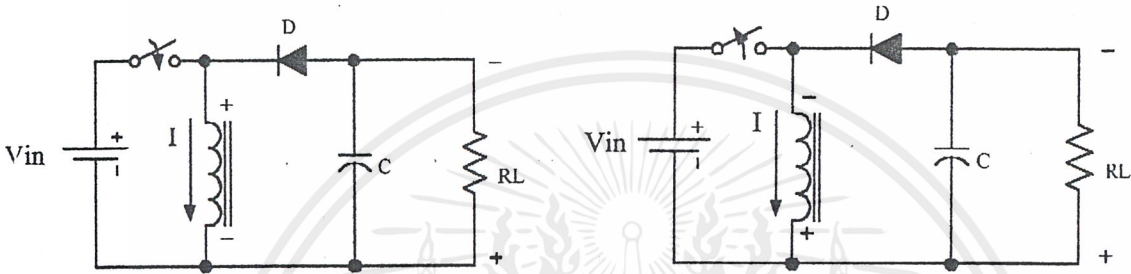
บทที่ 2

ทฤษฎีเกี่ยวกับสวิทชิงเพาเวอร์ซัพพลาย

2.1 ชนิดของคอนเวอร์เตอร์

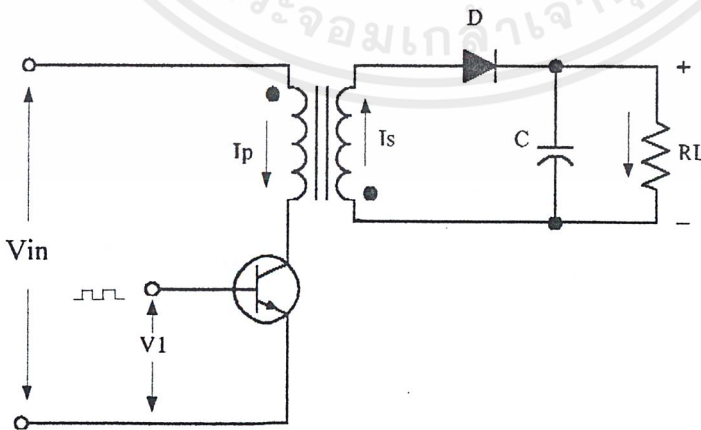
2.1.1 คอนเวอร์เตอร์แบบฟลายแบ็ค (FLYBACK CONVERTER)

ฟลายแบ็คคอนเวอร์เตอร์มีค่าใช้จ่ายในการสร้างต่ำจึงเหมาะสำหรับสวิทชิงเพาเวอร์ซัพพลายที่มีกำลังขาออกในช่วง 50 วัตต์ถึง 150 วัตต์



รูปที่ 2.1 หลักการของคอนเวอร์เตอร์แบบฟลายแบ็ค

การทำงานของคอนเวอร์เตอร์แบบฟลายแบ็คแสดงลักษณะดังรูปที่ 1 เมื่อสวิทช์ S1 ปิดกระแสจะไหลผ่านตัวเหนี่ยวนำ L สะสมพลังงานในรูปสนามแม่เหล็ก ไดโอด D จะถูกไบแอสกลับจึงยังไม่มีแรงดันตกคร่อมโหลด RL ในขณะนี้ต่อมาเมื่อสวิทช์เปิด ตัวเหนี่ยวนำก็จะคายพลังงานออกมา(เนื่องจากสนามแม่เหล็กยุบตัว)แต่ขั้วของแรงดันจะกลับกันกับที่ป้อนเข้ามา ทำให้ไดโอดได้รับไบแอสตรงนำกระแสจากการคายพลังงานกลับของตัวเหนี่ยวนำไปสู่โหลด และจะมีแรงดันตรงข้ามกับแรงดันอินพุท ถ้าสวิทช์ปิด-เปิดเป็นจังหวะอย่างต่อเนื่อง กระแสอินพุทและเอาต์พุทก็จะมีลักษณะเป็นพัลส์อย่างต่อเนื่อง



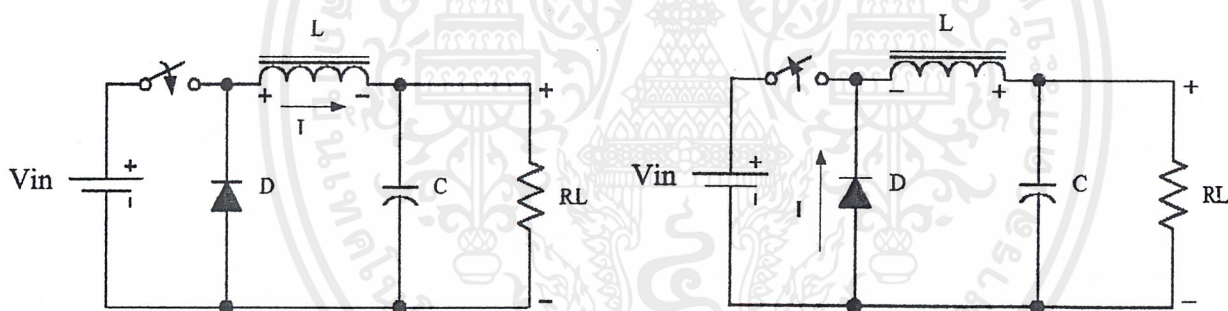
รูปที่ 2.2 วงจรพื้นฐานของคอนเวอร์เตอร์แบบฟลายแบ็ค

เอกสารนี้เป็นเอกสารที่สงวนไว้สำหรับการใช้งานเพื่อการศึกษาเท่านั้น ไม่อนุญาตให้นำไปใช้ประโยชน์ด้านการค้า ไม่ว่าจะกรณีใดๆ ทั้งสิ้น อีกทั้งห้ามมิให้ดัดแปลงเนื้อหาและต้องอ้างอิงถึงเจ้าของเอกสารทุกครั้งที่มีการนำไปใช้

คอนเวอร์เตอร์แบบฟลายแบ็คที่ใช้กันในทางปฏิบัติดังรูป เพาเวอร์ทรานซิสเตอร์ Q1 จะทำงานโดยนำกระแส (ON) และหยุดนำกระแส (OFF) สลับกันไปเมื่อ Q1 นำกระแสจะมีกระแสไหลผ่านขดลวดไพรมารี แต่เนื่องจากหม้อแปลงถูกกำหนดให้ขดไพรมารีและขดเซคันดารีพันอยู่ในลักษณะกลับทิศทาง ดังนั้นในขณะที่ Q1 นำกระแส ไดโอด D1 จะอยู่ในลักษณะถูกไบแอสกลับ ไม่มีกระแสไหลไปยังโหลด RL พลังงานจึงสะสมอยู่ที่ขดไพรมารี เมื่อ Q1 หยุดนำกระแสสนามแม่เหล็กในแกนหม้อแปลงยุบตัว ทำให้มีการกลับขั้วของแรงดันที่ขดเซคันดารี ไดโอด D1 จึงอยู่ในลักษณะไบแอสตรงพลังงานจะถูกถ่ายเท จึงมีกระแสไหลผ่านไปยังโหลด RL และเก็บประจุที่ C แม้ว่าหม้อแปลงจะทำหน้าที่แยกจากกันทางไฟฟ้าแล้วยังจะทำตัวเป็น โช้คอีกด้วยในทางทฤษฎีไม่จำเป็นต้องใส่ตัวเหนี่ยวนำที่เอาต์พุตอีก แต่ในทางปฏิบัติจำเป็นต้องใส่ตัวเหนี่ยวนำค่าน้อยๆ ไว้ ตรงระหว่างไดโอดและตัวเก็บประจุ เพื่อทำการกำจัดสัญญาณรบกวน EMI/RFI ที่เกิดจากการสวิตช์ของคอนเวอร์เตอร์เอง

2.1.2 คอนเวอร์เตอร์แบบฟอร์เวิร์ด (FORWARD CONVERTER)

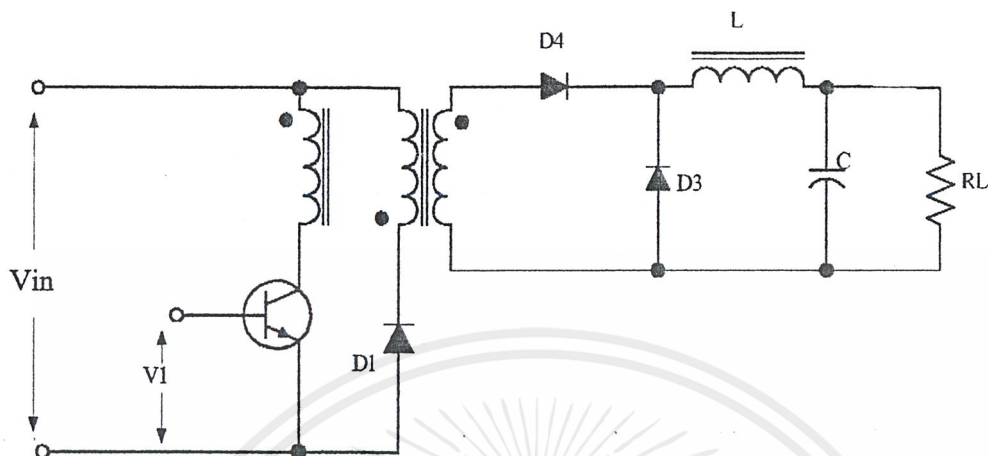
คอนเวอร์เตอร์แบบฟอร์เวิร์ดเหมาะสำหรับสวิตชิงเพาเวอร์ซัพพลายที่ให้กำลังงานในช่วง 100 วัตต์ถึง 200 วัตต์



รูปที่ 2.3 หลักการของคอนเวอร์เตอร์แบบฟอร์เวิร์ด

การทำงานของคอนเวอร์เตอร์แบบฟอร์เวิร์ดเมื่อสวิตช์ปิดกระแสจะไหลผ่านตัวเหนี่ยวนำไปสู่โหลดทำให้แรงดันตกคร่อมโหลด และมีขั้วเหมือนกับอินพุต ไดโอดจะถูกไบแอสกลับในตอนนี้ และเมื่อสวิตช์เปิดสนามแม่เหล็กที่ตัวเหนี่ยวนำจะยุบตัวคายพลังงานออกมาในรูปกระแสทำให้ไดโอดได้รับไบแอสตรงกระแสไหลผ่านตัวเก็บประจุและ โหลดและแรงดันที่คร่อมโหลดจึงยังมีขั้วเหมือนเดิม ไดโอดในวงจรนี้มักถูกเรียกว่าไดโอดฟรีวิลลิงหรือไดโอดฟลายวิล(freewheeling or fly wheel diode) เพราะการทำงานดังกล่าวกระแสเอาต์พุตที่ได้จะต่อเนื่องถึงแม้ขณะที่กระแสอินพุตจะมีลักษณะเป็นพัลส์

เอกสารนี้เป็นเอกสารที่สงวนไว้สำหรับการใช้งานเพื่อการศึกษาเท่านั้น ไม่อนุญาตให้นำไปใช้ประโยชน์ด้านการค้าไม่ว่ากรณีใดๆ ทั้งสิ้น อีกทั้งห้ามมิให้ดัดแปลงเนื้อหาและต้องอ้างอิงถึงเจ้าของเอกสารทุกครั้งที่มีการนำไปใช้



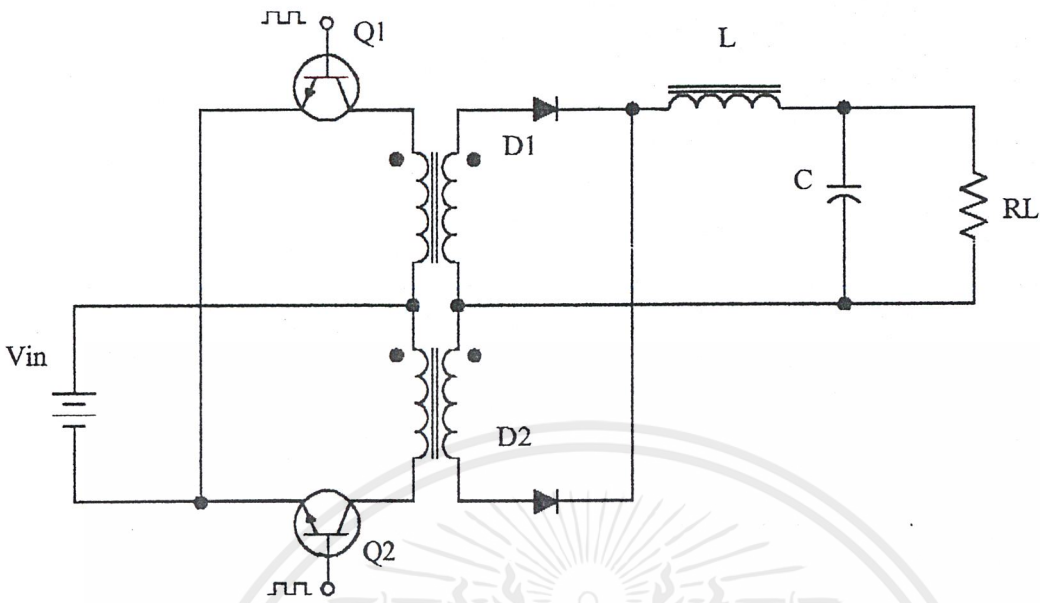
รูปที่ 2.4 วงจรพื้นฐานของคอนเวอร์เตอร์แบบฟอร์เวิร์ด

วงจรพื้นฐานแสดงดังรูป เมื่อ Q1 ทำงานจะมีกระแสไหลผ่านขดไพรมารีของหม้อแปลง และเก็บพลังงานไว้ในรูปแบบแม่เหล็ก และยังส่งสนามแม่เหล็กบางส่วนไปคล้องเกี่ยวอีก 2 ขดที่เหลือ โดยแรงดันที่จุดของขดไพรมารีและเซคันดารีจะมีขั้วเหมือนกันตลอด ดังนั้นในขณะนี้จึงมีกระแสไหลผ่านไดโอด D2 ไปสะสมพลังงานในตัวเหนี่ยวนำ และส่งต่อไปยัง โหลด RL ส่วน D3 จะถูกไบแอสกลับ

เมื่อ Q1 หยุดทำงานสนามแม่เหล็กในหม้อแปลงจะยุบตัวทำให้ขั้วแรงดันที่จุดทางด้านเซคันดารีเปลี่ยนเป็นลบ D2 จึงถูกไบแอสกลับ ดังนั้นตัวเหนี่ยวนำจึงคายพลังงานโดยผ่าน RL และ D3 สำหรับขดลวดขดกลาง (ดีแมกนีไตเซชัน) ของหม้อแปลง T1 นั้นจะทำหน้าที่หักล้างสนามแม่เหล็กตกค้าง เมื่อ Q1 หยุดทำงาน โดยจะส่งพลังงานแม่เหล็กด้านกลับจากทิศทางเดิมในรูปของกระแส ซึ่งก็คือพื้นที่ส่วนที่แรงงานรูปคลื่น I_p และ I_d , นั่นเอง

2.1.3 คอนเวอร์เตอร์แบบพุช-พูล(PUSH -PULL CONVERTER)

การทำงานของคอนเวอร์เตอร์แบบพุช-พูลเปรียบเหมือนกับการนำคอนเวอร์เตอร์แบบฟอร์เวิร์ดสองวงจรมาทำงานร่วมกัน โดยให้ผลัดกันทำงานในแต่ละครึ่งคาบเวลาในลักษณะกั๊กเฟส

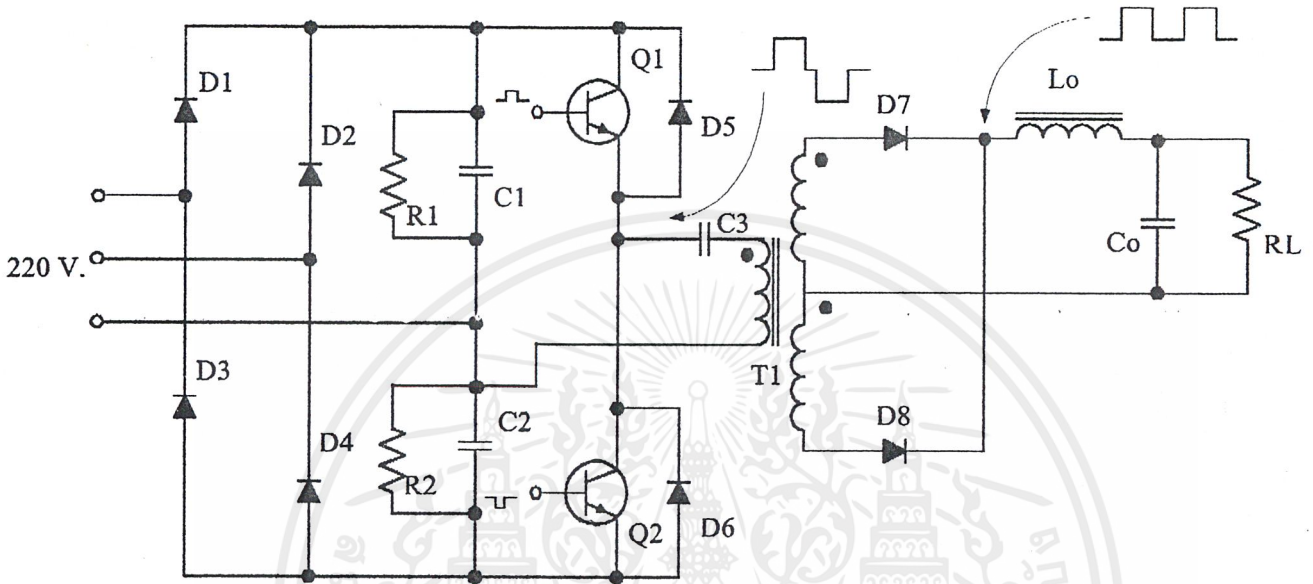


รูปที่ 2.5 คอนเวอร์เตอร์แบบพุช-พูลและรูปคลื่นสัญญาณ

วงจรพื้นฐานแสดงดังรูป เพาเวอร์ทรานซิสเตอร์ $Q1$ และ $Q2$ จะผลัดกันทำงาน โดยผลัดกันนำกระแสในแต่ละครึ่งของคาบเวลาขณะที่ $Q1$ นำกระแสจะมีกระแส I_p ไหลผ่านขดไพรมารี N_{p1} และไดโอด $D1$ จะอยู่ในลักษณะไบแอสกลับ ส่วนไดโอด $D2$ จะอยู่ในลักษณะถูกไบแอสตรง ทำให้มีกระแสไหลที่ขดไพรมารี N_{s2} ผ่านไดโอด $D2$ และ L_0 ไปยังตัวเก็บประจุ C_0 และ โหลด RL ได้แรงดันตกคร่อม $D2$ จะมีค่าเป็น $2 V_{IN}$ ในทำนองเดียวกันขณะที่ $Q2$ นำกระแส $Q1$ และ $D2$ จะไม่นำกระแสเนื่องจากถูกไบแอสกลับ $D1$ ซึ่งอยู่ในลักษณะถูกไบแอสตรงจะนำกระแสจากขดเซคันดารี N_{s1} ผ่าน L_0 ไปยังตัวเก็บประจุ C_0 และโหลด RL จะเห็นได้ว่าใน 1 คาบเวลาการทำงาน ของเซคันดารีจะให้กระแสไหลผ่าน L_0 ได้ถึงสองครั้งจึงสามารถจ่ายกำลังงานได้มากเป็นสองเท่าของฟอร์เวิร์ดคอนเวอร์เตอร์

2.1.4 คอนเวอร์เตอร์แบบฮาล์ฟบริดจ์ (HALF-BRIDGE CONVERTER)

คอนเวอร์เตอร์แบบฮาล์ฟบริดจ์จัดว่าเป็นตระกูลเดียวกับพุก-พุลคอนเวอร์เตอร์เพราะใช้หลักการเดียวกันใช้อุปกรณ์สวิทชิง 2 ตัวช่วยกันส่งพลังงานไปยังโหลด

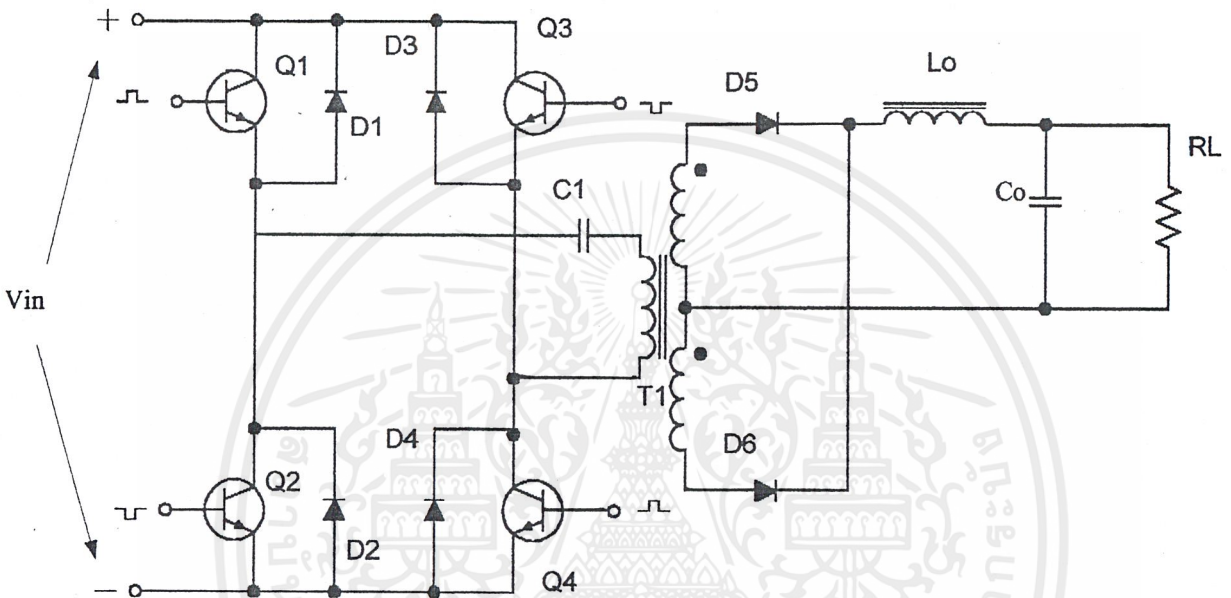


รูปที่ 2.6 วงจรพื้นฐานของคอนเวอร์เตอร์แบบฮาล์ฟบริดจ์

วงจรพื้นฐานดังรูป ตัวเก็บประจุ $C1$ และ $C2$ มีค่าเท่ากันต่ออนุกรมกันอยู่เพื่อแบ่งครึ่งแรงดัน เพาเวอร์ทรานซิสเตอร์ $Q1$ และ $Q2$ จะสลับกันทำงานคนละครึ่งคาบเวลาเช่นเดียวกับพุก-พุลคอนเวอร์เตอร์ พิจารณาเมื่อ $Q1$ นำกระแส และ $Q2$ ไม่นำกระแส แรงดันตกคร่อม $Q2$ จะมีค่าเท่ากับ $V_{IN} - V_{CL(SA1)}$ ส่วนแรงดันตกคร่อมของไพรมารี N_p จะมีค่าเท่ากับ $V_{C1} - V_{CL(SA1)}$ หรือมีค่าเท่ากับ $V_{IN}/2 - V_{CL(SA1)}$ ในทำนองเดียวกัน เมื่อ $Q2$ นำกระแส และ $Q1$ ไม่นำกระแส แรงดันตกคร่อม $Q1$ จะมีค่าเท่ากับ $V_{IN} - V_{CL(SA1)}$ แรงดันตกคร่อมที่ขดไพรมารี N_p ก็ยังมีค่าเท่ากับ $V_{IN}/2 - V_{CL(SA1)}$

2.1.5 คอนเวอร์เตอร์แบบฟูลบริดจ์(FULL-BRIDGE CONVERTER)

ขณะทำงานจะมีแรงดันตกคร่อมขดไฟโพรมารี่เท่ากับแรงดันอินพุทกำลังงานที่ได้จึงมีค่าสูงได้ตั้งแต่ 500 วัตต์ จนถึง 1,000 วัตต์



รูปที่ 2.7 วงจรพื้นฐานของคอนเวอร์เตอร์แบบฟูลบริดจ์

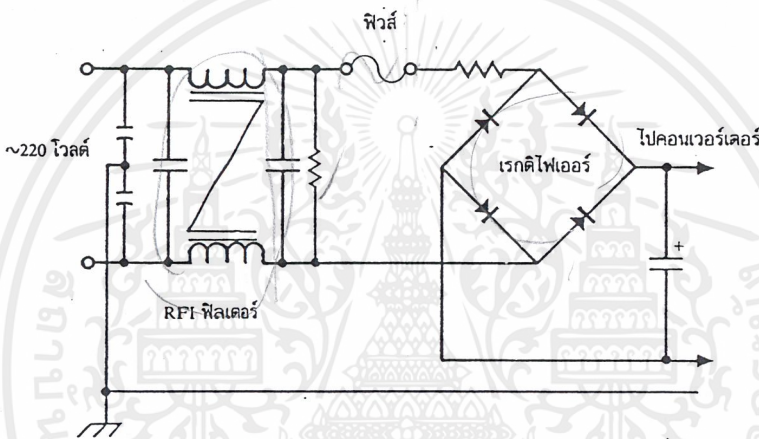
วงจรพื้นฐานแสดงดังรูป เพาเวอร์ทรานซิสเตอร์ทั้ง 4 ตัว จะทำงาน โดยนำกระแสและหยุดนำกระแส สลับกันเป็นคู่ๆ ในแต่ละครึ่งคาบเวลา Q1 และ Q4 จะนำกระแสพร้อมกัน ในครึ่งคาบเวลา และเมื่อหยุดนำ กระแส Q2 และ Q3 จะนำกระแสพร้อมกัน ในครึ่งคาบเวลาที่เหลือ สลับกันเช่นนี้เรื่อยไป ลักษณะการทำงานของ วงจรที่ได้จึงเป็นเช่นเดียวกับฮาล์ฟบริดจ์คอนเวอร์เตอร์ ยกเว้นแรงดันตกคร่อมขดไฟโพรมารี่จะมีค่าเท่ากับ $V_{IN}-2V_{CE(SAT)}$ ดังนั้นผลของการทำงานของวงจรจึงเหมือนกับผลที่ได้จากพุก-พูลคอนเวอร์เตอร์นั่นเอง ส่วนตัว เก็บประจุลือกัก C_B จะมีผลเช่นเดียวกับวงจรฮาล์ฟบริดจ์คอนเวอร์เตอร์

เอกสารนี้เป็นเอกสารที่สงวนไว้สำหรับการใช้งานเพื่อการศึกษาเท่านั้น ไม่อนุญาตให้นำไปใช้ประโยชน์ด้านการค้า ไม่ว่ากรณีใดๆ ทั้งสิ้น อีกทั้งห้ามมิให้ดัดแปลงเนื้อหาและต้องอ้างอิงถึงเจ้าของเอกสารทุกครั้งที่มีการนำไปใช้

2.2 วงจรส่วนอินพุทของสวิทชิงเพาเวอร์ซัพพลาย

สวิทชิงเพาเวอร์ซัพพลายโดยส่วนใหญ่จะถูกออกแบบมาใช้กับระบบแรงดันไฟสลับ 220 โวลต์ แรงดันไฟสลับจะถูกเปลี่ยนให้เป็นแรงดันไฟตรงเสียก่อนด้วยวงจรในส่วนอินพุทของสวิทชิงเพาเวอร์ซัพพลาย เพื่อส่งต่อไปให้คอนเวอร์เตอร์ลดทอนและคงค่าแรงดันอีกทีหนึ่ง โดยวงจรส่วนอินพุทอาจแบ่งออกเป็นสำคัญ 3 ส่วนดังนี้คือ

1. เรกติไฟเออร์
2. ฟิวส์
3. RFI ฟิวเตอร์



รูปที่ 2.8 วงจรอินพุทของสวิทชิงเพาเวอร์ซัพพลาย

2.2.1 เรกติไฟเออร์

เรกติไฟเออร์นับเป็นส่วนสำคัญที่สุดของวงจรในส่วนอินพุทของสวิทชิงเพาเวอร์ซัพพลาย และเป็นตัวกำหนดค่าอัตราทอนกระแสของฟิวส์และ RFI ฟิวเตอร์ ประกอบด้วยอุปกรณ์สำคัญ 3 ตัว คือ ตัวต้านทานจำกัดกระแส R_s ตัวเก็บประจุฟิวเตอร์ C และไดโอดเรกติไฟเออร์ $D_1 - D_4$ มีหน้าที่หลักคือ เปลี่ยนแรงดันไฟสลับให้เป็นไฟตรงเพื่อเป็นแรงดันอินพุทให้กับคอนเวอร์เตอร์

2.2.2 ตัวต้านทานจำกัดกระแส R_s

ตัวต้านทานจำกัดกระแส R_s จะมีประโยชน์มากในวงจรเรกติไฟเออร์ R_s จะเป็นตัวจำกัดกระแสกระชากที่เกิดขึ้นในวงจร โดยเฉพาะขณะเริ่มเปิดเครื่องทำงาน ตัวเก็บประจุขณะชาร์จประจุจะเหมือนกับมีการ

ลัทธิวงจรขึ้นถ้าค่าของตัวเก็บประจุสูงก็จะทำให้เกิดกระแสกระชากสูงด้วย การกำหนดค่า R_s ไว้ในวงจรทำให้การไหลของกระแสขณะเปิดเครื่องเป็นไปอย่างช้า ๆ และลดกระแสกระชาก การต่อตัวต้านทาน R_s จะทำให้ประสิทธิภาพของสวิตซ์เพาเวอร์ซัพพลายลดลง เนื่องจากเกิดกำลังงานสูญเสียในตัว R_s การกำหนดค่าของ R_s ต้องพิจารณาจากความเหมาะสมระหว่างการลดกระแสกระชาก และประสิทธิภาพการทำงานของสวิตซ์เพาเวอร์ซัพพลายด้วย

2.2.3 ตัวเก็บประจุฟิลเตอร์ C

ตัวเก็บประจุฟิลเตอร์ C จะเป็นตัวกรองแรงดันไปตรงที่ได้จากการเรียงกระแสของไดโอด $D_1 - D_4$ ให้มีค่าเรียบมากขึ้น การทำงานจะเป็นไปในลักษณะการชาร์จประจุและคายประจุ การเลือกตัวเก็บประจุฟิลเตอร์ C ต้องพิจารณาปัจจัยดังต่อไปนี้

1. อัตราทนกระแสระลอกของตัวเก็บประจุ (RIS Ripple Current Rating)
2. ค่าแรงดันกระเพื่อมที่เอาต์พุตของวงจรเรกติไฟเออร์ (Ripple Voltage)
3. ช่วงเวลาโฮลด์อัปที่ต้องการ (Holdup Time)
4. อัตราทนแรงดันของตัวเก็บประจุ
5. ขนาดและราคา

อัตราทนกระแสระลอก

กระแสระลอกในตัวเก็บประจุฟิลเตอร์ เกิดจากการชาร์จประจุ และคายประจุของตัวเก็บประจุเอง ค่ากระแสระลอกของตัวเก็บประจุฟิลเตอร์อาจทำได้จากค่ากระแสประสิทธิผล I_{eff} ของวงจรเรกติไฟเออร์ กระแสระลอกในตัวเก็บประจุทำให้ตัวเก็บประจุร้อนและลดอายุการใช้งานของตัวเก็บประจุลงได้ ปกติผู้ผลิตจะระบุอัตราทนกระแสระลอกของตัวเก็บประจุมาในค่าชิต การเลือกใช้ตัวเก็บประจุฟิลเตอร์ C จะต้องมีค่าอัตราทนกระแสระลอกมากกว่าค่ากระแสระลอกที่คำนวณได้

แรงดันกระเพื่อมที่เอาต์พุตของเรกติไฟเออร์

การกระเพื่อมที่แรงดันเอาต์พุตของเรกติไฟเออร์ จะมีผลทำให้แรงดันที่อินพุตของคอนเวอร์เตอร์มีค่าไม่คงที่ หากยอมให้แรงดันกระเพื่อมที่แรงดันเอาต์พุตของเรกติไฟเออร์มีค่ามากก็จะลดความสามารถในการคงค่าแรงดันที่เอาต์พุตของคอนเวอร์เตอร์ลงไป ปกติการออกแบบสวิตซ์เพาเวอร์ซัพพลายจะยอมให้เรกติไฟเออร์มีค่าแรงดันกระเพื่อมได้ไม่เกิน 10 เปอร์เซ็นต์ ของค่าแรงดันเอาต์พุต

ค่าของตัวเก็บประจุฟิวดเตอร์ C เพื่อให้ค่าแรงดันกระเพื่อมไม่เกินกำหนด อาจคำนวณได้จาก

$$C = \frac{I_e \cdot \Delta t}{\Delta V_{ripple}} \dots\dots\dots (2.1)$$

เมื่อ I_e คือ ค่ากระแสประสิทธิผลของวงจรเรกติไฟเออร์

Δt คือ ช่วงเวลาที่ C คายประจุ

ΔV_{ripple} คือ ค่าขอลดถึงขอคของแรงดันกระเพื่อมที่เอาท์พุทของเรกติไฟเออร์

ช่วงเวลาโวลต์อ็อพ

ช่วงเวลาโวลต์อ็อพเป็นช่วงเวลาที่สวิทซ์เพาเวอร์ซัพพลาย สามารถคงค่าแรงดันที่เอาท์พุทได้ ตามปกติที่โวลตสูงสุด เมื่อมีการหยุดจ่ายแรงดัน ไปสลับหรือค่าแรงดันไฟสลับต่ำกว่ากำหนด และเพื่อให้สวิทซ์เพาเวอร์ซัพพลายมีค่าเวลาโวลต์อ็อพ ตัวเก็บประจุฟิวดเตอร์จะต้องมีมากพอเพื่อจ่ายกระแสให้กับคอนเวอร์เตอร์เมื่อมีการหยุดจ่ายแรงดันไฟสลับ ค่าของ C เพื่อให้เกิดช่วงเวลาโวลต์อ็อพ อาจหาได้จาก

$$C = \frac{2P_{out}}{\eta(V_s^2 - V_f^2)} \dots\dots\dots (2.2)$$

เมื่อ P_o คือ ค่ากำลังงานสูงสุดที่เอาท์พุทของคอนเวอร์เตอร์

η คือ ประสิทธิภาพของคอนเวอร์เตอร์

V_s คือ ค่าแรงดันที่ตัวเก็บประจุฟิวดเตอร์ก่อนหยุดจ่ายแรงดันไฟสลับ

V_f คือ ค่าแรงดันที่ตัวเก็บประจุฟิวดเตอร์หลังจากหยุดจ่าย แรงดันไฟสลับ

T_{II} คือ ค่าช่วงเวลาโวลต์อ็อพที่ต้องการ

อัตราทนแรงดัน

ตัวเก็บประจุฟิวดเตอร์ต้องทนแรงดัน ได้อย่างต่ำที่ค่าแรงดันไฟตรงเอาท์พุทของเรกติไฟเออร์ แต่เพื่อความปลอดภัยควรเผื่อค่าอัตราทนแรงดันของตัวเก็บประจุไว้อย่างน้อยที่ค่าแรงดันไฟตรงสูงสุดที่เป็นไปได้ของคอนเวอร์เตอร์

ขนาดและราคา

ตัวเก็บประจุฟิลเตอร์ปกติจะเป็นชนิดอิเล็กโทรไลต์ ที่อัตราทนแรงดันสูงๆ ตัวเก็บประจุอิเล็กโทรไลต์จะมีขนาดใหญ่และราคาแพง การเลือกตัวเก็บประจุฟิลเตอร์ที่มีอัตราทนแรงดันและค่าความจุสูงเกินไปจะเป็นการสิ้นเปลืองค่าใช้จ่ายเกินความจำเป็น กินเนื้อที่และเพิ่มขนาดของสวิทซ์เพาเวอร์ซัพพลาย

2.2.4 ไคโอดเรกติไฟเออร์

การเลือกไคโอดเรกติไฟเออร์มีข้อควรพิจารณาดังนี้

1. ค่ากระแสจาก IRSM (Maximum Surge Current)

กระแสกระชากสูงสุดที่ผ่านไคโอดเรกติไฟเออร์ จะเกิดขึ้นขณะเปิดเครื่องเมื่อตัวเก็บประจุฟิลเตอร์ยังไม่มีประจุสะสมอยู่ กระแสกระชากสูงสุดคำนวณได้จาก

$$I_{FSM} = \frac{V_{peak}}{(R_s + ESR)} \dots\dots\dots 2.3)$$

- เมื่อ V_{peak} คือ แรงดันยอดสูงสุดของไฟสลับอินพุท
- ESR คือ ค่าความต้านทานแฝงในตัวเก็บประจุค่าต่ำสุด
- R_s คือ ค่าของความต้านทานจำกัดกระแส

โดยทั่วไปไคโอดเรกติไฟเออร์จะมีค่าอัตราทนกระแสกระชาก IPSM ประมาณ 20 – 30 เท่า ของอัตรากระแสเฉลี่ยขณะถูกไบแอสตรงของมัน

2. ค่ากระแสสูงสุดเมื่อถูกไบแอสตรง IPSM (Maximum Ponword Current)

ค่ากระแสสูงสุดที่เกิดขึ้นในวงจรเรกติไฟร์ จะเกิดขึ้นในจังหวะที่ตัวเก็บประจุฟิลเตอร์มีการเก็บประจุอีกครั้งหลังจากคายประจุออกไปให้ไหลค ค่ากระแสสูงสุดเมื่อถูกไบแอสตรงของไคโอดเรกติไฟร์ IPSM จึงหาได้จากค่ากระแสสูงสุดของตัวเก็บประจุฟิลเตอร์

3. ค่ากระแสเฉลี่ยเมื่อถูกไบแอสตรง IPM (Maximum Average Current)

เป็นค่ากระแสเฉลี่ยสูงสุดที่ไคโอดเรกติไฟร์จะได้รับขณะทำงาน การพิจารณาค่า IPM อาจทำได้โดยกราฟ ในทางปฏิบัติควรเผื่อค่ากระแสเฉลี่ยสูงสุด IPM ของไคโอดไว้ที่ประมาณ 1.5 – 2 เท่าจากที่คำนวณได้ เพื่อความปลอดภัยและยืดอายุการใช้งาน

เอกสารนี้เป็นเอกสารที่สงวนไว้สำหรับการใช้งานเพื่อการศึกษาเท่านั้น ไม่อนุญาตให้นำไปใช้ประโยชน์ด้านการค้าไม่ว่ากรณีใดๆ ทั้งสิ้น อีกทั้งห้ามมิให้ดัดแปลงเนื้อหาและต้องอ้างอิงถึงเจ้าของเอกสารทุกครั้งที่มีการนำไปใช้

4. อัตราทนแรงดันไบแอสกลับสูงสุด VRRM

ในสวิตชิงเพาเวอร์ซัพพลาย ปกติเรกติไฟเออร์ต้องต่อเข้ากับแรงดันไฟสลับ 220 V. ดังนั้นอัตราทนแรงดันไบแอสกลับสูงสุดของไดโอด VRRM จึงต้องมีค่าไม่ต่ำกว่าแรงดันยอดสูงสุดของแรงดันไฟสลับ อย่างไรก็ตาม ควรพิจารณาเพื่อแรงดันไบแอสกลับ ให้มากกว่าแรงดันยอดสูงสุดของแรงดันไฟสลับเอาไว้ด้วย

2.2.5 ฟิวส์

ฟิวส์มีหน้าที่หลักคือ ป้องกันอุปกรณ์เสียหายเนื่องจากกระแสเกินและเพื่อแยกส่วนวงจรออกจากแหล่งจ่ายไฟกรณีที่มีการลัดวงจรเกิดขึ้น การเลือกใช้ฟิวส์เพื่อใช้ในส่วนของวงจรเรกติไฟเออร์มีข้อพิจารณาดังต่อไปนี้

ค่าอัตราทนแรงดัน (Voltage Rating)

ฟิวส์มาตรฐานสำหรับงานอิเล็กทรอนิกส์จะมีอัตราทนแรงดันได้ตามลำดับดังนี้คือ 32,60,125,250,300,500,600,และ700 โวลต์ การกำหนดใช้ค่าอัตราทนแรงดันของฟิวส์นับเป็นสิ่งสำคัญ โดยที่ค่าอัตราทนแรงดันของฟิวส์ที่จะใช้ต้องมีค่ามากกว่าหรือเท่ากับค่าแรงดันของวงจร

ค่าอัตราทนกระแส (Current Rating)

ค่าอัตราทนกระแสของฟิวส์สามารถกำหนดได้จากค่ากระแสอาร์เอ็มเอสค่านินพุทของวงจรเรกติไฟเออร์จะเห็นได้ว่าค่ากระแสอาร์เอ็มเอสจะขึ้นกับค่าของโหลด ค่าความต้านทาน R_s และค่าตัวเก็บประจุฟิวเตอร์

RFI อินพุทฟิวเตอร์

การทำงานของสวิตชิงเพาเวอร์ซัพพลายเป็นการทำงานในลักษณะการเปลี่ยนแปลงของกระแสอย่างฉับพลันที่ค่ากระแสสูงๆ สวิตชิงเพาเวอร์ซัพพลายจึงเป็นแหล่งกำเนิดสัญญาณรบกวน RFI ได้เป็นอย่างดี วิธีการลดสัญญาณรบกวนโดยการต่อ LC ฟิวเตอร์คั่นที่อินพุทกับระบบไฟสลับ การต่อ LC สามารถทำได้ดังนี้ วงจร RFI ฟิวเตอร์ควรกำหนดค่าของตัวเก็บประจุและค่าของตัวเหนี่ยวนำให้มีค่าดังนี้

$C3, C4 = 0.1$ ถึง $2 \mu\text{F}$ และเป็นตัวเก็บประจุชนิด X

$C1, C2 = 2,200 \text{ pF}$ ถึง $0.033 \mu\text{F}$ และเป็นตัวเก็บประจุชนิด Y

$L1, L2 = 1.8 \text{ mH}$ ที่ 25 mH ถึง 47 mH ที่ 0.3 A

ตัวต้านทาน R ที่ต่ออยู่ในวงจรมิ่วให้ตัวเก็บประจุชนิด X คายประจุทิ้งไปได้ ตามมาตรฐานถ้าตัวเก็บประจุชนิด X มีค่าตั้งแต่ 0.1 ไมโครฟารัดขึ้นไป ตัวต้านทาน R จะต้องมีค่าเท่ากับ $R = t / 2.21 C$

2.3 วงจรควบคุมสำหรับสวิตชิงเพาเวอร์ซัพพลาย

วงจรควบคุมการทำงานของคอนเวอร์เตอร์โดยทั่วไปมักนิยมใช้เทคนิคพัลส์วิดท์มอดูเลชัน (Pulse Width Modulation) หรือ PWM เป็นหลัก การใช้ PWM เมื่อควบคุมช่วงเวลานำกระแสของเพาเวอร์ทรานซิสเตอร์ในคอนเวอร์เตอร์ สามารถทำได้สองลักษณะการทำงานของวงจรควบคุมคือ ในโหมดควบคุมจากแรงดันและ โหมดควบคุมจากกระแส

2.3.1 วงจรควบคุมในโหมดควบคุมจากแรงดัน (Voltage Mode Control)

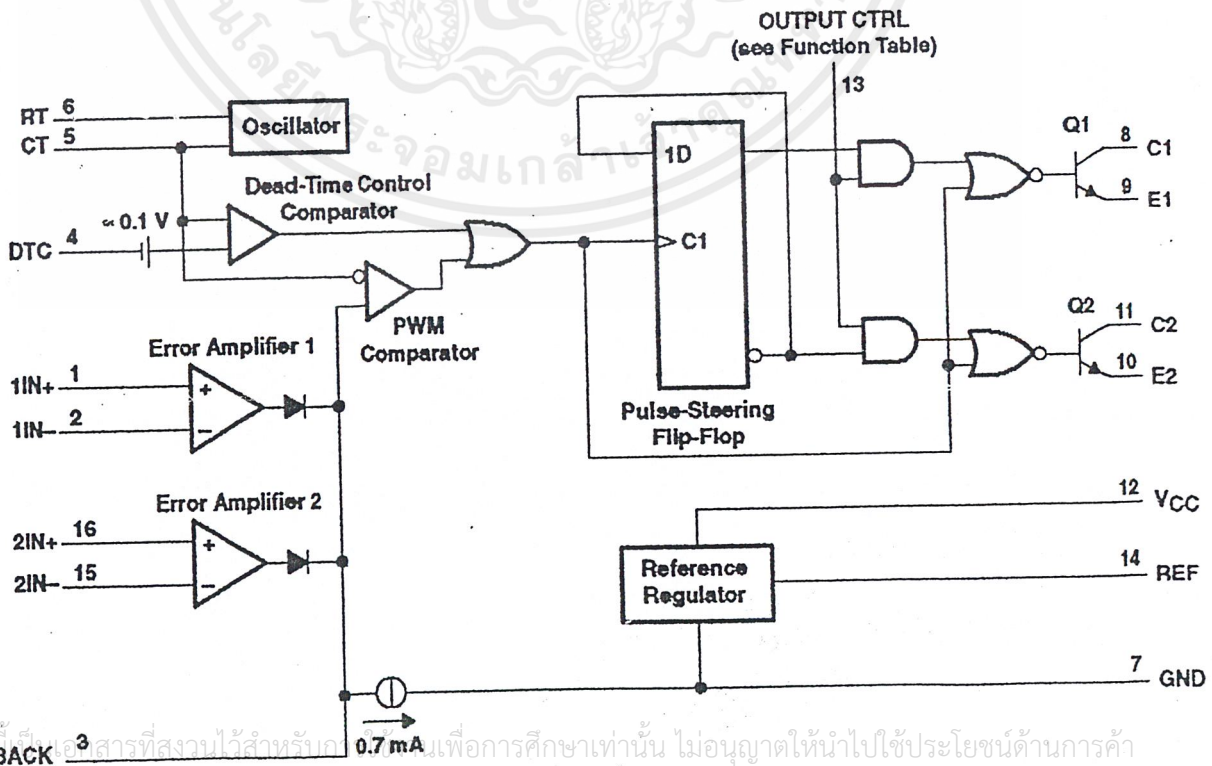
การทำงานของวงจรควบคุมในโหมดนี้ จะอาศัยการตรวจจับการเปลี่ยนแปลงค่าของแรงดันที่เอาต์พุตมาควบคุมช่วงเวลานำกระแสของเพาเวอร์ทรานซิสเตอร์ เพื่อการคงค่าแรงดันเอาต์พุตเป็นหลัก

2.3.2 วงจรควบคุมในโหมดควบคุมจากกระแส(Current Mode Control)

การคงค่าแรงดันเอาต์พุตของคอนเวอร์เตอร์ ด้วยวงจรควบคุมใน โหมดควบคุมจากกระแสมีข้อดีหลายประการนอกเหนือจาก โหมดควบคุมจากแรงดัน จึงเป็นวงจรควบคุมอีกแบบหนึ่งที่นิยมใช้มาก วงจรควบคุมในโหมดควบคุมจากกระแสนี้ยังคงใช้เทคนิคพัลส์วิดท์มอดูเลชันเช่นกัน

2.3.3 ไอซีเบอร์ TL494 สำหรับโหมดควบคุมจากแรงดัน

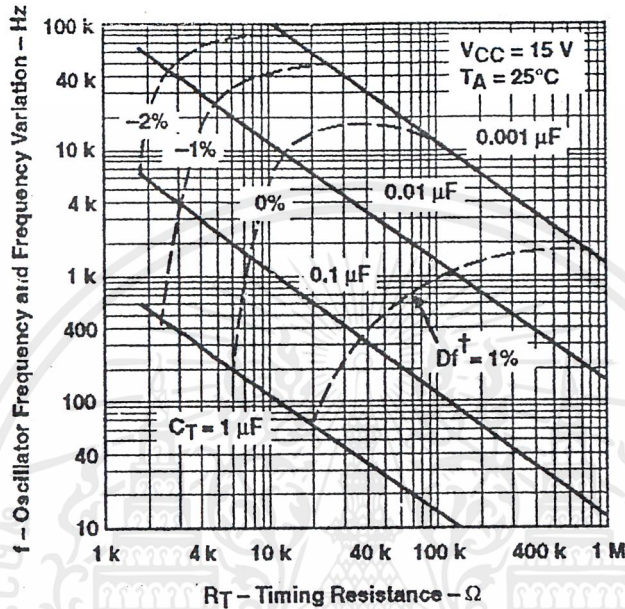
ไอซีเบอร์ TL494 เป็น ไอซีที่ออกแบบมาเพื่อ ใช้ควบคุมการทำงานของคอนเวอร์เตอร์ โดยทำงานในโหมดควบคุมจากแรงดัน โครงสร้างภายในและการจัดขาของ TL494 แสดงดังรูปที่ 2.9



เอกสารนี้เป็นเอกสารที่สงวนไว้สำหรับบทเรียนเพื่อการศึกษาเท่านั้น ไม่อนุญาตให้นำไปใช้ประโยชน์ด้านการค้า ไม่ว่าจะกรณีใดๆ ทั้งรูปที่ 2.9 แสดงการจัด โครงสร้างภายในและการจัดขาของ ไอซี TL494 ครั้งที่มีการนำไปใช้

การกำหนดคาบเวลาการทำงาน

วงจรของ TL494 เป็นวงจร PWM ที่มีความถี่คงที่ คาบเวลาของเอาต์พุตพัลส์กำหนดโดยค่าของ R_T และ C_T จากภายนอกที่ขา 6 และ 5 ของ ไอซี ค่าคาบเวลาการทำงานจะกำหนดได้จาก



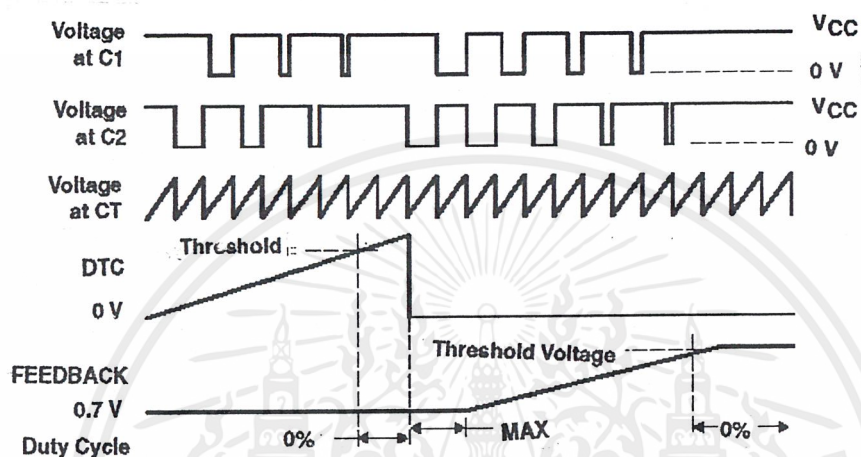
รูปที่ 2.10 แสดงความสัมพันธ์ของค่า R_T, C_T ในการกำหนดความถี่

การทำงานของไอซีในการคงค่าแรงดันของคอนเวอร์เตอร์

ความกว้างเอาต์พุตพัลส์ของไอซี จะได้จากการเปรียบเทียบสัญญาณฟันเลื่อยที่ขา S กับแรงดันที่ได้จากวงจรมายาวความแตกต่าง (Error Amp) ทั้งสองตัวที่ PWM Comparator ส่วน NOR เกทที่ควบคุมทรานซิสเตอร์เอาต์พุต Q1 และ Q2 จะทำงานก็ต่อเมื่อขา Ck ของ Flip-Flop อยู่ในสถานะ Low เท่านั้น ซึ่ง Ck จะเป็น Low ได้ก็ต่อเมื่อแรงดันของสัญญาณฟันเลื่อยที่ค่ามากกว่าแรงดันที่มาจาก Error Amp ทั้งสองตัว นั่นคือแรงดันป้อนกลับจากเอาต์พุตของคอนเวอร์เตอร์หากมีสูงขึ้น ความกว้างของเอาต์พุตพัลส์ของไอซีจะลดลง ในทางกลับกัน แรงดันป้อนกลับหากมีค่าลดลงความกว้างเอาต์พุตพัลส์ของไอซีจะเพิ่มขึ้น ความกว้างเอาต์พุตพัลส์ของไอซีนี้อาจกำหนดให้มีค่ามากที่สุดหรือมีค่าเท่ากับศูนย์ได้โดยการเปลี่ยนแรงดันที่ขา 3 (ขา Feedback) จาก 0.5 โวลต์จนถึง 3.5 โวลต์ ส่วน Error Amp ทั้ง 2 ตัวจะมีช่วงของอินพุตคอมมอน โหมดตั้งแต่ -0.3 ถึง (Vcc-2) โวลต์ และสามารถใช้ตรวจสอบแรงดันหรือกระแสที่เอาต์พุตของคอนเวอร์เตอร์ได้

เอกสารนี้เป็นเอกสารที่สงวนไว้สำหรับการใช้งานเพื่อการศึกษาเท่านั้น ไม่อนุญาตให้นำไปใช้ประโยชน์ด้านการค้า ไม่ว่ากรณีใดๆ ทั้งสิ้น อีกทั้งห้ามมิให้ดัดแปลงเนื้อหาและต้องอ้างอิงถึงเจ้าของเอกสารทุกครั้งที่มีการนำไปใช้

Error Amp ทั้ง 2 ตัวจะให้เอาต์พุตในลักษณะให้สถานะ High (Active High) โดยต่อกันอยู่ในลักษณะ OR ที่ขา non-inverting ของ PWM Comparator การต่อกันในลักษณะนี้ Error Amp ตัวที่ทำให้เกิดความกว้างเอาต์พุตพัลส์ต่ำสุด จะเป็นตัวควบคุมความกว้างของเอาต์พุตพัลส์ของ ไอซี



รูปที่ 2.11 แสดงรูปคลื่นลักษณะการทำงานของ TL494

การกำหนดค่าเวลาเมื่อ T_d

TL494 สามารถให้ผู้ใช้กำหนดค่าเวลาเมื่อ T_d ของวงจรงจรได้เอง ด้วยการต่อแรงดันระหว่าง 0 ถึง 3.3 โวลต์ ที่ขา 4 (ขา DTC) ของไอซี อย่างไรก็ตาม หากแรงดันที่ขา DTC มีค่าเท่ากับ 0 โวลต์ ค่าเวลาเมื่อต่ำสุดของ ไอซีจะไม่ต่ำกว่า 4% ของค่าคาบเวลาการทำงานเนื่องจากมีแรงดันออฟเซต 120 มิลลิโวลต์ ต่ออยู่ในขณะนั้น ช่วงเวลา T_{ON} สูงสุดของคอนเวอร์เตอร์ที่ได้จากไอซีจะเท่ากับ 48% ของค่าคาบเวลาเมื่อต่อขา 13 (output control) เข้ากับขา 14 (+5 Vref) และมีค่าเท่ากับ 96% ของค่าคาบเวลาเมื่อต่อขา 13 ลงกราวด์

การเลือกใช้ Q1 และ Q2 ที่เอาต์พุตของไอซี

เอาต์พุต Q1 และ Q2 ของไอซีสามารถทำงานได้ 2 โหมด คือ ทำงานพร้อมกัน หรือสลับกันทำงาน ซึ่งสามารถเลือกการทำงานได้ที่ขา 13 (output control) ในขณะที่ C_1 คิซซาร์จเอาต์พุตของ Dead-Time Comparator จะให้พัลส์ออกมา Ck จะมีสถานะ High และหยุดการทำงานของ Q1 และ Q2 ถ้ากำหนดให้ขา 13 มี

เอกสารนี้เป็นเอกสารที่สงวนไว้สำหรับการใช้งานเพื่อการศึกษาเท่านั้น ไม่อนุญาตให้นำไปใช้ประโยชน์ด้านการค้า ไม่ว่าจะกรณีใดๆ ทั้งสิ้น อีกทั้งห้ามมิให้ดัดแปลงเนื้อหาและต้องอ้างอิงถึงเจ้าของเอกสารทุกครั้งที่มีการนำไปใช้

สถานะเป็น High โดยการต่อเข้ากับขา 4 (+5 Vref) Q1 และ Q2 จะสลับกันทำงานตามจังหวะของ Flip-Flop เพื่อใช้ขับคอนเวอร์เตอร์แบบ พุช-พูล ในกรณีนี้คาบเวลาการจะเป็น 2 เท่าของค่าคาบเวลาสัญญาณฟันเลื่อยของ ไอซี แต่ถ้ากำหนดให้ขา 13 มีสถานะเป็น Low โดยการต่อลงกราวด์ Q1 และ Q2 จะทำงานพร้อมกันและสามารถขนาน Q1 และ Q2 เข้าด้วยกันได้ ถ้าต้องการให้นำกระแสได้มากขึ้น ในกรณีนี้คาบเวลาการทำงานจะมีค่าเท่ากับค่าคาบเวลาของสัญญาณฟันเลื่อยของ ไอซี

TL494 ต้องการไฟเลี้ยงในช่วง $7 \leq v_{cc} \leq 40$ โวลต์ มีแรงดันอ้างอิงภายใน $V_{ref}=5$ V และสามารถจ่ายกระแสได้ถึง 10 มิลลิแอมป์เพื่อใช้กับวงจรภายนอกได้ โดยมีค่าความถูกต้อง $\pm 1.5\%$ ความคลาดเคลื่อนทางอุณหภูมิมีค่าน้อยกว่า 50 มิลลิโวลต์ทำงานในช่วง 0 ถึง



2.4 หม้อแปลงสวิตชิง

2.4.1 ส่วนประกอบหม้อของหม้อแปลงสวิตชิง

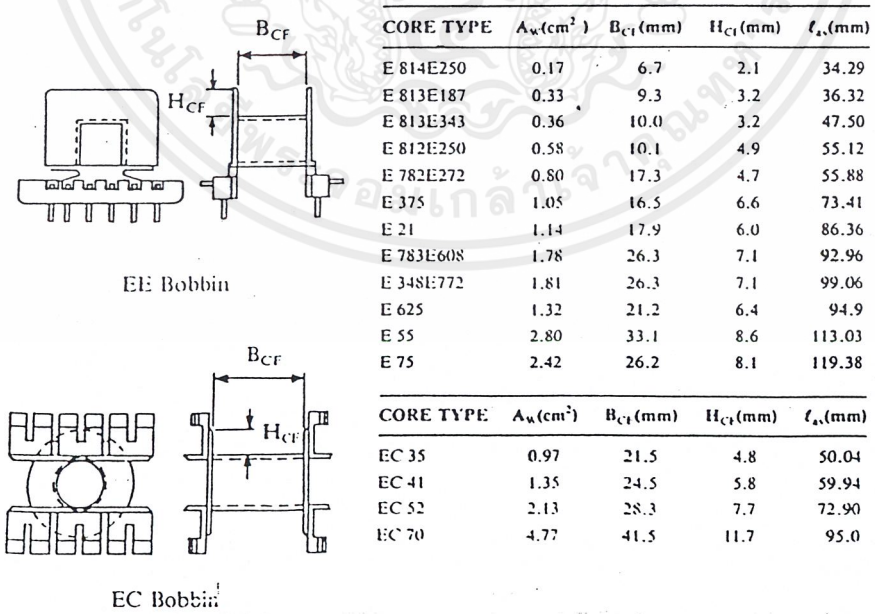
หม้อแปลงสวิตชิงซึ่งมีหน้าที่หลักในการลดทอนแรงดันไฟฟ้าตรงที่อินพุตของคอนเวอร์เตอร์ซึ่งอาจมีค่าสูงได้ถึง 310 โวลต์ ให้มีค่าลดลงเป็นแรงดันไฟฟ้าค่าที่เอาต์พุต และทำให้การเกิดการแยกจากกันทางไฟฟ้าระหว่างแรงดันอินพุตและแรงดันเอาต์พุตที่ได้ เพื่อป้องกันอันตรายจากการถูกไฟฟ้าดูด ส่วนประกอบที่สำคัญของหม้อแปลงสวิตชิงโดยมีรายละเอียดดังนี้

แกนเฟอร์ไรต์ (Ferrite Core)

เฟอร์ไรต์เป็นวัสดุประเภทเฟอร์โรแมกเนติก (Ferromagnetic material) การเหนี่ยวนำแม่เหล็กบนแกนเฟอร์ไรต์จะมีผลทำให้เกิดความหนาแน่นฟลักซ์แม่เหล็กสูงกว่าการเหนี่ยวนำแม่เหล็กที่เกิดขึ้นบนแกนอากาศมาก เฟอร์ไรต์มีค่าจุดอิ่มตัวฟลักซ์แม่เหล็กค่อนข้างสูง ประมาณในช่วง 3,000 ถึง 4,000 เกาส์ และเกิดการสูญเสียในตัวมันค่าที่ความถี่สูงๆ ดังนั้นหม้อแปลงสวิตชิงจะมีรูปร่างแตกต่างกันออกไปขึ้นอยู่กับการใช้งานและมาตรฐานในการออกแบบ

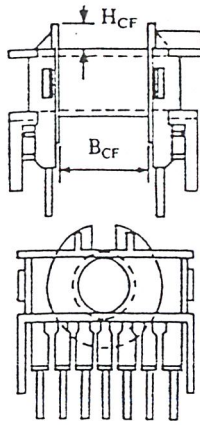
บอบบิ้น (Bobbin)

บอบบิ้นหรือแบบรองพัน ปกติจะทำจากพลาสติกชนิดทนความร้อนได้สูงและไม่ติดไฟ บอบบิ้นจะช่วยให้การพันขดลวดบนแกนเฟอร์ไรต์สะดวกขึ้น และป้องกันปัญหาการลัดวงจรระหว่างขดลวดกับแกนเฟอร์ไรต์ได้ บอบบิ้นจะมีขนาดมาตรฐานตามมาตรฐานของแกนเฟอร์ไรต์ บอบบิ้นส่วนใหญ่จะถูกออกแบบให้มีขาพักลวดทองแดง เพื่อความสะดวกในการพันขดลวดและบัดกรีติดกับแผ่น PCB



รูปที่ 2.12 แสดงตัวอย่างและขนาดมาตรฐานของบอบบิ้นสำหรับแกนเฟอร์ไรต์แบบ EE, EC และ ETD

เอกสารนี้เป็นเอกสารที่สงวนไว้สำหรับการใช้งานเพื่อการศึกษาเท่านั้น ไม่อนุญาตให้นำไปใช้ประโยชน์ด้านการค้าไม่ว่ากรณีใดๆ ทั้งสิ้น อีกทั้งห้ามมิให้ดัดแปลงเนื้อหาและต้องอ้างอิงถึงเจ้าของเอกสารทุกครั้งที่มีการนำไปใช้



CORE TYPE	$A_w(\text{cm}^2)$	$B_{Cf}(\text{mm})$	$H_{Cf}(\text{mm})$	$l_w(\text{mm})$
ETD 34	1.23	21.0	6.0	59.94
ETD 39	1.74	25.6	6.9	65.56
ETD 44	2.13	29.6	7.3	76.2
ETD 49	2.71	32.8	8.4	85.09

A_w = พื้นที่ของพื้นผิวดลวด

B_{Cf} = ความยาวแกนที่พื้นผิวดลวดได้

H_{Cf} = ระยะจำกัดความสูงของขดลวด

l_w = ความยาวเฉลี่ยของลวดทองแดงที่พันบนแกนต่อหนึ่งรอบ

ETD

Bobbin

รูปที่ 2.12 แสดงตัวอย่างและขนาดมาตรฐานของบอบบิ้นสำหรับ
แกนเฟอร์ไรต์แบบ EE, EC และ ETD

ลวดทองแดงอาบนํ้ายา (Enamelled Copper Wire)

การพันขดลวดทั้งไพรมารีและเซคันดารีของหม้อแปลงสวิทซ์ที่กำลังไม่สูงมากนักปกติจะใช้ลวดทองแดงอาบนํ้ายาพันบนแกนบอบบิ้นเพื่อให้ได้จำนวนรอบตามต้องการ ขนาดของขดลวดทองแดงที่จะใช้พันนั้น ขึ้นอยู่กับค่ากระแสสูงสุดที่ผ่านขดลวด ความถี่และผลข้างเคียงอื่นๆ

เทปฉนวน (Insulation Tape)

เทปฉนวนใช้พันสำหรับเป็นตัวรองระหว่างชั้นของขดลวดในหม้อแปลงสวิทซ์ และมีหน้าที่สำคัญในการแยกส่วนไฟฟ้าระหว่างขดไพรมารีและขดเซคันดารีด้วยวัสดุที่ใช้ทำเทปฉนวนอาจเป็นพวกไมลาร์ (Mylar) หรือโพลีเอสเตอร์ (Polyester) ที่ความหนาอยู่ในช่วง 0.05-0.1 มิลลิเมตร การเลือกใช้จะขึ้นอยู่กับการออกแบบและค่าความปลอดภัยที่ต้องการจากหม้อแปลงสวิทซ์ซึ่งเป็นหลัก

2.4.2 แกนเฟอร์ไรต์และการเลือกใช้

ลักษณะและขนาดมาตรฐานของแกนเฟอร์ไรต์

แกนเฟอร์ไรต์สำหรับหม้อแปลงสวิทซ์ โดยทั่วไป จะถูกผลิตออกมาที่ขนาดและรูปทรงต่างๆ ตามมาตรฐานเดียวกัน เช่น แกนแบบ EI, EE, ETD หรือแกนแบบ POT เป็นต้น ปกติผู้ผลิตจะทำแกนเฟอร์ไรต์ออกมาในลักษณะของกลุ่มประกอบ เพื่อความสะดวกในการประกอบเข้ากับบอบบิ้น การประกอบแกนเฟอร์ไรต์บนบอบบิ้นจะทำให้ทางเดินของฟลักซ์แม่เหล็กที่เกิดขึ้นในแกนเฟอร์ไรต์มีลักษณะเป็นวงบรรจบได้ แกนแบบ POT นั้นจะใช้กับหม้อแปลงสวิทซ์ที่ไม่ต้องการกำลังสูง (ไม่เกิน 125 วัตต์) และในงานที่ต้องการสัญญาณรบกวน EMI / RFI ต่ำ เนื่องจากลักษณะรูปทรงของมันสามารถป้องกันการแพร่กระจายของสัญญาณรบกวนได้ดี แต่แกนแบบ POT มีช่องสำหรับให้ขดลวดลวดออกมาภายนอกได้ค่อนข้างเล็ก จึงเป็น

เอกสารนี้เป็นเอกสารที่สงวนไว้สำหรับการใช้งานเพื่อการศึกษาเท่านั้น ไม่อนุญาตให้นำไปใช้ประโยชน์ด้านการค้าไม่ว่ากรณีใดๆ ทั้งสิ้น อีกทั้งห้ามมิให้ดัดแปลงเนื้อหาและต้องอ้างอิงถึงเจ้าของเอกสารทุกครั้งที่มีการนำไปใช้

อุปสรรคในการพันลวดทองแดงขนาดใหญ่เมื่อหม้อแปลงต้องการกำลังสูงๆ แกนที่นิยมใช้กันมากสำหรับ หม้อแปลงสวิทซ์ซึ่งต้องการกำลังงานสูง จะเป็นแกนแบบ EI, EE และ ETD เนื่องจากสามารถพันลวด รอบแกน

บนบอบบิ้นได้สะดวก แกนในกลุ่มนี้จะมีขนาดต่างๆ ให้เลือกใช้งานได้เป็นจำนวนมาก โดยสามารถให้กำลัง งานได้ตั้งแต่ 5 วัตต์ ไปจนถึง 10 กิโลวัตต์ อย่างไรก็ตามสัญญาณรบกวน EMI / RFI ที่เกิดขึ้นจะมีค่ามากกว่า แกนแบบ POT

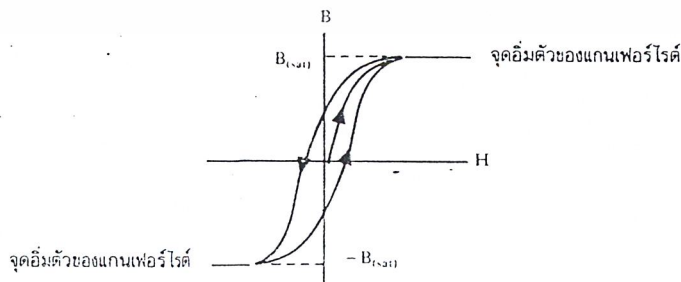
ลักษณะสมบัติของเนื้อสารที่ใช้ทำแกนเฟอร์ไรต์

ชนิดของเนื้อสารแกนเฟอร์ไรต์ที่แตกต่างกัน จะให้คุณสมบัติทางแม่เหล็กของแกนเฟอร์ไรต์แตกต่างกันด้วยถึงแม้จะมีขนาดเท่ากันทุกประการก็ตาม ในแผ่นข้อมูลเนื้อสารที่ให้มากับแกนเฟอร์ไรต์นั้น จะต้องมียุทธศาสตร์ของคุณสมบัติเนื้อสารแสดงไว้เสมอ ข้อมูลสำคัญที่ควรจะทำความเข้าใจและศึกษาไว้ก็คือเส้น โคง้ฮิสเตอร์รีซิส (Hysteresis curve) และค่าการสูญเสียในแกนเฟอร์ไรต์ (Core Loss)

เส้นโค้งฮิสเตอร์รีซิส (Hysteresis Curve)

เส้นโค้งฮิสเตอร์รีซิสจะแสดงความสัมพันธ์ระหว่าง ค่าความหนาแน่นฟลักซ์แม่เหล็ก (B) ที่เกิดขึ้น ในแกนเฟอร์ไรต์ กับความเข้มของสนามแม่เหล็ก (H) ที่เกิดจากการเหนี่ยวนำของขดลวดที่พันบนแกน โดยปกติผู้ผลิตจะแสดงกราฟของกราฟเส้นโค้งฮิสเตอร์รีซิสเพียงครั้งเดียว เนื่องจากอีกครั้งหนึ่งของเส้นโค้งฮิสเตอร์รีซิสจะมีลักษณะเหมือนกันทุกประการเพียงแต่จะมีลักษณะกลับทิศกันเท่านั้น

การใช้งานแกนเฟอร์ไรต์ในหม้อแปลงสวิทซ์ซึ่งจะต้องระวังไม่ทำให้แกนเฟอร์ไรต์เกิดการอิ่มตัวขึ้น ได้ ดังนั้นโดยทั่วไปในการออกแบบหม้อแปลงสวิทซ์ จึงควรกำหนดค่าความหนาแน่นฟลักซ์แม่เหล็ก B ที่ยอมให้เกิดขึ้นได้ในแกนขณะทำงาน มีค่าไม่เกินครึ่งหนึ่งของค่าความหนาแน่นฟลักซ์แม่เหล็กสูงสุดก่อนอิ่ม ตัวของแกนเฟอร์ไรต์ เพื่อความปลอดภัย



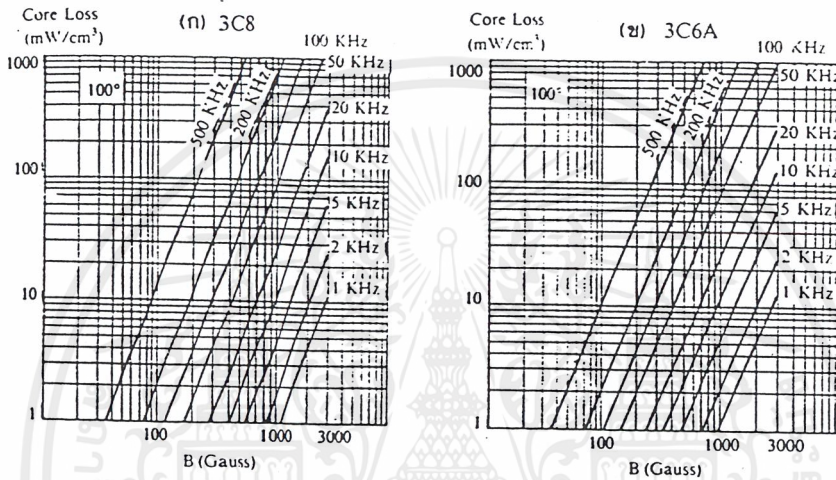
รูปที่ 2.13 แสดงลักษณะเส้นโค้งฮิสเตอร์รีซิส

เอกสารนี้เป็นเอกสารที่สงวนไว้สำหรับการใช้งานเพื่อการศึกษาเท่านั้น ไม่อนุญาตให้นำไปใช้ประโยชน์ด้านการค้า ไม่ว่ากรณีใดๆ ทั้งสิ้น อีกทั้งห้ามมิให้ดัดแปลงเนื้อหาและต้องอ้างอิงถึงเจ้าของเอกสารทุกครั้งที่มีการนำไปใช้

ค่าความสูญเสียในแกนเฟอร์ไรต์ (Core Loss)

การสูญเสียที่เกิดขึ้นในแกนเฟอร์ไรต์จะทำให้แกนเฟอร์ไรต์ร้อน ซึ่งมีสาเหตุหลัก 2 ประการ คือ การสูญเสียที่เกิดจากลักษณะฮิสเตอร์รีซิสของแกน (Hysteresis Loss) และการสูญเสียจากการเกิดกระแสไหลวนภายในแกนเฟอร์ไรต์ (Eddy Current Loss)

ที่ความถี่ต่ำกว่า 100 กิโลเฮิร์ตซ์ การสูญเสียจากการเกิดกระแสไหลวนในแกนจะมีค่าน้อยสำหรับแกนที่มีขนาดไม่ใหญ่มากนัก ดังนั้นการสูญเสียที่ก่อให้เกิดความร้อนในแกนอาจพิจารณาได้จากการสูญเสียทางฮิสเตอร์รีซิสเพียงอย่างเดียว



รูปที่ 2.14 แสดงค่าการสูญเสียในแกนเฟอร์ไรต์ของเนื้อสาร 3C8 (ก) และ 3C6 (ข)

การกำหนดค่าความหนาแน่นฟลักซ์แม่เหล็กสูงสุดในแกนหม้อแปลง

ค่าความหนาแน่นฟลักซ์แม่เหล็กในแกนของหม้อแปลง จะขึ้นอยู่กับจำนวนรอบของขดลวดไพรมารีและขนาดของแกน จากกฎของฟาราเดย์จะได้ว่า

$$\Delta B = \frac{V \cdot t}{N_p \cdot A_c} \times 10^8 \dots\dots\dots (2.4)$$

- เมื่อ ΔB คือ ค่าความหนาแน่นฟลักซ์แม่เหล็กที่เกิดขึ้นในแกน เป็นเกาส์
- V คือ ค่าแรงดันที่ตกคร่อมขดไพรมารี เป็น โวลต์
- N_p คือ ค่าจำนวนรอบของขดไพรมารี เป็นรอบ
- A_c คือ ขนาดพื้นที่หน้าตัดของแกน เป็นตารางเซนติเมตร
- t คือ ช่วงเวลาที่มีการเปลี่ยนแปลงฟลักซ์แม่เหล็กเกิดขึ้น เป็นวินาที

เอกสารนี้เป็นเอกสารที่สงวนไว้สำหรับการใช้งานเพื่อการศึกษาเท่านั้น ไม่อนุญาตให้นำไปใช้ประโยชน์ด้านการค้าไม่ว่ากรณีใดๆ ทั้งสิ้น อีกทั้งห้ามมิให้ดัดแปลงเนื้อหาและต้องอ้างอิงถึงเจ้าของเอกสารทุกครั้งที่มีการนำไปใช้

จะเห็นได้ว่ายิ่งจำนวนรอบของขดลวดไพรมารีมีค่าน้อยลง ค่าความหนาแน่นฟลักซ์ที่เกิดขึ้นจะยังมีค่ามาก ซึ่งการลดจำนวนรอบของขดไพรมารีลงจะทำให้สามารถใช้ลวดทองแดงขนาดใหญ่ขึ้นได้ และสามารถทนกระแสได้สูงทำให้หม้อแปลงให้กำลังได้สูงขึ้น

อย่างไรก็ตาม หากค่าความหนาแน่นฟลักซ์แม่เหล็กมีค่าเพิ่มขึ้นจนถึงจุดอิ่มตัว จะทำให้แรงดันตกคร่อมขดไพรมารีมีค่าลดลงอย่างรวดเร็วแรงดันอินพุตจะไปตกคร่อมที่เพาเวอร์ทรานซิสเตอร์ขณะที่กำลังนำกระแสสูงๆ แทน ทำให้เพาเวอร์ทรานซิสเตอร์พังเสียหายได้ และความหนาแน่นฟลักซ์แม่เหล็กที่มีค่าสูงสุดจะทำให้เกิดการสูญเสียภายในแกนสูงอีกด้วย ดังนั้นการกำหนดค่าความหนาแน่นฟลักซ์แม่เหล็กสูงสุดที่ยอมให้เกิดขึ้นในแกนเฟอร์ไรต์ของหม้อแปลงขณะทำงาน จึงมีข้อที่ควรคำนึงถึง 2 ประการ คือ

1. แกนเฟอร์ไรต์ต้องไม่เกิดอิ่มตัวขณะทำงาน
2. ที่ความหนาแน่นฟลักซ์แม่เหล็กสูงสุดที่เกิดขึ้นในแกนขณะทำงานจะต้องเกิดการสูญเสียในแกนเฟอร์ไรต์ต่ำที่สุด

การเลือกขนาดแกนเฟอร์ไรต์ที่เหมาะสม

การใช้ขนาดแกนเฟอร์ไรต์ที่ใหญ่เกินไปสำหรับหม้อแปลงสวิตชิง จะเป็นการสิ้นเปลืองค่าใช้จ่ายโดยไม่จำเป็น ส่วนการใช้แกนเฟอร์ไรต์ที่มีขนาดเล็กเกินไป ขดลวดและแกนเฟอร์ไรต์จะร้อน กำลังงานสูงสุดที่เหมาะสมสำหรับแกนเฟอร์ไรต์ขนาดต่างๆ พิจารณาได้จากขนาดหน้าตัดของแกน (A_e) และขนาดช่องสำหรับพันขดลวดของบอบบิ้น (A_w) โดยอาจคำนวณได้จากสมการดังต่อไปนี้

สำหรับแกนที่ใช้กับของฟอร์เวิร์ดคอนเวอร์เตอร์

$$P = \frac{0.5 \Delta B_{(\max)} \cdot f \cdot A_e \cdot A_w}{D} \times 10^{-3} \dots\dots\dots (2.5)$$

สำหรับแกนที่ใช้กับหม้อแปลงของฟูล-ฟูลคอนเวอร์เตอร์

$$P = \frac{\Delta B_{(\max)} \cdot f \cdot A_e \cdot A_w}{D} \times 10^{-3} \dots\dots\dots (2.6)$$

สำหรับแกนที่ใช้กับหม้อแปลงของฮาล์ฟบริดจ์และฟูลบริดจ์คอนเวอร์เตอร์

$$P = \frac{1.4 \Delta B_{(\max)} \cdot f \cdot A_e \cdot A_w}{D} \times 10^{-3} \dots\dots\dots (2.7)$$

โดยที่	$\Delta B_{(max)}$	คือ ค่าความหนาแน่นฟลักซ์สูงสุดในแกนเฟอร์ไรต์ เป็น เกาส์
	f	คือ ค่าความถี่การทำงานของแกนเฟอร์ไรต์ เป็น เฮิรตซ์
	Ae	คือ พื้นที่หน้าตัดของแกนเฟอร์ไรต์ เป็น ตารางเซนติเมตร
	A _w	คือ พื้นที่ช่องสำหรับพันขดลวดของบอบบิ้น เป็น ตารางเซนติเมตร
	D	คือค่าความหนาแน่นกระแสในขดไฟรมารี่เป็นเซอร์คูลาร์มิลต่อแอมป์
	P	คือ กำลังงานสูงสุดที่ได้จากแกนเฟอร์ไรต์ เป็น วัตต์

ช่องอากาศคั่นทางเดินแม่เหล็กในแกนเฟอร์ไรต์(Air Gap)

การกำหนดช่องอากาศคั่นทางเดินแม่เหล็ก (Air Gap) ในแกนเฟอร์ไรต์เป็นวิธีการอย่างหนึ่งที่ใช้ป้องกันการอิ่มตัวของแกนเฟอร์ไรต์ และช่วยให้การสะสมพลังงานของขดลวดในหม้อแปลงสวิตชิ่งมีค่ามากขึ้นด้วย อย่างไรก็ตาม ช่องอากาศคั่นในแกนเฟอร์ไรต์จะทำให้เกิดการแพร่กระจายสัญญาณรบกวน EMI ออกมา และอาจรบกวนอุปกรณ์ภายนอกได้เช่นกัน

สำหรับแกนเฟอร์ไรต์แบบ EE,EI,ETD หรือแบบ POT สามารถกำหนดลักษณะของช่องอากาศคั่นในแกนได้ 2 ลักษณะ คือการกำหนดช่องอากาศคั่นที่แกนกลางอย่างเดียว และการคั่นแกนด้วยช่องอากาศระหว่างคู่ประกบ

การคั่นแกนด้วยช่องอากาศระหว่างคู่ประกบสามารถทำได้ง่ายกว่าการคั่นช่องอากาศที่แกนกลางซึ่งทำได้โดยการใช้แผ่นฉนวนที่มีความหนาเป็นครึ่งหนึ่งของระยะช่องอากาศคั่นที่ต้องการ นำมาคั่นระหว่างแกนนอกของคู่ประกบ ส่วนการกำหนดช่องอากาศคั่นที่แกนกลาง ต้องสั่งโดยตรงจากผู้ผลิตแกนเฟอร์ไรต์หรือซัดแกนกลางออกเองเพื่อให้ได้ระยะช่องอากาศคั่นตามต้องการ

การกำหนดให้มีช่องอากาศคั่นแกนเฟอร์ไรต์นั้น มีความจำเป็นมากสำหรับหม้อแปลงของฟลายแบคคอนเวอร์เตอร์และเอาต์พุตโซลิดที่ใช้แกนเฟอร์ไรต์

แกนเฟอร์ไรต์สำหรับหม้อแปลงฟลายแบคและเอาต์พุตโซลิด

หม้อแปลงสวิตชิ่งสำหรับฟลายแบคคอนเวอร์เตอร์และตัวเอาต์พุตโซลิด จะทำงานในลักษณะที่ต้องเก็บสะสมพลังงานไว้ก่อน แล้วจึงถ่ายเทพลังงานออกไป จึงอาจกล่าวได้ว่า กำลังที่ได้จากหม้อแปลงจะมาจากค่าพลังงานที่หม้อแปลงสามารถสะสมไว้ได้นั่นเอง ในช่วงที่มีการสะสมพลังงานของหม้อแปลงหรือเอาต์พุตโซลิด พลังงานที่ถูกสะสมไว้จะมีค่าเท่ากับ LI^2 ความสัมพันธ์ระหว่างพลังงานสะสมกับขนาดของเฟอร์ไรต์สามารถหาได้จาก

$$LI^2_{P(pk)} = \frac{\Delta B^2_{(max)} \cdot l_g \cdot Ae}{0.4\pi} \times 10^{-8} \quad \text{จูล} \quad \dots\dots\dots (2.8)$$

- โดยที่ ℓ_g คือ ระยะห่างช่องอากาศคั่นแกนเฟอร์ไรต์ เป็นเซนติเมตร
 A_c คือ ขนาดพื้นที่หน้าตัดแกนเฟอร์ไรต์ เป็นตารางเซนติเมตร
 $\Delta B_{(max)}$ คือ ค่าความหนาแน่นฟลักซ์สูงสุดในแกน เป็นเกาส์
 L คือ ค่าความเหนี่ยวนำขดไพรมารีของหม้อแปลง เป็นเฮนรี
 $I_{p(pk)}$ คือ ค่ากระแสสูงสุดที่ผ่าน L เป็นแอมป์

ค่าของ $\Delta B_{(max)}$ โดยทั่วไปจะกำหนดไว้เป็นครึ่งหนึ่งของค่าอิ่มตัวของแกนเฟอร์ไรต์ ($B_{sat})/2$ จะเห็นว่าเราสามารถเพิ่มค่าพลังงานสะสม (หรือเพิ่มกำลังของหม้อแปลง) ได้โดยการเพิ่มระยะช่องอากาศคั่น หรือโดยการเพิ่มขนาดของแกนเฟอร์ไรต์ให้ใหญ่ขึ้น (A_c เพิ่มขึ้น) ในทางปฏิบัติการเพิ่มระยะช่องอากาศคั่นจะเป็นที่นิยมใช้มากกว่า เพราะต้องการให้หม้อแปลงสวิทซ์ิ่งและเอาต์พุต ไซค์มีขนาดเล็ก

อย่างไรก็ตาม แกนเฟอร์ไรต์ที่ขนาดหนึ่งๆ ระยะช่องอากาศคั่นสูงสุดจะถูกจำกัดด้วยค่าการสูญเสียที่เกิดขึ้นในขดลวดเพราะจำนวนรอบมีค่าเพิ่มขึ้น โดยจำนวนรอบจะมีค่าเพิ่มขึ้นตามระยะช่องอากาศที่เพิ่มขึ้น ดังสมการ

$$N = \frac{\Delta B_{(max)} \ell_g}{0.4\pi I_{p(pk)}} \dots\dots\dots (2.9)$$

เมื่อ N คือ จำนวนรอบของขดไพรมารีของหม้อแปลงหรือเอาต์พุต ไซค์

เนื่องจากระยะพันบนบอบบิ้นมีค่าจำกัด และอาจมีเนื้อที่ไม่พอสำหรับจำนวนรอบที่เพิ่มขึ้น รวมถึงการสูญเสียที่เกิดในขดลวดทองแดงจะมากขึ้นเมื่อจำนวนรอบมากขึ้น ซึ่งจะทำให้หม้อแปลงหรือเอาต์พุต ไซค์ ร้อน ผู้ออกแบบจึงต้องพิจารณาจุดที่เหมาะสมระหว่างการเพิ่มระยะช่องอากาศคั่นหรือการเพิ่มขนาดของแกนเฟอร์ไรต์ด้วย

ความสัมพันธ์ระหว่างขดไพรมารีและขดเซคคันดารีของหม้อแปลงสวิทซ์ิ่ง

หม้อแปลงสวิทซ์ิ่งจะมีความสัมพันธ์ของขดไพรมารีและขดเซคคันดารีเป็นไปตามทฤษฎีหม้อแปลงทั่วไป ผลของจำนวนรอบและค่าของแรงดันที่เกิดขึ้นในวงจรจะเป็นดังนี้

$$\frac{V_p}{V_s} = \frac{N_p}{N_s} = \frac{I_s}{I_p} \dots\dots\dots (2.10)$$

และ

$$\frac{N_p}{N_s} = \sqrt{\frac{L_p}{L_s}} \dots\dots\dots (2.11)$$

เมื่อ	N_p	คือ จำนวนรอบของขดไพรมารี
	N_s	คือ จำนวนรอบของขดเซคันดารี
	V_p	คือ ค่าแรงดันตกคร่อมขดไพรมารี
	V_s	คือ ค่าแรงดันตกคร่อมขดเซคันดารี
	L_p	คือ ค่าความเหนี่ยวนำของขดไพรมารี
	L_s	คือ ค่าความเหนี่ยวนำของขดเซคันดารี
	I_p	คือ ค่ากระแสที่ไหลผ่านขดไพรมารี
	I_s	คือ ค่ากระแสที่ไหลผ่านขดเซคันดารี

มีข้อสังเกตคือ แรงดัน V_p เป็นค่าแรงดันที่ตกคร่อมขดไพรมารีที่เกิดจากการเปลี่ยนแปลงของฟลักซ์แม่เหล็กภายในแกนของหม้อแปลงเนื่องจากมีกระแสไหลผ่านขดไพรมารี ไม่ใช่ค่าแรงดันอินพุต V_1 โดย V_p จะมีค่าเป็นไปตามสมการ

$$V_p = N_p \cdot A_e \left(\frac{dB}{dt} \right) \times 10^{-8} \dots\dots\dots (2.12)$$

แทนค่า V_p ที่เกิดขึ้นจะมีค่าใกล้เคียงกับค่า V_i แต่ถ้าแกนเฟอร์ไรต์เกิดการอิ่มตัว อัตราการเปลี่ยนแปลงของฟลักซ์แม่เหล็ก $\left(\frac{dB}{dt} \right)$ จะมีค่าน้อยมากหรือมีค่าเป็นศูนย์ แรงดันตกคร่อม V_p จะมีค่าลดลงอย่างรวดเร็วเหมือนเกิดการลัดวงจร และจะมีผลต่อการทำงานของหม้อแปลงและวงจรที่เกี่ยวข้องด้วย

2.4.3 การพันขดลวดทองแดงและการกำหนดขนาดของขดลวด

ปรกติการพันขดลวดในหม้อแปลงสวิตชิงจะใช้ลวดทองแดงอาบน้ำยา (enamel copper wire) เป็นตัวพัน ในขณะที่หม้อแปลงทำงาน สำหรับหม้อแปลงสวิตชิง กระแสลับที่ไหลผ่านขดลวดนั้นมีความถี่สูงที่ความถี่สูงๆ ลวดทองแดงจะนำกระแสได้เพียงที่ผิว ซึ่งมีผลทำให้พื้นที่ที่หน้าตัดในการนำกระแสของลวดทองแดงลดลง การสูญเสียในขดลวดจะมีมากขึ้น รวมทั้งการเรียงซ้อนกันของขดลวดก็มีผลทำให้เกิดการสูญเสียในขดลวดได้เช่นเดียวกัน กำลังงานที่สูญเสียเหล่านี้จะทำให้ขดลวดร้อน ซึ่งเป็นสิ่งที่ไม่ต้องการให้เกิดขึ้นในขณะที่หม้อแปลงทำงาน การกำหนดขนาดและวิธีการพันขดลวดทองแดงจึงทำอย่างเหมาะสม เพื่อลดการสูญเสียในขดลวดทองแดงให้มีค่าน้อยที่สุด

ผลจากการนำกระแสแค่เพียงที่ผิวของลวดทองแดง (Skin effect)

ลวดทองแดงเมื่อมีกระแสสลับไหลผ่านจะเกิดสนามแม่เหล็กไหลวนที่ภายในและรอบๆตัวมัน สนามแม่เหล็กที่เกิดขึ้นนี้จะเหนี่ยวนำให้เกิดกระแสไหลวน (Eddy current) ขึ้นภายในตัวลวดทองแดงอีกทอดหนึ่ง การไหลของกระแสไหลวนนี้ จะทำให้กระแสปรกติไหลได้เฉพาะที่ผิวของลวดทองแดง

จากผิวของลวดทองแดงถึงกลางภายในเนื้อลวดทองแดง จนถึงจุดที่ค่าความหนาแน่นของกระแสมีลดค่าลงมาเหลือเพียง 37 เปอร์เซ็นต์ของค่าความหนาแน่นกระแสที่ผิวมัน เราจะเรียกระยะนี้ว่าเป็นความหนาผิวนำกระแสของขดลวดทองแดง (skin depth) ความหนาของผิวนำกระแสนี้มีค่าขึ้นกับความถี่ และสำหรับลวดทองแดงที่ 100 C ความหนาของผิวนำกระแสจะมีค่า

$$\nabla = \sqrt{\frac{5.62}{f}} \quad (\text{มิลลิเมตร}) \quad \dots\dots\dots (2.13)$$

เมื่อ ∇ คือ ความหนาผิวนำกระแส เป็นมิลลิเมตร

f คือ ความถี่ของกระแส เป็น กิโลเฮิรตซ์

อัตราส่วนระหว่างความต้านทานที่กระแสสลับต่อความต้านทานที่กระแสดตรงของลวดทองแดง (F_R)

เนื่องจากความต้านทานของขดลวดทองแดงนั้นขึ้นกับค่าพื้นที่หน้าตัดนำกระแสของมัน และที่กระแสสลับพื้นที่หน้าตัดนำกระแสของลวดทองแดงจะลดลง เพราะกระแสไหลได้เฉพาะที่ผิวนำกระแส ดังนั้นความต้านทานที่กระแสสลับของลวดทองแดงจึงมีค่ามากกว่าความต้านทานเมื่อมันนำกระแสตรง

อัตราส่วนระหว่างความต้านทานของลวดทองแดงที่กระแสสลับต่อความต้านทานของมันที่กระแสตรง หรือ F_R (resistance factor) อาจหาได้จาก

$$F_R = \frac{R_{AC}}{R_{DC}} = \frac{(d/2\nabla)^2}{(d/2\nabla)^2 - (d/2\nabla - 1)^2} \quad \dots\dots\dots (2.14)$$

เมื่อ R_{AC} คือ ค่าความต้านทานของลวดทองแดงที่กระแสสลับ เป็น โอห์ม

R_{DC} คือ ค่าความต้านทานของขดลวดทองแดงที่กระแสดตรง เป็น โอห์ม

d คือ ขนาดเส้นผ่านศูนย์กลางของลวดทองแดง เป็น มิลลิเมตร

∇ คือ ความหนาผิวนำกระแส เป็นมิลลิเมตร

ในทางปฏิบัติ ค่า F_R อาจหาได้จากประมาณค่า โดย

$$F_R \cong \frac{1}{4} \left(\frac{d}{\nabla} + 1 \right) \quad \text{ถ้า} \quad \frac{d}{\nabla} \geq 5 \quad \dots\dots\dots (2.15)$$

เอกสารนี้เป็นเอกสารที่สงวนไว้สำหรับการใช้งานเพื่อการศึกษาเท่านั้น ไม่อนุญาตให้นำไปใช้ประโยชน์ด้านการค้าไม่ว่ากรณีใดๆ ทั้งสิ้น อีกทั้งห้ามมิให้ดัดแปลงเนื้อหาและต้องอ้างอิงถึงเจ้าของเอกสารทุกครั้งที่มีการนำไปใช้

การเลือกขนาดลวดทองแดงและการพันหม้อแปลงสวิตชิง

เมื่อต้องการพันหม้อแปลงโดยกำหนดให้

$$T = \frac{b_w}{N} \quad \dots\dots\dots(2.16)$$

และ $\nabla = \sqrt{\frac{5.62}{f}}$ ที่ 100C $\dots\dots\dots(2.17)$

เมื่อ N คือ จำนวนรอบของลวดทองแดง

จะได้ว่า

1. ถ้าค่าของอัตราส่วน $T/\nabla > 2$ การพันลวดทองแดงให้ได้ครบจำนวนรอบภายในชั้นเดียว (single layer) จะเกิดการสูญเสียในขดลวดทองแดงน้อยที่สุด แต่ในกรณีพันแทรกกลาง เมื่อ ค่า $T/\nabla > 6$ การพันขดลวดทองแดงให้ได้ครบจำนวนรอบภายในครึ่งชั้น (half layer) จะเกิดการสูญเสียในขดลวดทองแดงน้อยที่สุด

2. ถ้าค่าอัตราส่วน $T/\nabla < 2$ การพันลวดทองแดงให้ได้ครบจำนวนรอบสามารถพันได้มากกว่าหนึ่งชั้น แต่จำนวนชั้นยิ่งน้อยการสูญเสียจะน้อยตามไปด้วย

3. กรณีที่การพันลวดทองแดงให้ได้ครบตามจำนวนรอบมีจำนวนชั้นมากกว่าหนึ่งชั้น การพันลวดทองแดงแบบเว้นระยะห่างเท่าๆกัน (spaced winding) ค่าความต้านทานที่กระแสน้ำของขดลวดจะน้อยกว่าการเรียงลวดทองแดงให้ชิดกัน แต่ในกรณีที่การพันลวดทองแดงให้ได้ครบจำนวนรอบมีจำนวนชั้นได้เพียงชั้นเดียวหรือน้อยกว่า ต้องพันลวดทองแดงให้เรียงชิดกันเท่านั้น

การเลือกขนาดของลวดทองแดง

1. ให้คำนวณค่าประมาณของขนาดเส้นผ่านศูนย์กลางของลวดทองแดงจาก

$$d_{id} = \left(\frac{17.1b_w}{N \cdot f} \right)^3 \quad \text{มิลลิเมตร} \quad \dots\dots\dots(2.18)$$

เมื่อ d_{id} คือ ค่าคำนวณของขนาดเส้นผ่านศูนย์กลางลวดทองแดง เป็นมิลลิเมตร

b_w คือ ค่าระยะสำหรับพันขดลวดบนบอบบิ้น เป็น มิลลิเมตร

N คือ จำนวนรอบของขดลวด เป็นรอบ

f คือ ความถี่การทำงานของหม้อแปลง เป็นกิโลเฮิรตซ์

2. เลือกขนาดของขดลวดทองแดงที่มีผลติดจริง ที่ใกล้เคียงกับค่าที่คำนวณ d_{id} มากที่สุด บันทึกค่า

d, d_o, t_{min} และ R_{dc} เอาไว้

เอกสารนี้เป็นเอกสารที่สงวนไว้สำหรับการใช้งานเพื่อการศึกษาเท่านั้น ไม่อนุญาตให้นำไปใช้ประโยชน์ด้านการค้าไม่ว่ากรณีใดๆ ทั้งสิ้น อีกทั้งห้ามมิให้ดัดแปลงเนื้อหาและต้องอ้างอิงถึงเจ้าของเอกสารทุกครั้งที่มีการนำไปใช้

3. กำหนดจำนวนชั้นของขดลวดทองแดงที่จะได้เมื่อพันครบจำนวนรอบจากค่า t_{\min} ดังนี้

$$p_{di} = \frac{N}{\left(\frac{b_w}{t_{\min}} - 1\right)} \quad \dots\dots\dots(2.19)$$

3.1 ถ้าค่าจำนวนชั้น $p_{di} \leq 1$ ขนาดของขดลวดทองแดงที่เลือกมายังไม่พอ ให้เลือกขนาดของขดลวดทองแดงใหม่ โดยเปลี่ยนไปใช้วิธี กำหนดในกรณีที่มีชั้นเดียวหรือครึ่งชั้น

3.2 ปัดเศษของจำนวนชั้น p_{di} ที่คำนวณได้ให้เป็นจำนวนเต็ม โดยปัดขึ้นเพื่อให้ได้จำนวนชั้นเป็นจำนวนเต็ม p

4. กำหนดระยะห่างขดลวดในชั้น (winding pitch) จาก

$$l = \frac{pb_w}{(N + p)} \quad \dots\dots\dots(2.20)$$

ในการพันขดลวดระยะห่างของขดลวดระหว่างรอบจะกำหนดได้จากค่า t ที่คำนวณได้

5. เลือกค่าความหนาของเทปฉนวนเพื่อรองพันขดลวดในแต่ละชั้น ความสูงของขดลวดบนบอบขึ้นเมื่อพันครบจำนวนรอบจะมีค่าเท่ากับ

$$H_{id} = p(d_o + i) \quad \dots\dots\dots(2.21)$$

เมื่อ i คือ ความหนาของเทปฉนวนที่ใช้เป็นมิลลิเมตร

6. กำหนดค่าอัตราส่วน F_R จาก

$$F_R = 1 + \frac{1}{2}(d / d_{id})^6 \quad \dots\dots\dots(2.22)$$

7. กำหนดค่าความต้านทานที่กระแสสลับต่อหนึ่งหน่วยความยาว (R_{ac}) จาก

$$R_{ac} = F_R R_{DC} \quad \dots\dots\dots(2.23)$$

เมื่อ R_{DC} คือค่าความต้านทานที่กระแสตรงต่อหนึ่งหน่วยความยาวของขดลวดทองแดง

8. ดังนั้นกำลังสูญเสียที่เกิดขึ้นในขดลวด P_w จะมีค่า

$$P_w = C I_{RMS}^2 \cdot N \cdot l_{av} \cdot R_{ac} \quad \dots\dots\dots(2.24)$$

เมื่อ l_{av} คือ ค่าเฉลี่ยของความยาวขดลวดต่อหนึ่งรอบ เป็นเมตร

C คือ ค่าตัวคูณเท่ากับ 1 (กรณีเป็นการพันขดลวดแบบธรรมดา) และเท่ากับ 2 (กรณีเป็นการพันแบบแยกส่วนพัน)

I_{RMS} คือ ค่ากระแส RMS ที่ผ่านขดลวด เป็น แอมป์

กรณีจำนวนชั้นมีชั้นเดียวหรือมีเพียงครึ่งชั้น

1. กำหนดจำนวนชั้น p ให้มีค่าเท่า 1

2. คำนวณระยะห่างขดลวดระหว่างรอบ $t = p \frac{b_w}{(N + p)}$ (2.25)

3. เลือกขนาดของขดลวด ให้มีค่า $t_{\min} \leq t$

4. คำนวณค่าความสูงของขดลวดเมื่อพันครบจำนวนรอบจาก

$$H = d_0 + I \quad \dots\dots\dots(2.26)$$

5. คำนวณค่า ϕ จาก

$$\phi = \sqrt{\frac{0.124 f d^3}{t}} \quad \dots\dots\dots (2.27)$$

f เป็นกิโลเฮิรตซ์ , d และ t เป็น มิลลิเมตร

6. หาค่าอัตราส่วน F_R

7. คำนวณค่า R_{AC} จาก $R_{AC} = F_R R_{DC}$

8. คำนวณค่ากำลังสูญเสียที่เกิดขึ้นจาก

$$P_w = CI_{RMS}^2 \cdot N \cdot l_{av} \cdot R_{ac} \quad \dots\dots\dots(2.28)$$

อุณหภูมิของหม้อแปลงสวิตซิ่ง

การออกแบบหม้อแปลงสวิตซิ่งจะถือว่าประสบความสำเร็จ ถ้าขณะที่คอนเวอร์เตอร์จ่ายกำลังที่โหลดสูงสุดแล้วหม้อแปลงไม่ร้อน หม้อแปลงจะร้อนเนื่องจากมีกำลังสูญเสียในหม้อแปลงสูง ซึ่งจะเกิดจากกำลังงานสูญเสียภายในขดลวดทองแดงของหม้อแปลงและสูญเสียในแกนเฟอร์ไรต์ อุณหภูมิของหม้อแปลงที่เพิ่มขึ้นขณะทำงานเนื่องการสูญเสียในหม้อแปลงอาจคำนวณได้จากสมการ

$$\Delta T = \frac{23.5(P_w + P_c)}{\sqrt{A_e \cdot A_w}} \quad \dots\dots\dots (2.29)$$

เมื่อ ΔT คือ อุณหภูมิของหม้อแปลงที่เพิ่มขึ้นจากอุณหภูมิห้อง เป็น °C

P_w คือ กำลังสูญเสียภายในขดลวดทองแดง เป็นวัตต์

P_c คือ กำลังสูญเสียในแกนเฟอร์ไรต์ เป็น วัตต์

A_e คือ พื้นที่หน้าตัดของแกนเฟอร์ไรต์ เป็น ตารางเซนติเมตร

A_w คือ ขนาดช่องพันขดลวดของบอบบิ้น เป็นตารางเซนติเมตร

เพื่อไม่ให้อุณหภูมิของหม้อแปลงสูงเกินไป และเป็นข้อพิจารณา ในการเลือกขนาดของแกนเฟอร์ไรต์กับการเลือกขนาดและวิธีการพันขดลวดทองแดงที่เหมาะสม การก่าค่ากำลังสูญเสียสูงสุดในหม้อแปลงจึงควรทำเป็นอันดับแรกในการออกแบบหม้อแปลงสวิตซิ่ง

เอกสารนี้เป็นเอกสารที่สงวนไว้สำหรับการใช้งานเพื่อการศึกษาเท่านั้น ไม่อนุญาตให้นำไปใช้ประโยชน์ด้านการค้าไม่ว่ากรณีใดๆ ทั้งสิ้น อีกทั้งห้ามมิให้ดัดแปลงเนื้อหาและต้องอ้างอิงถึงเจ้าของเอกสารทุกครั้งที่มีการนำไปใช้

ฉากกัน RFI และ EMI

ฉากกัน RFI หรือ Faraday Screen เพิ่มเข้ามาในหม้อแปลงสวิตซ์เพื่อป้องกันการเกิดกระแส RF ไหลผ่านระหว่างขดไพรมารีและเซคันดารีในหม้อแปลง เนื่องจากสนามไฟฟ้าระหว่างขดลวดอาจทำให้เกิดตัวเก็บประจุแฝงคร่อมระหว่างขดไพรมารีและเซคันดารี ฉากกัน RFI จะเป็นตัวผ่านทางให้กระแส RF ที่เกิดขึ้นไหลลงกราวด์ โดยฉากกันจะแบ่งตัวเก็บประจุแฝงที่เกิดขึ้นออกเป็นสองส่วนแล้วต่อลงกราวด์

ฉากกัน RFI สามารถทำได้โดยใช้แผ่นตัวนำบางๆ และมีขนาดความกว้างเท่ากับระยะพันขดลวดของบอบบิ้นเพื่อให้คลุมขดลวดได้ทั้งหมด พันรอบบนแกนเพื่อแยกสนามไฟฟ้าระหว่างขดไพรมารีและเซคันดารีออกจากกัน พันให้ครบรอบ โดยที่ปลายของฉากกัน RFI ต้องให้มีการเหลื่อมกันให้น้อยที่สุด เพื่อลดค่าตัวเก็บประจุในฉากกันที่เกิดจากการเหลื่อมกันที่ปลายรอบ และให้ใช้ฉนวนรองระหว่างจุดเริ่มต้นและจุดปลายเอาไว้ เพื่อป้องกันการเชื่อมถึงกันทางไฟฟ้าที่จุดเริ่มต้นและจุดปลายของฉากกันด้วย

ฉากกัน EMI (Electromagnetic Screen) จะทำไว้เพื่อลดการแพร่กระจายของสัญญาณรบกวน EMI ซึ่งจุดที่จะก่อให้เกิดการแพร่กระจายของสัญญาณรบกวน EMI ได้มากที่สุดของหม้อแปลงสวิตซ์ก็คือช่องอากาศคั่นในแกนเฟอร์ไรต์ และลดสัญญาณรบกวน EMI จะทำได้โดยใช้แผ่นทองแดงที่มีความกว้างประมาณ 30 เปอร์เซ็นต์ของความกว้างบอบบิ้นพันรอบแกนเฟอร์ไรต์ เพื่อทำฉากกัน EMI คลุมรอบช่องอากาศคั่นเอาไว้ และบัดกรีเชื่อมจุดเริ่มต้นและจุดปลายเข้าด้วยกัน วิธีนี้จะช่วยลดการแพร่ของสัญญาณรบกวน EMI ได้ถึง 12 dB

ในทางตรงกันข้ามกับฉากกัน RFI ฉากกัน EMI ควรมีค่าความต้านทานไฟฟ้าน้อยที่สุดดังนั้นการใช้แผ่นทองแดงจึงค่อนข้างเหมาะสมและควรมีความหนาไม่ต่ำกว่า 0.25 มิลลิเมตรขึ้นไป

เทปฉนวน

เทปฉนวนสามารถแบ่งออกได้เป็นกลุ่มได้ตามวัสดุที่ใช้ที่อัตราอุณหภูมิขณะใช้งานของมัน การเลือกใช้เทปฉนวนไม่ว่าจะเป็นกลุ่มใด จะต้องเลือกใช้ให้มีอัตราอุณหภูมิมากกว่าอุณหภูมิสูงสุดของลวดทองแดงขณะหม้อแปลงทำงาน จะเห็นว่าเทปฉนวนในกลุ่มที่มีอัตราอุณหภูมิใช้งานสูงสุดคือกลุ่ม H นั้น มีอัตราอุณหภูมิสูงสุดขณะใช้งานเพียง 180°C อุณหภูมิสูงสุดของขดลวดในหม้อแปลงจึงไม่ควรเกิน 180°C ในทางปฏิบัติเพื่อความปลอดภัยควรกำหนดอุณหภูมิสูงสุดของหม้อแปลงสวิตซ์ไว้ไม่เกิน 85°C ตามอัตราอุณหภูมิปกติของเทปฉนวน

Class of insulation	typical ambient Temperature in °c	maximum operating temperature in °c
0	40	90
A	40	105
B	75	130
F	75	155
H	85	180

ตารางที่ 2.1 การจัดกลุ่มของเทปฉนวนตามอัตราอุณหภูมิ

บอบบี้

บอบบี้ทำจากพลาสติกและสามารถถูกคิดไฟได้เช่นเดียวกับกรณีของเทปฉนวน ดังนั้นตามมาตรฐานความปลอดภัยแล้ว เมื่อกพลาสติกที่นำมาฉนวนขึ้นรูปเป็นบอบบี้จึงต้องเป็นวัสดุที่ไม่ติดไฟ บอบบี้มาตรฐานสำหรับหม้อแปลงสวิตจิ้งควรทำมาจากวัสดุที่มีลักษณะการติดไฟอยู่ในกลุ่ม V-0, V-1 และ V-2 (มาตรฐาน IEC) โดยทั่วไปผู้ผลิตบอบบี้มักจะใช้วัสดุที่ผ่านมาตรฐานทดสอบของ UL (UL94) เช่น วัสดุในกลุ่ม 94V-0, 94V-1 และ 94V-2 เป็นต้น ซึ่งสามารถใช้ได้ดีเช่นกัน

บทที่ 3

คิซึ มอเตอร์

3.1 หลักการทำงานของคิซึมอเตอร์

คิซึมอเตอร์เป็นทรานส์ดิวเซอร์แรงบิดซึ่งออกแบบให้มีคุณลักษณะพิเศษคือแรงบิดบิดของเพลลาของคิซึมอเตอร์จะเป็นสัดส่วน ϕ โดยตรงกับกระแสอาร์มาเจอร์ แรงบิดของเพลลาของคิซึมอเตอร์จะได้จากผลระหว่างสนามแม่เหล็กและขดลวดตัวนำ กระแสที่ไหลในขดลวดตัวนำจะสร้างฟิลด์ที่ประกอบด้วยเส้นแรงแม่เหล็ก ϕ และขดลวดตัวนำเหล่านั้นอยู่ห่างจากศูนย์กลางการหมุนเท่ากับ r ความสัมพันธ์ระหว่างแรงบิดของเพลลาและกระแสเท่ากับ

$$T = K\phi I \quad \dots\dots\dots (3.1)$$

เมื่อ T คือแรงบิดของเพลลามีหน่วยเป็น นิวตัน-เมตร

ϕ คือเส้นแรงแม่เหล็กมีหน่วยเป็น เวเบอร์

I กระแสเป็นแอมแปร์

และ K คือตัวคงที่ คำนวณแรงบิดของเพลลาจะเป็นสัดส่วนโดยตรงกับผลคูณของเส้นแรงแม่เหล็กและกระแสเมื่อขดลวดตัวนำเคลื่อนที่ในสนามแม่เหล็กก็จะทำให้เกิดโวลต์เตจคร่อมตัวมันเอง โวลต์เตจนี้จะเป็นสัดส่วนกับความเร็วของเพลลาของมอเตอร์และการไหลของกระแส ความสัมพันธ์ระหว่างโวลต์เตจย้อนกลับนี้และความเร็วของเพลลามอเตอร์คือ

$$E = K\phi\omega \quad \dots\dots\dots (3.2)$$

เมื่อ E คือโวลต์เตจย้อนกลับ emf มีหน่วยเป็นโวลต์

ϕ คือเส้นแรงแม่เหล็กมีหน่วยเป็น เวเบอร์

ω คือความเร็วของมอเตอร์มีหน่วยเป็นเรเดียน / วินาที

3.2 การแยกประเภทของคิซึมอเตอร์

คิซึมอเตอร์สามารถแบ่งออกได้เป็นหลายประเภทขึ้นอยู่กับลักษณะวิธีการสร้างสนามแม่เหล็กของตัวมอเตอร์และขึ้นอยู่กับพื้นฐานการออกแบบโครงสร้างของอาร์มาเจอร์ ถ้าเราพิจารณาแยกประเภทตามลักษณะการออกแบบโครงสร้างอาร์มาเจอร์สามารถแยกออกได้เป็น 3 แบบคือ

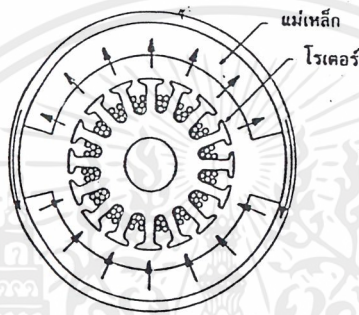
1. คิซึมอเตอร์แบบอาร์มาเจอร์เป็นแกนเหล็ก
2. คิซึมอเตอร์แบบอาร์มาเจอร์ที่มีขดลวดพันอยู่บนพื้นผิว
3. คิซึมอเตอร์แบบอาร์มาเจอร์เป็นขดลวดหมุน

เอกสารนี้เป็นเอกสารที่สงวนไว้สำหรับการใช้งานเพื่อการศึกษาเท่านั้น ไม่อนุญาตให้นำไปใช้ประโยชน์ด้านการค้าไม่ว่ากรณีใดๆ ทั้งสิ้น อีกทั้งห้ามมิให้ดัดแปลงเนื้อหาและต้องอ้างอิงถึงเจ้าของเอกสารทุกครั้งที่มีการนำไปใช้

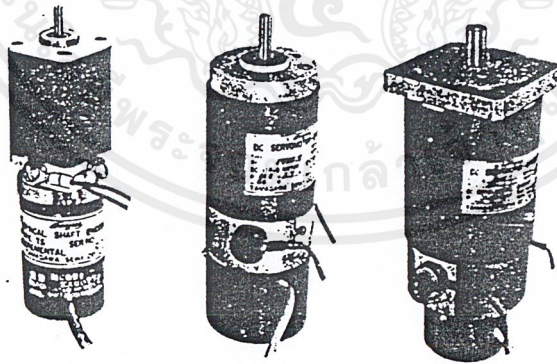
นอกจากนี้ยังมีดีซีมอเตอร์ชนิดพิเศษอีกแบบหนึ่งคือ แบบไม่มีแปรงถ่าน ซึ่งมีหลักการทางเทคโนโลยีเหมือนกับดีซีมอเตอร์ชนิดมีแปรงถ่านยกเว้น การเชื่อมมีวเทชั่นกระทำโดยเทคนิคทางอิเล็กทรอนิกส์ แทนที่จะกระทำโดยวิธีการทางเชิงกล

ดีซีมอเตอร์แบบอาร์มาเจอร์เป็นแกนเหล็ก

โครงสร้างของโรเตอร์และสเตเตอร์ของมอเตอร์แบบแกนเหล็กแสดงดังในรูปที่ 3.1 โครงสร้างของมอเตอร์แบบนี้มีโมเมนต์ของแรงเฉื่อยสูงที่สุดและค่าอินดักแตนซ์ของโรเตอร์สูงที่สุดด้วยคั้งนั้นมอเตอร์นี้จึงมีปริมาณการจุความร้อนได้สูง และสามารถทนโอเวอร์โหลดได้ในระยะที่ยาวนานโดยไม่ทำให้มอเตอร์เสียหาย



รูปที่ 3.1 แสดงหน้าตัดของดีซีมอเตอร์แบบอาร์มาเจอร์เป็นแกนเหล็ก

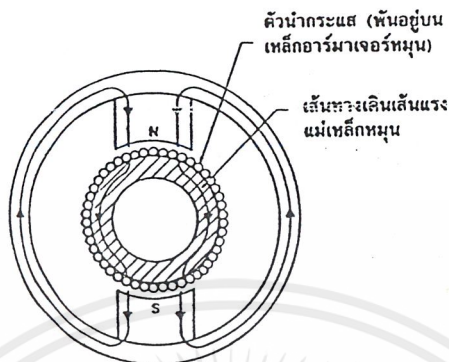


รูปที่ 3.2 ดีซีมอเตอร์และเอนโคโคเตอร์แบบอาร์มาเจอร์เป็นแกนเหล็กขนาดต่างๆ

เอกสารนี้เป็นเอกสารที่สงวนไว้สำหรับการใช้งานเพื่อการศึกษาเท่านั้น ไม่อนุญาตให้นำไปใช้ประโยชน์ด้านการค้า ไม่ว่าจะกรณีใดๆ ทั้งสิ้น อีกทั้งห้ามมิให้ดัดแปลงเนื้อหาและต้องอ้างอิงถึงเจ้าของเอกสารทุกครั้งที่มีการนำไปใช้

คิซิมอเตอร์แบบอาร์มาเจอร์มีขดลวดพันอยู่บนพื้นผิว

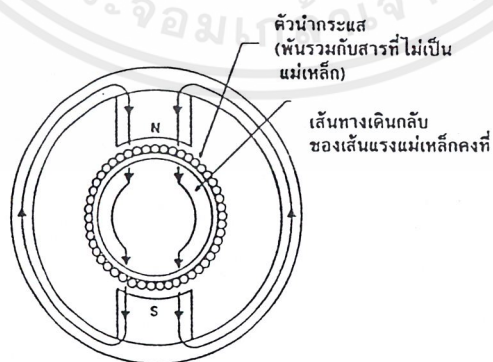
ในรูป 3.3 แสดงถึงการออกแบบของโรเตอร์ที่มีขดลวดพันอยู่บนพื้นผิว โดยไม่มีสล้อททำให้ได้อินดักเต้นซ์ของโรเตอร์ต่ำกว่าแบบแกนเหล็ก ข้อเสียคือ ทำให้ขนาดของมอเตอร์แบบนี้ใหญ่ขึ้นและราคาแพงกว่าแบบแกนเหล็กด้วย



รูปที่ 3.3 แสดงรูปหน้าตัดของคิซิมอเตอร์แบบมีขดลวดบนพื้นผิว

คิซิมอเตอร์แบบอาร์มาเจอร์เป็นขดลวดหมุน

มอเตอร์แบบขดลวดหมุนนี้ได้รับการออกแบบเพื่อให้มีโมเมนต์ของแรงเฉื่อยน้อยมากดังในรูปที่ 3.4 ลักษณะโครงสร้างภายนอกและโครงสร้างของแม่เหล็กมอเตอร์แบบนี้มีช่องว่างอากาศ ระหว่างแม่เหล็กมากกว่ามอเตอร์ทั้งสองแบบที่กล่าวมาแล้ว ดังนั้นจึงจำเป็นต้องออกแบบให้โครงสร้างของแม่เหล็กให้ใหญ่ขึ้นเพื่อให้ได้ช่องว่างของอากาศระหว่างเส้นแรงแม่เหล็กที่เท่ากันกับของมอเตอร์ทั้งสองแบบดังกล่าว ดังนั้นราคาของมอเตอร์แบบนี้จึงมีราคาแพง นอกจากนั้น โครงสร้างของโรเตอร์มีความจุความร้อนต่ำมากถ้าหากเกิดโอเวอร์โหลดก็จะทำให้มอเตอร์เสียหายได้ง่าย และโรเตอร์ลักษณะนี้จะมีค่าอินดักเต้นซ์ต่ำมากคือน้อยกว่า 10 ไมโครเฮนรี่



รูปที่ 3.4 หน้าตัดของคิซิมอเตอร์แบบมีโรเตอร์เป็นขดลวดหมุน

เอกสารนี้เป็นเอกสารที่สงวนไว้สำหรับการใช้งานเพื่อการศึกษาเท่านั้น ไม่อนุญาตให้นำไปใช้ประโยชน์ด้านการค้า ไม่ว่ากรณีใดๆ ทั้งสิ้น อีกทั้งห้ามมิให้ดัดแปลงเนื้อหาและต้องอ้างอิงถึงเจ้าของเอกสารทุกครั้งที่มีการนำไปใช้

3.3 เซอร์โวแอมพลิไฟเออร์

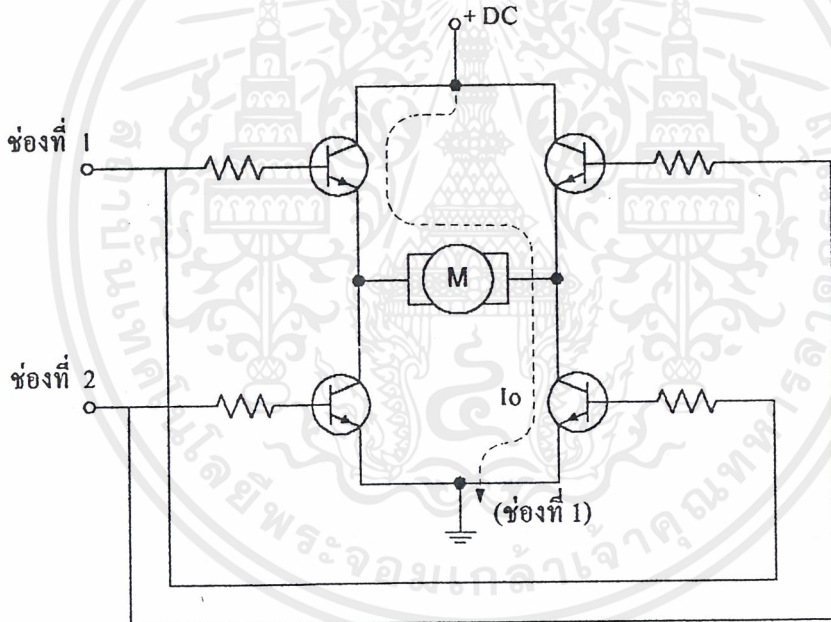
เซอร์โวแอมพลิไฟเออร์สามารถให้เอาต์พุตโวลต์เตจหรือกระแสที่มีค่าเป็นบวกและลบ ได้ ดังนั้นมันจะทำงานได้ใน 4 ควอเตอร์

เราสามารถจัดประเภทของเซอร์โวแอมพลิไฟเออร์ออกได้เป็น 3 ประเภทคือ

1. ลิเนียร์แอมพลิไฟเออร์
2. SCR แอมพลิไฟเออร์
3. สวิตชิงแอมพลิไฟเออร์

ลิเนียร์แอมพลิไฟเออร์

เซอร์โวแอมพลิไฟเออร์แบบทรานซิสเตอร์จัดออกได้ตามหลักการออกแบบภาคเอาต์พุต ออกได้เป็น 2 แบบคือ “H” และ “T” มีลักษณะวงจรพื้นฐานดังแสดงในรูปที่ 3.5 และ 3.6



รูปที่ 3.5 ภาคเอาต์พุตแบบ “H”

วงจรภาคเอาต์พุตแบบ “H” หรือแบบบริดจ์ประกอบด้วยทรานซิสเตอร์ 4 ตัว ใช้คีชีเพาเวอร์ซัพพลายเพียงตัวเดียว ภาคเอาต์พุตแบบนี้มีข้อดีคือ ง่าย เพาเวอร์ซัพพลายใช้เพียงขั้วเดียว(+DC) และการป้องกันโวลต์เตจย้อนกลับจะมีการแบ่งส่วนกันระหว่างทรานซิสเตอร์อย่างไรก็ตามเป็นการยากที่จะให้วงจรภาคเอาต์พุตแบบนี้ทำงานเป็นลิเนียร์ และกระทำการป้อนกลับของกระแสและโวลต์เตจจากมอเตอร์กระทำได้ยาก เนื่องจากมอเตอร์อยู่ในสภาวะลอยตัว (หรือไม่ได้ต่อกับกราวนด์)

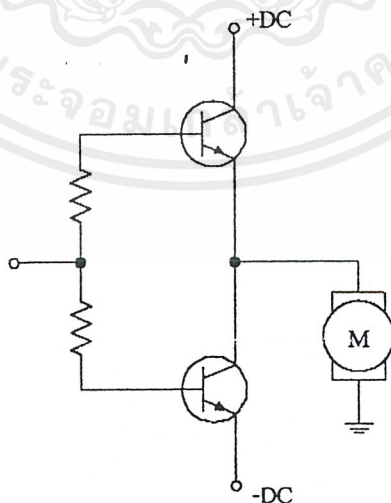
เอกสารนี้เป็นเอกสารที่สงวนไว้สำหรับการใช้งานเพื่อการศึกษาเท่านั้น ไม่อนุญาตให้นำไปใช้ประโยชน์ด้านการค้า ไม่ว่าจะกรณีใดๆ ทั้งสิ้น อีกทั้งห้ามมิให้ดัดแปลงเนื้อหาและต้องอ้างอิงถึงเจ้าของเอกสารทุกครั้งที่มีการนำไปใช้

วงจรภาคเอาต์พุตแบบ “T” จะต้องใช้เพาเวอร์ซัพพลายสองชุด (+DC และ -DC) และทรานซิสเตอร์ 2 ตัวที่เป็นคอมพลิเมนต์กัน แต่สามารถใคร่ไว้เป็นลิเนียร์ได้ง่ายและสามารถกระทำการป้อนกลับของโวลต์เตจและกระแสได้ง่าย ด้วยเหตุดังกล่าวนี้วงจรแบบ “T” มักได้รับการนิยมนำมาใช้เป็นลิเนียร์แอมพลิไฟเออร์ การไบอัสเอาต์พุตทรานซิสเตอร์ต้องให้ความระมัดระวังเป็นพิเศษ เพราะถ้าหากทรานซิสเตอร์ทั้งสองตัวนำกระแสในเวลาเดียวกันจะทำให้เกิดการลัดวงจรระหว่างเพาเวอร์ซัพพลายทั้งสองชุด

คุณสมบัติที่แสดงถึงความสัมพันธ์ระหว่างอินพุตกับเอาต์พุต ของภาคเอาต์พุตตามปกติก็น่าจะมีลักษณะของ เดดโซน (Dead zone) ซึ่งเป็นลักษณะนอนลิเนียร์ของแอมพลิไฟเออร์ ถ้าเราให้แอมพลิไฟเออร์นั้นมีการป้อนกลับแบบลบก็สามารถลดความเป็นนอนลิเนียร์ดังกล่าวลงได้ในกรณีแอมพลิไฟเออร์ใช้งานแบบ ออน-ออฟ คอนโทรล ค่าของเดดโซนไม่เป็นสิ่งสำคัญ เนื่องจากแอมพลิไฟเออร์จะทำงานเฉพาะในส่วนที่นำกระแสหรือไม่นำกระแสเท่านั้น

เอาต์พุตเพาเวอร์ของลิเนียร์แอมพลิไฟเออร์จะถูกจำกัดด้วยปริมาณความร้อนที่เกิดขึ้นที่ภาคเอาต์พุตเอง เนื่องจากเพาเวอร์ที่สูญเสียในภาคเอาต์พุตจะเท่ากับผลคูณของกระแสและ โวลต์เตจตกคร่อม ทรานซิสเตอร์ ทรานซิสเตอร์ และฮีทซิงค์ที่ต่อรวมอยู่จะต้องสามารถทนต่อความร้อนที่เกิดจากเพาเวอร์ที่สูญเสียในตัวทรานซิสเตอร์

แพ็คเกจ์อีกอันหนึ่งที่ต้องพิจารณาในการออกแบบลิเนียร์แอมพลิไฟเออร์ เซคอนดารีเบรกควาน์ แร็คเตอร์รีสติกของทรานซิสเตอร์ซึ่งจะเป็นตัวลิมิตระยะเวลาการไหลของกระแสที่ระดับโวลต์เตจที่กำหนดเพื่อแน่ใจว่าไม่เกินลิมิตดังกล่าว ดังนั้นลิเนียร์หรือเซอร์โวแอมพลิไฟเออร์ควรจะต้องมีวงจรมลิตกระแสเพื่อป้องกันไม่ให้แอมพลิไฟเออร์พังหรือเสียหายได้ภายใต้เงื่อนไขที่มอเตอร์ถูกจับให้หยุดหรือมีโหลดทอร์คเกินไป



รูปที่ 3.6 ภาคเอาต์พุตแบบ “T”

เอกสารนี้เป็นเอกสารที่สงวนไว้สำหรับการใช้งานเพื่อการศึกษาเท่านั้น ไม่อนุญาตให้นำไปใช้ประโยชน์ด้านการค้า ไม่ว่ากรณีใดๆ ทั้งสิ้น อีกทั้งห้ามมิให้ดัดแปลงเนื้อหาและต้องอ้างอิงถึงเจ้าของเอกสารทุกครั้งที่มีการนำไปใช้

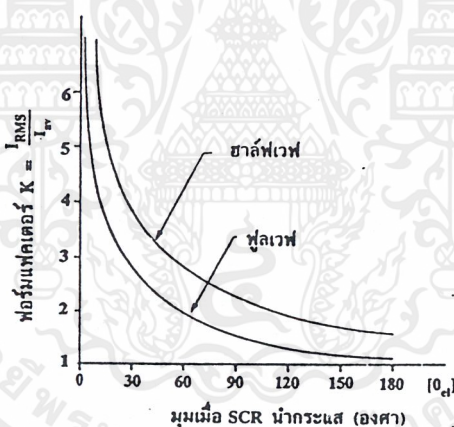
SCR แอมพลิไฟเออร์

ระบบคอนโทรลความเร็วด้วย SCR มักจะใช้ เอ-ซี เพาเวอร์ไลน์ที่มีความถี่ 50-60 Hz สำหรับระบบ single phase แบบฮาล์ฟ-เวฟ แบบคัตวีกต์ของระบบถูกจำกัดอยู่ที่ 2-3 Hz ส่วนระบบฟลู-เวฟ แบบสามเฟสจะมีแบนด์วิดท์อยู่ที่ 25-30 Hz

ระบบคอนโทรลความเร็วที่ใช้ SCR จะไม่สามารถคอนโทรลความเร็วได้ช่วงพิสัยกว้างเหมือนกับการคอนโทรลด้วยลิเนียร์ทรานซิสเตอร์แอมพลิไฟเออร์ ปัญหาหนักอีกอันหนึ่งของการคอนโทรลความเร็วด้วย SCR คือมันจะให้ฟอรัมแฟคเตอร์ที่มีค่าสูงซึ่งอาจจะทำให้การทำงานของมอเตอร์เลวลงและมีผลทำให้เกิดความร้อนในตัวมอเตอร์

ฟอรัมแฟคเตอร์ของการคอนโทรลด้วย SCR จะขึ้นอยู่กับชนิดของการคอนโทรล ขนาดของมุมที่นำกระแส และขึ้นอยู่กับอินดักเต็นซ์ของมอเตอร์ ดังนั้นจึงยากที่จะหาค่าฟอรัมแฟคเตอร์โดยที่ไม่รู้รายละเอียดการนำไปประยุกต์ใช้งาน

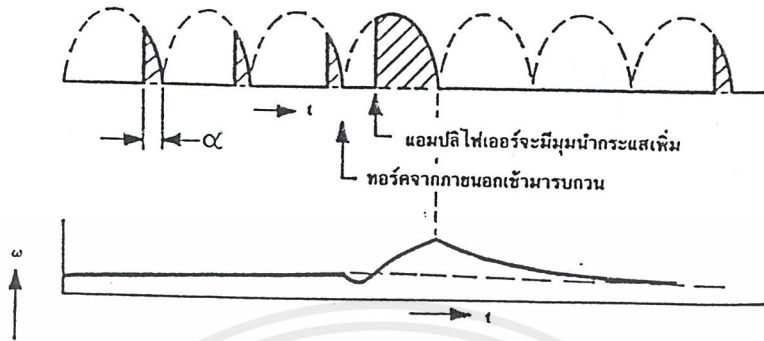
เราสามารถจะทำให้ฟอรัมแฟคเตอร์มีค่าน้อยลงได้ โดยการเพิ่มอินดักเต็นซ์อนุกรมกับวงจรของมอเตอร์ซึ่งจะทำให้แบนด์วิดท์ของระบบลดลง ซึ่งจะมีผลกระทบต่อช่วงพิสัยของความเร็วหรือเสถียรภาพของระบบ



รูปที่ 3.7 แสดงค่าฟอรัมแฟคเตอร์ต่อขนาดของมุมนำกระแส

ปัญหาที่สำคัญอีกอันหนึ่งในระบบคอนโทรลความเร็วด้วย SCR คือ transportation lag ในระบบที่เกิดจากการกำหนดมุมให้ SCR นำกระแสแต่ละฮาล์ฟไซเคิลมีระยะห่างกันมากเกินไปหมายถึงในกรณีการคอนโทรลที่ความเร็วต่ำระบบที่อยู่ในสถานะสภาพดังกล่าวจะทำงานในลักษณะที่มีขนาดของมุมการนำกระแสค่อนข้างมาก ดังแสดงในรูปที่ 3.8 และถ้าหากได้รับการเปลี่ยนแปลงโหลดอย่างทันทีทันใด ซึ่งจะยังผลให้ความเร็วเปลี่ยน และเป็นสาเหตุให้สัญญาณเออร์เรอร์ไปทำให้ภาคเอาต์พุตมีขนาดของมุมการนำกระแสเพิ่มขึ้นอย่างมาก จากนั้นจะเกิดผลการเปลี่ยนแปลงของเพาเวอร์อย่างหนักคือส่วนของการนำกระแสในฮาล์ฟไซเคิลเพิ่มขึ้น แม้ว่าในระหว่างสัญญาณเออร์เรอร์จะกลับเข้าสู่ค่าปกติแล้วก็ตาม ในตอนนี้มอเตอร์จะเอกซารนี้เป็นเอกสารที่สงวนไว้สำหรับการใช้งานเพื่อการศึกษาเท่านั้น ไม่อนุญาตให้นำไปใช้ประโยชน์ด้านการค้าไม่ว่ากรณีใดๆ ทั้งสิ้น อีกทั้งห้ามมิให้คัดแปลงเนื้อหาและต้องอ้างอิงถึงเจ้าของเอกสารทุกครั้งที่มีการนำไปใช้

มีความเร็วสูงที่ผิดไปเป็นจำนวนมากซึ่งมันจะต้องลดความเร็วลงสู่ความเร็วที่กำหนดไว้อีกครั้งก็มีเพ็ทเทอนของมุมนำกระแสคล้ายเดิม คุณลักษณะนี้เป็นการเกิดความเร็วติดขัดหรือกระตุก (cogging action)



รูปที่ 3.8 ผลการเปลี่ยนแปลงโพลคอย่างทันทีทันใดในระบบคอนโทรลด้วย SCR

การแก้ไขปัญหาของระบบดังกล่าวที่กระทำได้ไม่ยากก็คือ ทำให้ผลตอบสนองของระบบช้าลงโดยใช้ lag network ก็จะทำให้ผลของความไม่เสถียรภาพหายไป แต่ก็ทำให้ระบบมีผลตอบสนองต่อการเปลี่ยนโพลค และการเปลี่ยนแปลงคำสั่งของความเร็วเป็นไปอย่างเชื่องช้า การแก้ปัญหาคด้วย lag network เพื่อทำให้ระบบมีผลตอบสนองช้าลงนี้ไม่มีความจำเป็นในระบบการใช้งานที่มีโพลคคงที่หรือโพลคมีค่าโมเมนต์ของความเฉื่อยสูง ระบบการคอนโทรลความเร็วที่มีช่วงพิสัยการปรับความเร็วกว้าง มีคุณภาพการคอนโทรลสูงจะไม่ใช้การแก้ปัญหาคด้วย lag network

การชดเชยระบบคอนโทรลด้วย SCR ได้ถูกต้องเหมาะสมกับการประยุกต์ไปใช้งานการคอนโทรลด้วย SCR ก็เป็นระบบคอนโทรลความเร็วที่ดี เรามีแฟคเตอร์หลักที่ต้องพิจารณาดังนี้

- คุณภาพการทำงานจากระบบ
- ราคา
- ความคล่องตัวในการใช้งาน
- อดทนประโชชน์

เอกสารนี้เป็นเอกสารที่สงวนไว้สำหรับการใช้งานเพื่อการศึกษาเท่านั้น ไม่อนุญาตให้นำไปใช้ประโยชน์ด้านการค้า ไม่ว่ากรณีใดๆ ทั้งสิ้น อีกทั้งห้ามมิให้ดัดแปลงเนื้อหาและต้องอ้างอิงถึงเจ้าของเอกสารทุกครั้งที่มีการนำไปใช้

สวิตช์แอมพลิไฟเออร์

ลิเนียร์แอมพลิไฟเออร์ที่ใช้ในระบบคอนโทรลความเร็วจะมีปัญหาเกี่ยวกับความร้อนที่เกิดในภาคเอาต์พุตซึ่งจำเป็นต้องใช้พัดลมระบายความร้อนในลิเนียร์แอมพลิไฟเออร์ที่มีขนาดมากกว่า 100 ถึง 200 วัตต์

สวิตช์แอมพลิไฟเออร์สามารถแก้ปัญหาความร้อนที่เกิดในภาคเอาต์พุตได้ โยภาคเอาต์พุตของสวิตช์แอมพลิไฟเออร์จะทำงานเป็นสวิตช์อย่างรวดเร็วจากสถานะที่ไม่นำกระแสไปสู่สถานะการนำกระแสเต็มที่ ดังนั้นจะทำให้ภาคเอาต์พุตทำงานในย่านที่มีการสูญเสียน้อยที่สุด

ปัจจุบันเราสามารถออกแบบเพาเวอร์สวิตช์แอมพลิไฟเออร์ที่สามารถให้เอาต์พุตเป็น square wave ที่มีสวิตช์เรตถึง 50 KHz การที่จะได้สวิตช์สูงๆ นั้นเราต้องใช้เทคนิคการป้อนกลับด้วยกระแสบวก ด้วยเทคนิคนี้จะทำให้ระบบเซอร์โวมอเตอร์ได้หลาย KHz

เพาเวอร์ที่สูญเสียในสวิตช์แอมป์มีสาเหตุมาจากสองประการคือ

1. พอร์เวจด์โวลต์เตจตกคร่อมเอาต์พุตทรานซิสเตอร์มีค่าประมาณ 1 หรือ 2 โวลต์
2. ทรานซิชันไทม์ (transition time) คือเวลาที่ใช้ในการสวิตช์จากสถานะ ON ไปสู่สถานะ OFF การคอนโทรลเพาเวอร์ด้วยสวิตช์แอมพลิไฟเออร์กระทำได้ 3 วิธีที่เป็นพื้นฐานดังนี้

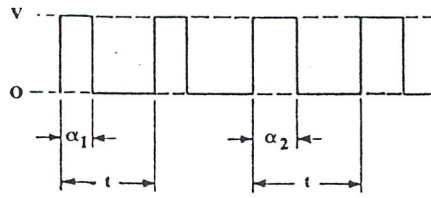
1. พัลส์-วิดท์โมดูเลชัน (PWM)
2. พัลส์-ฟรีควนซีโมดูเลชัน (PFM)
3. ซิลิคอน คอนโทรลเรกติไฟเออร์ (SCR)

ซึ่งในที่นี้จะขอกล่าวถึงเฉพาะ พัลส์-วิดท์โมดูเลชัน เนื่องจากเป็นที่นิยมใช้ในการควบคุมมอเตอร์ซึ่งสามารถศึกษารายละเอียดได้จากหัวข้อถัดไป

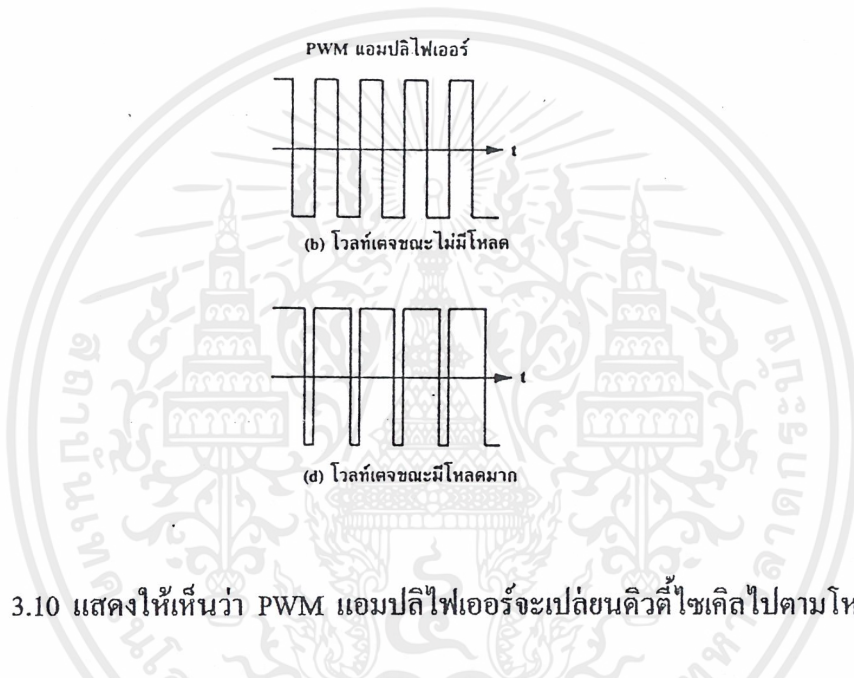
3.4 พัลส์วิดท์โมดูเลชันแอมพลิไฟเออร์ (PWMA)

ระบบ PWM ปกติจะใช้ ดิซิจัลพลาซและแอมพลิไฟเออร์เป็นตัวสวิตช์ซัพพลายโวลต์เตจให้ ON และ OFF ที่ความถี่คงที่และมีส่วนของมุม ON ที่ปรับค่าได้ ดังแสดงในรูปที่ 3.8 ดังนั้นเราสามารถปรับค่าโวลต์เตจที่จ่ายให้โหลดได้ ปริมาณของเพาเวอร์ที่ส่งผ่านให้โหลดจะขึ้นอยู่กับสวิตช์เรต และอินดักแตนซ์ของโหลด

เมื่อโหลดเพิ่มขึ้นความถี่ของ PWM แอมพลิไฟเออร์จะคงที่ แต่จะเปลี่ยนค่าดิวิตีไซเคิลไปตาม โหลด ดังรูปที่ 3.9



รูปที่ 3.9 แสดงรูปคลื่น โวลต์เตจของ PWM แอมพลิไฟเออร์



รูปที่ 3.10 แสดงให้เห็นว่า PWM แอมพลิไฟเออร์จะเปลี่ยน-duty cycle ไปตามโหลด

ในระบบ คีชีเซอร์โว แอมพลิไฟเออร์จะมีหน้าควบคุมกระแสและโวลต์ที่ใช้ในการขับเคลื่อนมอเตอร์ เพื่อให้ได้ค่าความเร็วตามที่ต้องการ อย่างลิเนียร์แอมพลิไฟเออร์ซึ่งเป็นแอมพลิไฟที่มีความสัมพันธ์ อย่างง่าย ๆ และมีช่วงแบนด์วิดท์ที่กว้างมาก แต่คุณสมบัติแอมพลิไฟมีข้อจำกัดบางประการ เพราะแอมพลิไฟต้องสูญเสียพลังงานไปที่เอาท์พุททรานซิสเตอร์มาก เช่นมอเตอร์ตัวหนึ่งต่ออนุกรมกับแอมพลิไฟ โดยใช้ซัพพลายร่วมกัน ซัพพลายจ่ายไฟ 50 โวลต์ มอเตอร์ใช้ไฟไป 10 โวลต์ และกระแส 20 แอมแปร์ มอเตอร์จึงกินพลังงานไป 200วัตต์ แต่จะเห็นว่ามีกระแสที่แอมพลิไฟถึง 800 วัตต์ ก็จะมีมากเป็น 4 เท่าของมอเตอร์

วิธีหนึ่งที่จะแก้ปัญหาคือใช้แอมพลิไฟควบคุมมอเตอร์โดยการเปลี่ยนแปลง-duty cycle ของโวลต์เตจที่จ่ายให้แก่มอเตอร์ แอมพลิไฟนี้เรียกว่า “สวิทช์แอมพลิไฟ” ซึ่งสามารถควบคุมความเร็วต่างๆ โดยมีแรงบิดสูงอยู่โดยไม่สิ้นเปลืองพลังงานเหมือนพวลลิเนียร์แอมพลิไฟ

สวิตช์แอมพลิไฟน์ทรานซิสเตอร์แอมพลิไฟจะทำหน้าที่คล้ายสวิตช์ เมื่อทรานซิสเตอร์นำกระแสโวลต์เตจตกคร่อมตัวมันจะน้อยมากจนสามารถตัดทิ้งได้ แต่เมื่อมันหยุดนำกระแสโวลต์เตจที่ตกคร่อมตัวมันจะมีค่ามากเข้าใกล้ V_{cc} และมีกระแสไหลผ่านน้อยมากถือได้ว่าเป็นศูนย์ ด้วยเหตุดังกล่าวนี้การสูญเสียในเอาต์พุททรานซิสเตอร์จึงมีค่าต่ำ ระบบสวิตช์ซึ่งสามารถสร้างได้หลายวิธีมีทฤษฎีหนึ่งในการทำให้แอมพลิไฟสวิตช์ด้วยความถี่คงที่และสามารถแปรค่าของ on และ off ของพัลส์ได้ตามต้องการแอมพลิไฟชนิดนี้เรียกว่า พัลส์วิดโมดูเลเตอร์ (PWM) แอมพลิไฟซึ่งถ้าเราสามารถออกแบบให้แปรค่าได้ทั้งค่าพัลส์และความถี่แล้วก่อให้เกิดประโยชน์ในการควบคุมรักษากระแสสูงๆได้ แต่อาจเกิดออสซิลเลทหรือทำให้เกิดเสียงรบกวนที่ความถี่รีโซแนนท์ ดังนั้นในบทนี้จะกล่าวถึงแอมพลิไฟแบบ PWM ที่มีความถี่คงที่เท่านั้น

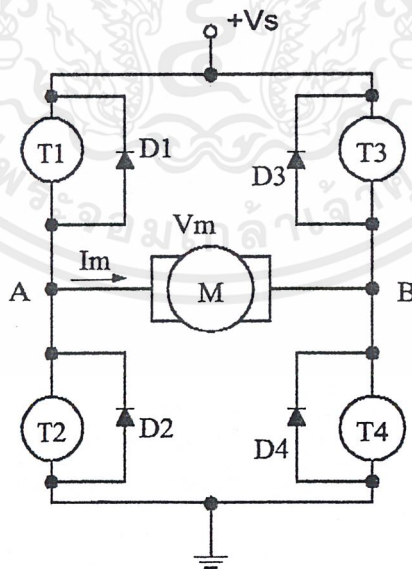
แอมพลิไฟแบบ PWM สามารถทำงานได้ 3 แบบคือไบโพลาร์ ยูนิโพลาร์ และลิมิตยูนิโพลาร์ซึ่งในบทนี้เราจะได้อธิบายรายละเอียดในแต่ละแบบ เราจะได้ศึกษาปัญหาการสูญเสียในแอมพลิไฟตลอดจนปัญหาการรักษาความถี่ในการสวิตช์ให้ถูกต้อง

การทำงานของพัลส์วิดโมดูเลชันแอมพลิไฟเออร์

แอมพลิไฟแบบ PWM สามารถแบ่งได้เป็น 3 ชนิด ตามลักษณะของการทำงานคือ ไบโพลาร์ ยูนิโพลาร์ และลิมิตยูนิโพลาร์ สำหรับแบบไบโพลาร์ซึ่งง่ายที่สุดจะดูแลการทำงานได้ตามรูปที่ 3.11 โดยเราจะกำหนดให้มีความถี่การสวิตช์เป็น f_s t_{on} ที่เกิดขึ้นในส่วนแรกและ t_{off} เกิดในส่วนหลังโดย

$$t_{on} \text{ เมื่อ } 0 \leq t \leq t_1$$

$$t_{off} \text{ เมื่อ } t_1 \leq t \leq T$$



รูปที่ 3.11 พัลส์วิดโมดูเลชันแอมพลิไฟเออร์สำหรับดีซีมอเตอร์

เอกสารนี้เป็นเอกสารที่สงวนไว้สำหรับการใช้งานเพื่อการศึกษาเท่านั้น ไม่อนุญาตให้นำไปใช้ประโยชน์ด้านการค้า ไม่ว่ากรณีใดๆ ทั้งสิ้น อีกทั้งห้ามมิให้ดัดแปลงเนื้อหาและต้องอ้างอิงถึงเจ้าของเอกสารทุกครั้งที่มีการนำไปใช้

ไบโพลาร์ จะมี T_1 และ T_4 นำกระแสระหว่างเฟส on ส่วน T_3 และ T_2 จะนำกระแสขณะเฟส Off จะได้ฟังก์ชันตกคร่อมมอเตอร์เป็น

$$V_m = V_{AB} \begin{cases} V_s 0 \leq t \leq t_1 \\ -V_s t_1 \leq t \leq t_f \end{cases} \dots\dots\dots (3.3)$$

แบบขนิโพลาร์ จะลดจำนวนทรานซิสเตอร์ในการสวิตซ์ลงการสวิตซ์ขึ้นกับ V_{in} เป็นบวกหรือเป็นลบ เมื่อ V_{in} เป็นบวก T_4 จะนำกระแสตลอดคาบ ในขณะที่ T_1 นำกระแสในช่วงเฟส on และ T_2 จะนำกระแสในช่วงเฟส Off เมื่อ V_{in} เป็นลบ T_2 จะนำกระแสตลอด โดยมี T_3 และ T_4 สลับกันทำงาน เมื่อ V_{in} เป็นบวกได้

$$V_{in} = \begin{cases} V_s 0 \leq t \leq t_1 \\ 0 t_1 \leq t \leq t_f \end{cases} \dots\dots\dots (3.4)$$

การแสดงค่า V_{in} ในทางลบจะเหมือนกันเพียงแต่ V_{in} เป็นลบเท่านั้น

จากลักษณะของ 2 แบบดังที่กล่าวมานั้นมีประโยชน์เหมือนกัน ซึ่งในแต่ละกรณีจะมีทรานซิสเตอร์คู่หนึ่ง (T_1, T_2) หรือ (T_3, T_4) จะหยุดนำกระแสที่อีกคู่หนึ่งนำกระแสซึ่งมีเวลาเก็บสะสมและเวลาที่ปล่อยออกของทรานซิสเตอร์เกิดขึ้นและมันอาจเป็นไปได้ที่ทรานซิสเตอร์ทั้งหมดจะนำกระแสในเวลาเดียวกัน ซึ่งจะทำให้เกิดการลัดวงจรของซัพพลาย เราจำเป็นต้องหลีกเลี่ยงภาวะดังกล่าว ซึ่งสามารถทำได้โดยการสร้างช่วง Delay Time ระหว่างการหยุดนำกระแสและนำกระแสของของทรานซิสเตอร์และด้วยเหตุผลดังกล่าว ความถี่ของการสวิตซ์จะถูกจำกัดในวงที่แคบลง

แบบที่ 3 ของการทำงานคือแบบ ลิมิตยูนิโพลาร์จะแสดงให้เห็นคือความจำเป็น ต้องมีช่วง Delay ซึ่งการสวิตซ์ขึ้นกับค่า V_{in} เมื่อ V_{in} เป็นบวก T_4 จะนำกระแสตลอด T_1 จะต้องสวิตซ์เป็น on ในช่วงเฟส on ดังนั้นในช่วงเฟส on ทั้ง T_1 และ T_4 จะ on ยังผลแก่โวลต์เตจของมอเตอร์ V_m คือ

$$V_m = V_s 0 \leq t \leq t_1 \dots\dots\dots (3.5)$$

ระหว่างเฟส Off จะมี T_4 นำกระแสเพียงตัวเดียวเป็นผลให้ V_{in} ขึ้นกับ I_{ab} ตรีบาใดที่ $I_{ab} > 0$ ซึ่งเป็นสภาวะปกติ เมื่อ $V_{ab} > 0$ กระแส I_{ab} จะไหลผ่าน D_2 และ T_4 เป็นผลให้ $V_a = 0$ และ

$$V_m = V_{AB} = 0 \text{ เมื่อ } \begin{cases} t_1 \leq t \leq t_f \\ I_{AB} \geq 0 \end{cases} \dots\dots\dots (3.6)$$

เอกสารนี้เป็นเอกสารที่สงวนไว้สำหรับการใช้งานเพื่อการศึกษาเท่านั้น ไม่อนุญาตให้นำไปใช้ประโยชน์ด้านการค้า ไม่ว่ากรณีใดๆ ทั้งสิ้น อีกทั้งห้ามมิให้ดัดแปลงเนื้อหาและต้องอ้างอิงถึงเจ้าของเอกสารทุกครั้งที่มีการนำไปใช้

ในกรณีที่ I_{ab} เป็นลบ กระแสจะไหลผ่าน D1 และ D4 เป็นผลให้ $V_A = V_S$ และ

$$V_m = V_{AB} = V_S \quad \text{เมื่อ} \quad \begin{cases} t_1 \leq t \leq t_f \\ I_{AB} \leq 0 \end{cases} \quad \dots\dots\dots(3.7)$$

ซึ่งเกิดขึ้นภายหลังเปลี่ยนชั่ว V_{in}

ในที่สุดถ้าเราสามารถทำให้ $I_{AB} = 0$ จะทำให้ ทั้ง D1 และ D2 ไม่นำกระแสและโวลต์เตจ V_{in} จะอยู่ระหว่างค่าศูนย์และ V_S ดังต่อไปนี้

$$0 \leq V_m \leq V_S \quad \text{เมื่อ} \quad \begin{cases} t_1 \leq t \leq t_f \\ I_{AB} = 0 \end{cases} \quad \dots\dots\dots(3.8)$$

อย่างไรก็ตามถ้า I_{AB} มากกว่าศูนย์เป็นสภาวะปกติเมื่อ V_{in} มากกว่า แบบยูนิโพลาร์และแบบลิมิต ยูนิโพลาร์ จะแสดงคุณสมบัติคล้ายกันมาก

3.5 เทคนิคการลิมิตกระแส

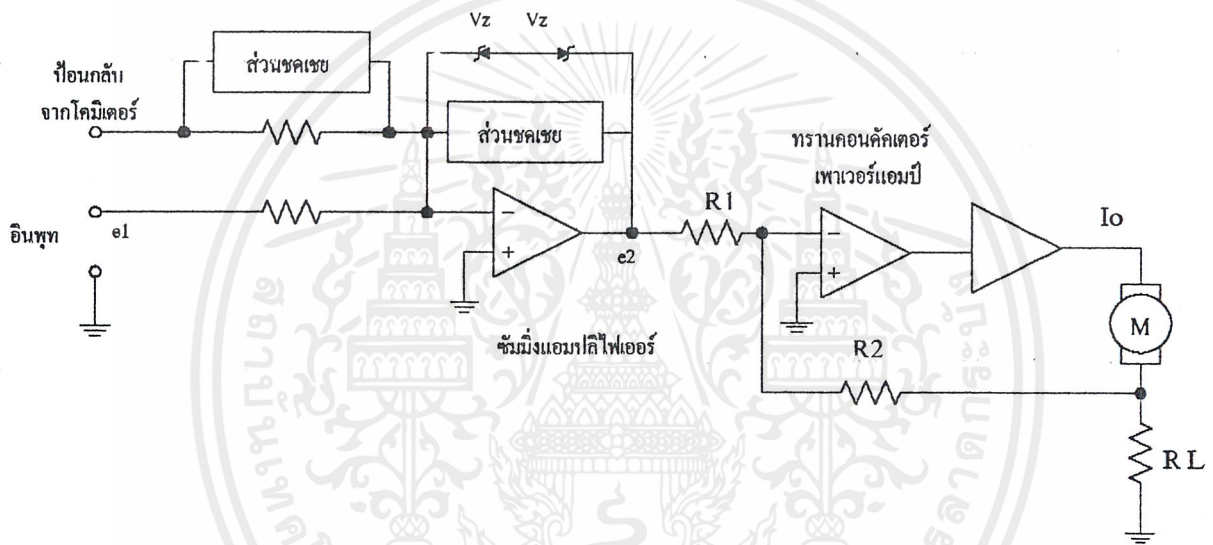
เมื่อตีซิมอเตอร์แบบแม่เหล็กถาวร ได้รับการขับเคลื่อนด้วยเพาเวอร์แอมพลิไฟฟิทรานซิสเตอร์ซึ่งมีการบังคับด้วยตัวลิมิตกระแสที่เชื่อถือได้ ทั้งมอเตอร์และแอมพลิไฟอาจถูกทำให้เสียหายได้โดยภาวะปกติ กระแสที่ไหลเกินขีดจำกัดแม้ในช่วงเวลาอันสั้นตัวลิมิตกระแสโดยทั่วไปควรมีคุณสมบัติดังต่อไปนี้

1. ตัวลิมิตกระแสต้องสามารถรักษาคุณสมบัติการลิมิตได้ราบเรียบแม้ว่าจะเกิดโอเวอร์โวลต์จำนวน มากก็ตาม
2. ตัวลิมิตต้องมีผลตอบสนองที่รวดเร็วพอที่จะป้องกันกระแสโอเวอร์ชูทเมื่อมอเตอร์ลัดวงจรเร็ว ความเร็วลงจากความเร็วสูง
3. ตัวลิมิตควรอยู่ในลักษณะปิดรูปเพื่อป้องกันเออร์เรอร์โวลต์เตจที่ได้จากซั่มมิงแอมพลิไฟสูงเกินไป เมื่อระดับกระแสถูกจำกัด
4. ในทางทฤษฎีตัวลิมิตกระแสควรอยู่ใกล้เอาท์พุททรานซิสเตอร์มากที่สุด

คุณสมบัติอื่นๆเช่น ความสามารถในการปรับแต่ง ลิมิตกระแสได้สองภาคหรือการลิมิตกระแสย้อนกลับ ซึ่งอาจจำเป็นในการประยุกต์ใช้งานบางอย่าง เมื่อต้องการให้คุณสมบัติการลิมิตกระแสในระบบ อาจจำเป็นต้องมีการประนีประนอม

เพาเวอร์แอมป์ไฟแบบ ทรานส์คอนคัคเต้นซ์ เป็นแอมป์ไฟที่มีกระแสเอาท์พุทเป็นสัดส่วนกับ อินพุทโวลต์เตจ และเรามักนิยมนำมาใช้สำหรับเหตุผล 2 ข้อต่อไปนี้

1. เพราะว่าโวลต์เตจขั้วอินพุทถูกกค และแอมป์ไฟอยู่ในฟอร์มปิดลูปของตัวลิมิตกระแส
2. เราจะป้อนโวลต์เตจที่อินพุทของแอมป์ไฟเท่านั้นเพื่อให้ได้กระแสตามที่ต้องการ เนื่องจากขั้วมิ่งแอมป์ไฟจะไปขั้วเพาเวอร์แอมป์อีกทีหนึ่ง การกคขนาดของโวลต์เตจคร่อมจุดป้อนกลับของขั้วมิ่งแอมป์ไฟจะเป็นการลิมิตค่าเอาท์พุทโวลต์เตจของตัวมันเองดังนั้นเราจะได้ค่ากระแสของมอเตอร์ตามต้องการดังในรูปที่ 3.12



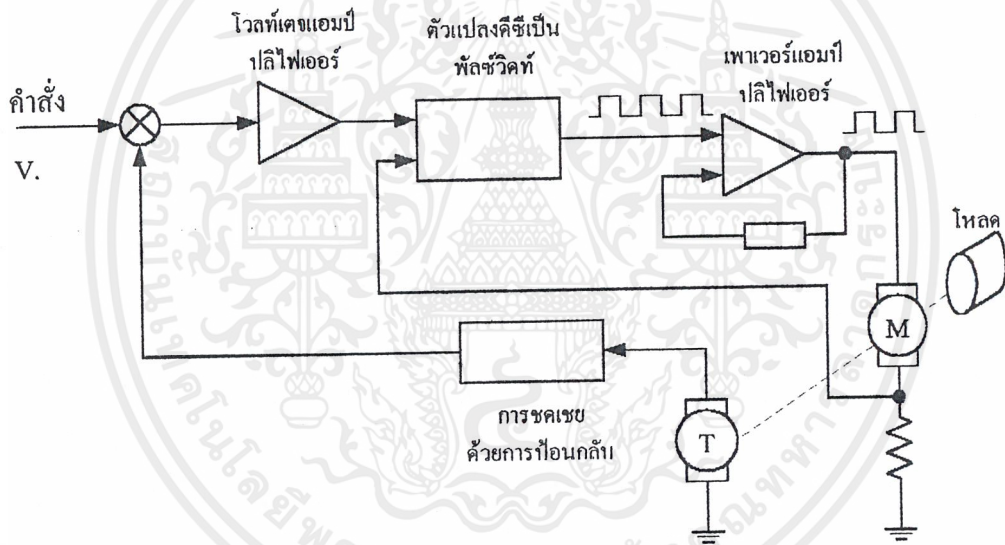
รูปที่ 3.12 ตัวลิมิตกระแสของเพาเวอร์แอมป์ไฟแบบทรานส์คอนคัคเต้นซ์

เอกสารนี้เป็นเอกสารที่สงวนไว้สำหรับการใช้งานเพื่อการศึกษาเท่านั้น ไม่อนุญาตให้นำไปใช้ประโยชน์ด้านการค้า ไม่ว่าจะกรณีใดๆ ทั้งสิ้น อีกทั้งห้ามมิให้ดัดแปลงเนื้อหาและต้องอ้างอิงถึงเจ้าของเอกสารทุกครั้งที่มีการนำไปใช้

3.6 ระบบคอนโทรลความเร็วที่ใช้พัลส์วิดท์โมดูเลชันแอมพลิไฟเออร์

PWM สวิตชิ่งแอมพลิไฟเออร์ที่ทำงานด้วยทรานซิสเตอร์จะใช้ในระบบคอนโทรลที่มีประสิทธิภาพสูง ระบบคอนโทรลความเร็วที่มีเพาเวอร์สูงๆ และในระบบเซอร์โว

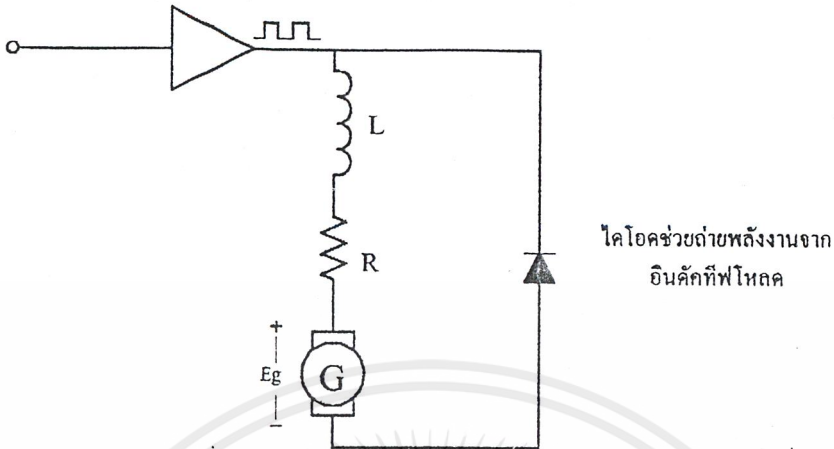
บล็อกไดอะแกรมของระบบคอนโทรลความเร็วแบบ PWM แสดงดังรูปที่ 3.13 เรามักจะใช้ ความถี่ของพัลส์ในระบบ PWM ที่มีค่าสูงกว่า 1 KHz และความถี่นี้จะขึ้นอยู่กับความต้องการของการตอบสนองของระบบต่อแบนด์วิดท์ อินดักเต็นซ์ของมอเตอร์และคุณสมบัติการสูญเสียเพาเวอร์ในตัวมอเตอร์ที่ ความถี่สูง ในเวลาเดียวกันเราจะต้องคำนึงถึง audio noise ที่เกิดจาก ขดลวด ฮีตซิงค์ และส่วนประกอบ ของโครงสร้างมอเตอร์มันจะดังออกมาเป็นเสียงรบกวนและในการประยุกต์ใช้งานของระบบ PWM นี้เราสามารถเพิ่มความถี่ของพัลส์ให้สูงขึ้นถึงจุดที่เสียงของ noise นั้น หูคนไม่สามารถยินเสียงนี้ได้



รูปที่ 3.13 บล็อกไดอะแกรมของระบบคอนโทรลความเร็วแบบ PWM

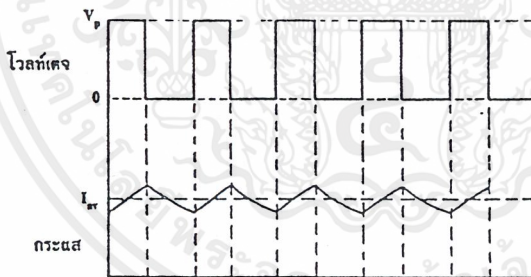
เอกสารนี้เป็นเอกสารที่สงวนไว้สำหรับการใช้งานเพื่อการศึกษาเท่านั้น ไม่อนุญาตให้นำไปใช้ประโยชน์ด้านการค้า ไม่ว่ากรณีใดๆ ทั้งสิ้น อีกทั้งห้ามมิให้ดัดแปลงเนื้อหาและต้องอ้างอิงถึงเจ้าของเอกสารทุกครั้งที่มีการนำไปใช้

ในการพิจารณาคูสมบัติของโวลต์เตจและกระแสของระบบ PWM ชั้นแรกเราพิจารณาถึงมอเตอร์ในอุดมคติและคุณลักษณะของมอเตอร์ในระบบ PWM วงจรสมมูลย์ของมอเตอร์แสดงได้ในรูปที่ 3.14



รูปที่ 3.14 วงจรสมมูลย์ของดีซีมอเตอร์ในระบบคอนโทรลแบบ PWM

ถูกคลื่นของกระแสที่ไหลในมอเตอร์ในระหว่างสวิตซ์ซึ่งโหมค ไม่ได้ขึ้นอยู่กับเพียงสวิตซ์ซึ่งเรทเท่านั้นแต่ยังขึ้นอยู่กับความเร็วของมอเตอร์ ผลรวมของอินดักเต้นซ์ ความยาวของมอเตอร์ และระดับของกระแสในไซเคลสุดท้าย



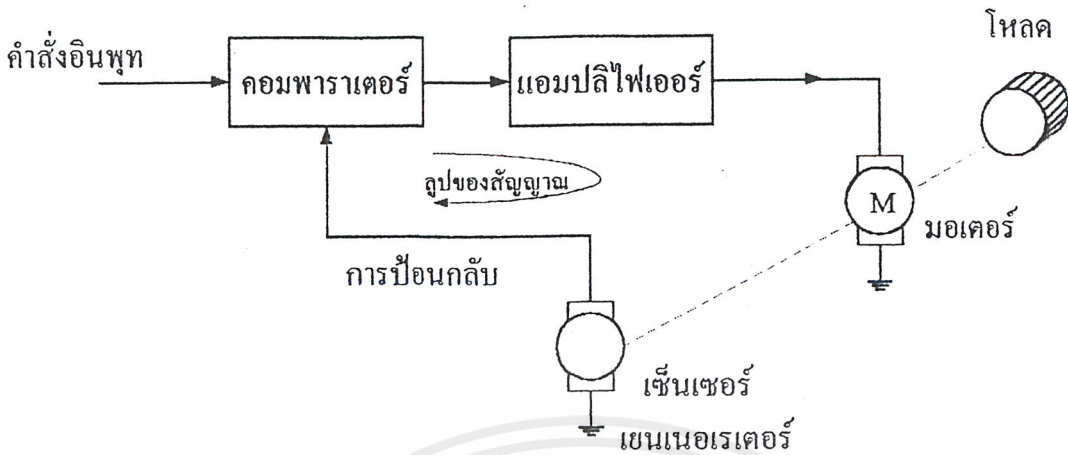
รูปที่ 3.15 แสดงความสัมพันธ์ระหว่างกระแสและโวลต์เตจในระบบคอนโทรลแบบ PWM

3.7 ระบบคอนโทรลความเร็วมอเตอร์แบบปัลลูป

ระบบการคอนโทรลความเร็วของดีซีมอเตอร์แบบปัลลูปดังแสดงในรูปที่ 3.16 แบ่งออกได้เป็น 2 แบบคือ

1. การคอนโทรลความเร็วแบบเร็คทูลเลเตอร์
2. การคอนโทรลความเร็วแบบเซอร์โว

เอกสารนี้เป็นเอกสารที่สงวนไว้สำหรับการใช้งานเพื่อการศึกษาเท่านั้น ไม่อนุญาตให้นำไปใช้ประโยชน์ด้านการค้า ไม่ว่ากรณีใดๆ ทั้งสิ้น อีกทั้งห้ามมิให้ดัดแปลงเนื้อหาและต้องอ้างอิงถึงเจ้าของเอกสารทุกครั้งที่มีการนำไปใช้

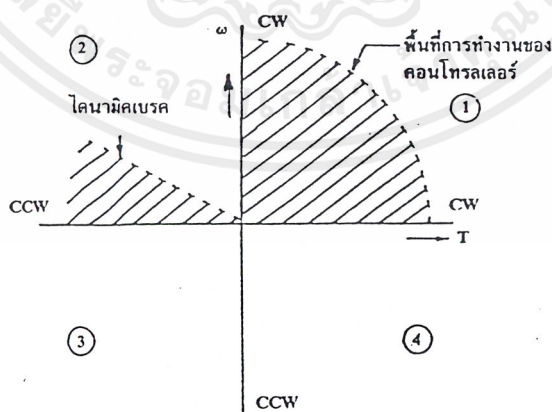


รูปที่ 3.16 ระบบควบคุมความเร็วมอเตอร์แบบปิดลูป

ระบบการคอนโทรลความเร็วแบบเรกติเลเตอร์

จะเป็นการบังคับความเร็วเพียงทิศทางเดียว โดยทำงานในควอเตอร์แรกเท่านั้นดังแสดงในรูปที่ 3.17 ระบบไม่สามารถจะให้แรงบิดของดีซีมอเตอร์ที่มีค่าเป็นลบ และไม่สามารถกลับทิศทางของความเร็วได้

ระบบการคอนโทรลความเร็วแบบทิศทางเดียวนี้เราสามารถจะเพิ่มไดนามิคเบรก (dynamic brake) เข้าไปในระบบได้ทำให้เราสามารถจำกัดแรงบิดลบของมอเตอร์ในควอเตอร์ที่สองได้ แต่เนื่องจากการบังคับในควอเตอร์ที่สองนี้อยู่ในพื้นที่การควบคุมให้มอเตอร์หยุดหมุน ดังนั้นเราถือได้ว่าการควบคุมความเร็วแบบเรกติเลเตอร์เป็นการคอนโทรลแบบควอเตอร์ที่เดียว

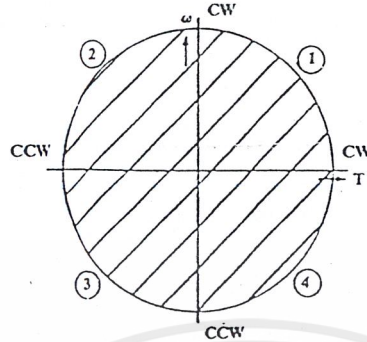


รูปที่ 3.17 ไคอะแกรมแสดงการทำงานเพียงควอเตอร์แรกๆของระบบควบคุมความเร็วแบบทิศทางเดียว

เอกสารนี้เป็นเอกสารที่สงวนไว้สำหรับการใช้งานเพื่อการศึกษาเท่านั้น ไม่อนุญาตให้นำไปใช้ประโยชน์ด้านการค้า ไม่ว่าจะกรณีใดๆ ทั้งสิ้น อีกทั้งห้ามมิให้ดัดแปลงเนื้อหาและต้องอ้างอิงถึงเจ้าของเอกสารทุกครั้งที่มีการนำไปใช้

ระบบการคอนโทรลความเร็วแบบเซอร์โว

จะเป็นการบังคับความเร็วได้สองทิศทาง นอกจากนั้นระบบนี้ยังสามารถให้ความเร็วและแรงบิดของมอเตอร์ได้ทั้งทางลบและทางบวก ดังแสดงในรูปที่ 3.18 ซึ่งแสดงพื้นที่การคอนโทรลแลตเซอร์โวคือสามารถทำงานได้ทั้งแบบสองทิศทางหรือเป็นการคอนโทรลได้ 4 ควอดแดรนต์

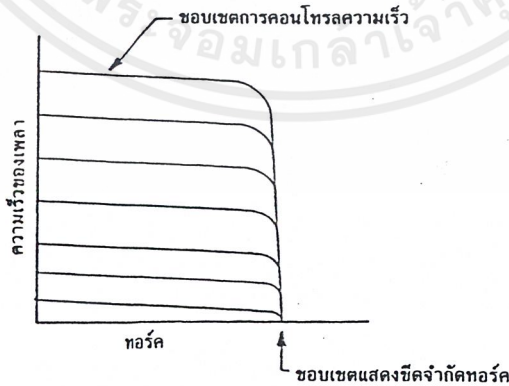


การทำงานของคอนโทรลเลอร์
อยู่ในพื้นที่แรงทั้งหมด

รูปที่ 3.18 โคออร์เดตแสดงการทำงานได้ถึง 4ควอดแดรนต์ของระบบควบคุมความเร็วแบบเซอร์โว

3.8 ชีดจำกัดแรงบิด (ทอร์ค) ของมอเตอร์

การป้องกันไม่ให้เกิด โอเวอร์ โหลดเกิดขึ้นภายในระบบเราจะต้องมีตัวรับรู้กระแสซึ่งจะทำให้วงจรขยายหยุดทำงานที่ระดับกระแสที่ต้องการ เนื่องจากแรงบิดของมอเตอร์เป็นสัดส่วนกับกระแสในคิซี มอเตอร์แบบแม่เหล็กถาวร ตัวจำกัดกระแสจะเป็นฉิ่งการจำกัดแรงบิด (torque limiter) นั้นเอง คุณสมบัติระหว่างแรงบิด-ความเร็วของมอเตอร์ แสดงให้เห็นถึงความแตกต่างของขอบเขตการคอนโทรลสองขอบเขต ขอบเขตการคอนโทรลความเร็วและขอบเขตการคอนโทรลแรงบิดของมอเตอร์ รูปที่ 3.19 แสดงถึงคุณสมบัติของระบบการคอนโทรลความเร็วที่สามารถปรับได้และมีการจำกัดกระแส ถ้าระบบเป็นแบบที่มีแรงบิดของมอเตอร์เกือบคงที่ เมื่อกระแสไหลเกินกว่าขีดจำกัดที่ได้ตั้งไว้ และในทันทีทันใดนั้น โอเวอร์ โหลด ก็จะถูกแก้ไขระบบก็จะกลับคืนเข้าสู่ความเร็วทำได้ตั้งไว้



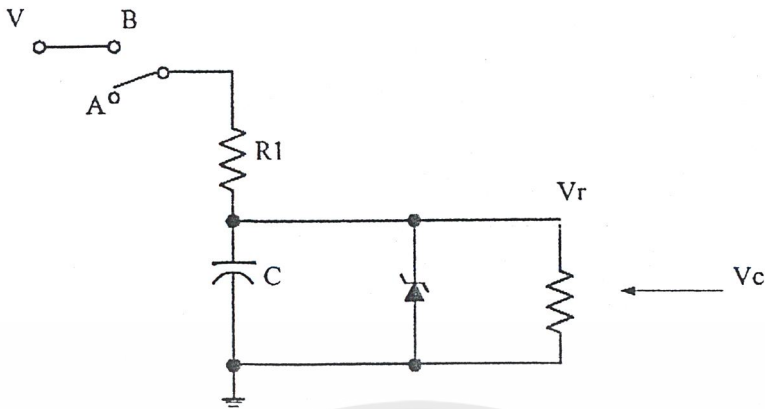
รูปที่ 3.19 แสดงถึงเส้น โค้งความเร็ว-แรงบิดของมอเตอร์ของระบบการบังคับความเร็วที่มีอัตราขยายสูงและมีขีดจำกัดแรงบิดด้วย

ในบางกรณีความจำเป็นอย่างยิ่งที่จะต้องให้การเพิ่มแรงบิดสูงกว่าขีดจำกัดเป็นเวลาบ่อยครั้งจึงจำเป็นต้องป้องกันระบบไม่ให้เกิดโอเวอร์โหลระบบการป้องกันโอเวอร์โหลที่กระทำได้โดยกำหนดไทม์ดีเลย์ที่เป็นฟังก์ชันตัวจำกัดแรงบิดของมอเตอร์ ไทม์ดีเลย์โดยทั่วไปมีค่าประมาณ 150×10^{-3} วินาที สำหรับมอเตอร์ที่มีอาร์มาเจอร์เป็นแกนเหล็ก และมีค่าลดลง สำหรับมอเตอร์ที่มีความเฉื่อยต่ำ ในช่วงเวลาดีเลย์ไทม์ดังกล่าวมอเตอร์จะเพิ่มอัตราเร่งอย่างรวดเร็วด้วยกระแสที่เพิ่มขึ้นอย่างไม่จำกัด และต่อจากนั้นกระแสก็ถูกจำกัดจากมอเตอร์ได้เพิ่มอัตราเร่งสูงสุดไปแล้ว ผู้ที่ใช้ระบบคอนโทรลความเร็วอาจพบว่าการจำกัดกระแสมีประโยชน์เมื่อต้องการเพิ่มอัตราเร่งให้กับผลที่มีความเฉื่อยสูง วงจรลิมิตกระแสในกรณีนี้จะคอนโทรลการเพิ่มอัตราเร่งจนถึงความเร็วที่ต้องการ โดยที่วงจรคอนโทรลหรือมอเตอร์ไม่ได้รับอันตราย

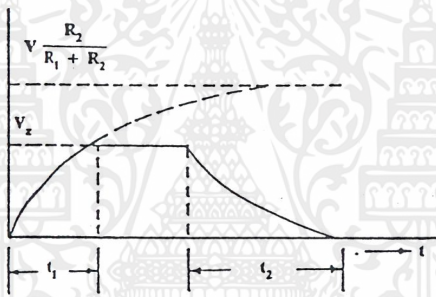
3.9 ระบบคอนโทรลอัตราเร่งและการลดความเร็ว

ขณะที่วงจรจำกัดแรงบิดของมอเตอร์อยู่ที่ค่าๆหนึ่งสามารถคอนโทรลคุณสมบัติอัตราเร่งและการลดความเร็วของระบบการคอนโทรลความเร็วของมอเตอร์ได้ ซึ่งหมายความว่าระบบจะมีความไวต่อการเปลี่ยนแปลงทั้งแรงบิดโหลและแรงเสียดทาน ในกรณีที่เราต้องการให้มีอัตราเร่งหรือลดความเร็วภายใต้การคอนโทรลความเร็วเราสามารถกระทำได้อีกหลายวิธี

วงจร RC ง่ายๆ ของรูปที่ 3.19 สามารถคอนโทรลอัตราเร่งได้ ชั้นแรกสมมุติว่าสวิทช์เริ่มต้นอยู่ที่ตำแหน่ง A ดังนั้นโวลต์เดจบังคิบ V_c เป็นศูนย์ ดังนั้นการคอนโทรลความเร็วของมอเตอร์ก็อยู่ในภาวะหยุดหมุน ด้วยการตั้งสวิทช์ไปที่ตำแหน่ง B คาปาซิเตอร์ C จะประจุผ่านทางตัวแบ่งโวลต์เดจ R_1 และ R_2 โวลต์ V_r จะค่อยๆ เพิ่มขึ้นในรูปของเอ็กโปเนนเชียล(รูปที่ 3.20) จนกระทั่งมีค่าเท่ากับ V_z และที่จุดนี้โวลต์เดจอ้างอิง V_r จะมีเสถียรภาพ ขณะที่สวิทช์กลับมาอยู่ที่ตำแหน่ง A โวลต์เดจจะลดลงในลักษณะเป็นส่วนกลับของเอ็กโปเนนเชียล เราจะสังเกตได้ว่าขณะที่ระบบคอนโทรลความเร็วของมอเตอร์เป็นไปตามเส้นโค้งของอัตราเร่ง และระบบการคอนโทรลจะยังไม่เข้าสู่เส้นโค้งการลดความเร็วลงจนกว่าภาวะโหลและความสามารถของไดนามิเบรคจะยอมให้ ถ้าหากมันเป็นไปตามกรณีดังกล่าวเราจะต้องใช้ระบบการคอนโทรลแบบสองทิศทาง ซึ่งสามารถตามเร่งความเร็วได้อย่างต่อเนื่อง



รูปที่ 3.20 วงจรคอนโทรลอัตราเร่ง (แรมพ์) แบบง่าย ๆ

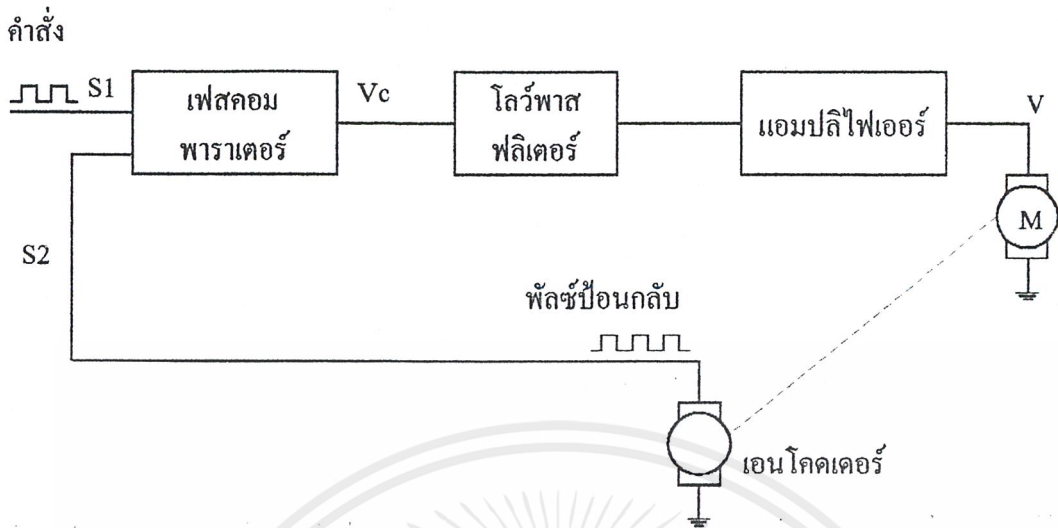


รูปที่ 3.21 แสดงคุณสมบัติของการ turn-on และ turn-off ของวงจร RC ในรูปที่ 3.19

3.10 ระบบการควบคุมความเร็วของมอเตอร์ด้วยเฟสตัดคลุม

เนื่องด้วยในปัจจุบันความต้องการระบบควบคุมความเร็วที่มีความเที่ยงตรงสูงมีเพิ่มมากขึ้น และประกอบกับวงจรรวมไอซีของวงจรต่างๆ ก็แพร่หลายมากขึ้นด้วย ดังนั้นระบบการควบคุมความเร็วของมอเตอร์ด้วยเฟสตัดคลุมจึงกลายเป็นระบบที่ได้รับความนิยมมากเพราะว่ามันให้คุณสมบัติการเร็วคุณูเทศความเร็วดีเป็นเลิศ และการเปลี่ยนแปลงของพารามิเตอร์มีผลกระทบต่อการทำงานของระบบน้อยมาก

ระบบการควบคุมความเร็วของมอเตอร์ด้วยเฟสตัดคลุมและส่วนประกอบของระบบแสดงดัง ในรูปที่ 3.22 เมื่อระบบอยู่ที่ ภาวะเฟสตัด ความถี่ของสัญญาณบังคับและสัญญาณป้อนกลับจะมีค่าเท่ากัน และถ้าความถี่ของสัญญาณคำสั่งมีค่าคงที่ ระบบจะมีความเร็วของมอเตอร์คงที่ด้วย



รูปที่ 3.22 ระบบการคอนโทรลความเร็วของมอเตอร์ด้วยเฟสดีคูลฟ

ทราบที่ระบบยังคงภาวะเฟสดีคูลอยู่ความเร็วของมอเตอร์จะเป็นไปตามความถี่ของสัญญาณบังคับ และเป็นอิสระต่อการเปลี่ยนแปลงของพารามิเตอร์ในตัวมอเตอร์และแอมพลิไฟเออร์ สมบัติดังกล่าวเป็นผลรับรองถึงการเรีตุเลทซ์ความเร็วของมอเตอร์ซึ่งจะดีเลิศเท่ากับความมีเสถียรภาพของความถี่ของสัญญาณบังคับ

ข้อสังเกตแม้ว่า ระบบเฟสดีคูลฟจะใช้เพื่อการบังคับความเร็วของมอเตอร์ที่แท้จริงระบบดังกล่าวเป็นระบบการบังคับตำแหน่งที่ผลการบังคับตำแหน่งเป็นไปอย่างต่อเนื่องจึงยังผลให้เกิดเป็นการบังคับความเร็วนั่นเอง

3.10.1 ส่วนประกอบของระบบเฟสดีคูลฟเซอร์โว

ระบบการบังคับความเร็วของมอเตอร์แบบเฟสดีคูลฟมีส่วนประกอบในระบบดังนี้

1. เฟสคอมพาราเตอร์
2. ไดโอดบริดจ์
3. แอมพลิไฟ
4. มอเตอร์
5. เอนโคเดอร์

การทำงานของส่วนประกอบเหล่านี้จะได้อธิบายต่อไปนี้
เฟสคอมพาราเตอร์

จุดมุ่งหมายของเฟสคอมพาราเตอร์คือเพื่อดีเท็คความต่างเฟสระหว่างสัญญาณบั้งคับและสัญญาณป้อนกลับและผลิตสัญญาณเออร์เรอร์ที่เป็นสัดส่วนกับความต่างเฟสของสัญญาณทั้งสองกล่าวคือ เฟสคอมพาราเตอร์บางแบบได้รับการออกแบบเพื่อดีเท็คความแตกต่างของความถี่ได้เท่ากับความต่างเฟสระหว่างสัญญาณบั้งคับและสัญญาณป้อนกลับและเอาท์พุท โวลท์เตจที่เป็นฟังก์ชันกับเฟสเออร์เรอร์และควิแควนซีเออร์เรอร์ ดีเท็คดังกล่าวมักจะเรียกว่าเฟส-ควิแควนซีคอมพาราเตอร์

โพลาสฟิลเตอร์

โพลาสฟิลเตอร์ใช้สำหรับกรองทอมที่มีความถี่สูงของเอาท์พุทคอมพาราเตอร์ฟิลเตอร์แบบมีโพลเพียงตัวเดียว อาจจะพอเพียงสำหรับการลดทอนสัญญาณความถี่สูง แต่การเลือกชนิดของฟิลเตอร์ขั้นสุดท้ายจะกระทำได้นบนพื้นฐานการออกแบบลูฟ ทรานสเฟอร์ฟังก์ชันของฟิลเตอร์กำหนดโดย $F(s)$

แอมพลิไฟ

แอมพลิไฟใช้สำหรับเพิ่มระดับกำลังของสัญญาณเออร์เรอร์เพื่อใช้สำหรับขับมอเตอร์ทรานส์เฟอร์ฟังก์ชันของแอมพลิไฟ $H(s)$ อาจถูกเลือกได้หลายลักษณะถ้าต้องการเพิ่มการชดเชยในลูฟ

มอเตอร์

เป็นส่วนของวงจรที่เราต้องการควบคุมความเร็ว โดยเรากำหนดทรานสเฟอร์ฟังก์ชันเป็น $G(S) = K_m/(1+sT_m)$ เมื่อ K_m ตัวคงที่ของมอเตอร์และ T_m เป็น time constant

เอนโคเดอร์

เอนโคเดอร์ หรือออฟติคอลทาโคมิเตอร์เป็นอุปกรณ์อนอลิเนียร์ซึ่งจะกำเนิดพัลส์ถูกคลื่นไซน์ n พัลส์ต่อการหมุนของเพลของมิเตอร์หนึ่งรอบ

3.10.2 คุณสมบัติพิเศษของระบบการควบคุมความเร็วด้วยเฟสล็อกคูล

ความเร็วที่ได้และพิสัยการล็อก

เพื่อให้ระบบที่ได้คงสภาพการล็อกไว้ได้ ลูฟจะต้องสอดคล้องกับภาวะดังต่อไปนี้

1. ระบบต้องมีเสถียรภาพ
2. ความถี่ของสัญญาณเออร์เรอร์ที่ได้ V_c ควรต้องอยู่ในแบนด์ของระบบตรงเท่าที่ระบบยังคงสอดคล้องกับภาวะและคงสภาพการล็อกอยู่ไคทั้งสองไว้ได้ ระบบยังสามารถที่จะแก้เฟสเออร์เรอร์ให้ถูกต้องได้

เอกสารนี้เป็นเอกสารที่สงวนไว้สำหรับการใช้งานเพื่อการศึกษาเท่านั้น ไม่อนุญาตให้นำไปใช้ประโยชน์ด้านการค้าไม่ว่ากรณีใดๆ ทั้งสิ้น อีกทั้งห้ามมิให้ดัดแปลงเนื้อหาและต้องอ้างอิงถึงเจ้าของเอกสารทุกครั้งที่มีการนำไปใช้

ความถี่ของสัญญาณเออร์เรอร์เป็นสัดส่วนกับความแตกต่างระหว่างความเร็วของมอเตอร์และความเร็วที่ต้องการ ความแตกต่างทั้งสองจะมีค่ามากในช่วงภาวะการเริ่มต้นหมุนของมอเตอร์จากภาวะหยุดนิ่ง หรือเนื่องจากการรบกวนที่มีต่อความเร็วของมอเตอร์อย่างมากมาย

พิสัยของการลื่น

เพื่อที่จะอธิบายภาวะการหลุดออกไปจากการลื่นนี้เราจะพิจารณาถึงระบบควบคุมความเร็วของมอเตอร์ด้วยเทคนิคเฟสล็อกซึ่งมีเสถียรภาพ เมื่อความหนาแน่นของจำนวนพัลส์ต่อรอบเอนโคเดอร์ $n = 1000$ กำหนดให้ความถี่ของสัญญาณอินพุท $f_1 = 20 \text{ KHz}$ และสมมุติว่าแบนด์วิธของระบบเท่ากับ 500 KHz ระบบจะคงสภาพการลื่นอยู่ได้ครบเท่าที่ความถี่ของสัญญาณป้อนกลับอยู่ระหว่าง 19500 และ 20500 ด้วยเอนโคเดอร์ที่มี $n = 1000$ ดังกล่าวจะทำให้ความเร็วของมอเตอร์อยู่ในพิสัย $19.5 - 20.5 \text{ rad/sec}$ หรือ $1170 - 1230 \text{ rpm}$

สรุปได้ว่าครบเท่าที่ความเร็วของมอเตอร์อยู่ในพิสัย ของ $1200 \pm 30 \text{ rpm}$ การลื่นก็คงสภาพอยู่ได้แน่นอน ถ้าความเร็วของมอเตอร์เปลี่ยนแปลงไปนอกเหนือจากลิมิตดังกล่าวจะยังผลให้ระบบนั้นไปจากภาวะลื่น หรือพูดได้ว่า พิสัยของการลื่นขึ้นอยู่กับแบนด์วิธของระบบ

เพื่อเป็นการรับรองผลความเร็วที่ได้และการป้องกันไม่ให้ระบบหลุดไปจากภาวะลื่นเราสามารถใส่เฟส-ควิเวนซ์คอมพาราเตอร์ซึ่งมันจะให้สัญญาณ velocity error เพื่อเร่งอัตราความเร็วของมอเตอร์ จนสามารถลื่นกับสัญญาณบังคับอินพุทได้ด้วยเฟส-ควิเวนซ์คอมพาราเตอร์นี้สามารถทำให้มอเตอร์มีความเร็วตามที่ต้องการได้ อย่างไรก็ตามพิสัยของการที่ได้มาซึ่งความเร็วที่ต้องการ (acquitoin range) จะถูกจำกัด

พิสัยในการหยุดความเร็วที่ต้องการ

มอเตอร์กับเอนโคเดอร์ที่มีความหนาแน่นของพัลส์ต่อรอบ $n = 1000$ ซึ่งต้องการให้หมุนอยู่ที่ความเร็ว 2400 rpm ในทิศทางตามเข็มนาฬิกา เราใช้ระบบเฟส-ล็อกที่มีเสถียรซึ่งสัญญาณเออร์เรอร์ที่เป็นบวกจะเร่งอัตราความเร็วของมอเตอร์ไปในทิศทางตามเข็มนาฬิกา ความถี่ของสัญญาณอินพุท $f_1 = 40000 \text{ Hz}$

ความถี่ของสัญญาณป้อนกลับ f_0 จะเป็นสัดส่วนกับความเร็วของมอเตอร์นอกจากนั้นเราจะสังเกตได้ว่า velocity error ของควิเวนซ์คอมพาราเตอร์จะเป็นสัดส่วนกับ $(f_1 - f_0)$

ต่อไปเราพิจารณาถึงความเร็วเริ่มต้นที่ค่าต่างๆ และผลตอบสนองของระบบ

ก) เมื่อความเร็วเริ่มต้นของมอเตอร์สูงกว่า 2400 rpm ในทิศทางตามเข็มนาฬิกา ดังนั้นสัญญาณเออร์เรอร์จะเป็นลบและมอเตอร์จะลดอัตราความเร็วลงจนกระทั่งได้ความเร็วที่ต้องการ

ข) เมื่อความเร็วเริ่มต้นอยู่ต่ำกว่า 2400 rpm ในทิศทางเดิม ในภาวะนี้สัญญาณเออร์เรอร์เป็นบวกและมอเตอร์ก็จะเร่งอัตราความเร็วในทิศทางตามเข็มนาฬิกาไปยังความเร็วที่ต้องการ

เอกสารนี้เป็นเอกสารที่สงวนไว้สำหรับการใช้งานเพื่อการศึกษาเท่านั้น ไม่อนุญาตให้นำไปใช้ประโยชน์ด้านการค้า ไม่ว่าจะกรณีใดๆ ทั้งสิ้น อีกทั้งห้ามมิให้ดัดแปลงเนื้อหาและต้องอ้างอิงถึงเจ้าของเอกสารทุกครั้งที่มีการนำไปใช้

ค) เมื่อความเร็วเริ่มต้นอยู่สูงกว่า 2400 rpm ในทิศทางทวนเข็มนาฬิกาและในสถานะนี้สัญญาณเออร์เรอร์มีค่าลบซึ่งจะเร่งอัตราความเร็วของมอเตอร์เพิ่มขึ้นอีกในทิศทางทวนเข็มนาฬิกาจนกว่าแอมพลิไฟจะอิ่มตัว ภายในสถานะนี้การยึดความเร็วที่ต้องการไม่สามารถเกิดขึ้นได้

สรุปได้ว่า เฟส-ควิแควนซ์คอมพาราเตอร์จะเร่งอัตราความเร็วของมอเตอร์เข้าสู่ความเร็วที่ต้องการ ω_d ได้ ถ้าความเร็วที่ภาวะเริ่มต้น ω_m มีค่า

$$\omega_m - \omega_d \dots\dots\dots(3.9)$$

ส่วนในสถานะอื่นๆ มอเตอร์จะสามารถวิ่งห่างไกลออกไปในทิศทางตรงกันข้าม

ในการแก้ปัญหาี้สามารถกระทำได้หลายวิธี และวิธีที่ง่ายที่สุดอันหนึ่งก็คือใช้ยูนิโคเร็กซ์เนลแอมพลิไฟเมื่อไม่ได้อยู่ในข้อจำกัดของระบบ

การแปรไปของความเร็ว

ระบบเฟสล็อกใช้เป็นหลักสำหรับการบังคับความเร็วเพราะว่ามันสามารถให้การเรีคกูเลชันและความเที่ยงตรงของความเร็วได้อย่างดีเลิศ ดังนั้นการตรวจสอบถึงแหล่งที่ทำให้เกิดความผิดพลาดของความเร็วจึงมีความสำคัญยิ่งเพื่อจะได้พิจารณาถึงวิธีการลดความผิดพลาดของความเร็วที่เกิดขึ้นนั้น แหล่งที่ทำให้เกิดการรบกวนต่อความเร็วโดยทั่วไปมีดังต่อไปนี้

1. การเปลี่ยนแปลงของความถี่อินพุท

เนื่องด้วยความถี่ของสัญญาณบังคับมักจะแปรไปตามอุณหภูมิ ผลตอบสนองของระบบจะเป็นไปตามความถี่บังคับและทำให้ความเร็วผิดพลาดไปจากที่ต้องการ จึงเป็นที่แจ่มชัดว่าการเรีคกูเลชันความเร็วของระบบจะไม่ได้ไปกว่าเรีคกูเลชันของสัญญาณบังคับ ดังนั้นเพื่อให้ได้การเรีคกูเลชันที่ดีเราต้องใช้ออกซิเลเตอร์ที่มีเสถียรภาพเป็นเยี่ยม

2. การแปรค่าไปของโหลด

การแปรค่าไปของแรงบิดโหลด T_L จะทำให้เกิดการรบกวนต่อความเร็วของมอเตอร์การเปลี่ยนแปลงดังกล่าวจะทำให้มีค่าค่าสาคูโคโดยการเพิ่ม อัตราลูป และแบนด์วิดท์ อีกวิธีหนึ่งซึ่งเลือกใช้ได้สำหรับลดการรบกวนต่อความเร็วของมอเตอร์โดยเพิ่มคุณภาพความเฉื่อยของโหลดให้กับระบบซึ่งจะไปลดผลการเปลี่ยนแปลงของโหลด

3. การรบกวนที่มีต่อแรงบิดของมอเตอร์

แรงบิดซึ่งเกิดขึ้นในมอเตอร์ในช่วงเวลาที่มอเตอร์หมุนจะมีค่าไม่คงที่ แต่มันจะแปรไปตำแหน่งของมุม แรงบิดที่เป็นระลอกคลื่นเป็นเสมือนการรบกวนที่มีต่อโหลดและยังผลให้ความเร็วของมอเตอร์เปลี่ยนแปลง เพื่อที่จะลดผลดังกล่าวให้มีค่าน้อยที่สุดโดยเลือกใช้มอเตอร์ ที่ให้แรงบิดราบเรียบ นอกจากนี้ก็ต้องเพิ่มอัตราขยายของลูปหรือใช้โหลดที่มีความเฉื่อยเพิ่มขึ้น

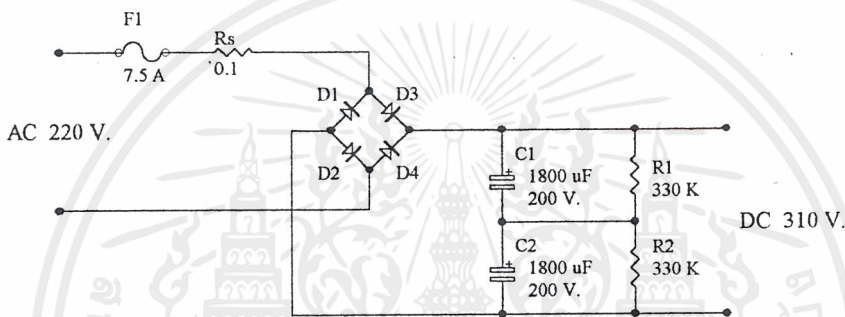
4. ความผิดพลาดที่เกิดขึ้นในแอนโคดเดอร์

บทที่ 4

การออกแบบแหล่งจ่ายไฟสวิทชิงสำหรับ DC มอเตอร์

4.1 วงจรส่วนอินพุท

วงจรในส่วนอินพุทมีหน้าที่แปลงไฟสลับให้เป็นไฟตรง แรงดันไฟสลับที่เข้ามา 220V ผ่าน Fuse มี R_s เป็นตัวต้านทานจำกัดกระแสกระชากที่เกิดขึ้นในวงจร และมีตัวฟิลเตอร์เพื่อลดสัญญาณรบกวน RFI ไดโอดจะเปลี่ยนไฟสลับให้เป็นแรงดันไฟตรง เข้าตัวเก็บประจุเพื่อกรองแรงดันไฟตรงให้มีค่าเรียบมากขึ้น โดยวงจรทดลองดังรูป



รูปที่ 4.1 วงจรในส่วนอินพุท

กำหนดประสิทธิภาพ η ของ Power supply เป็น 70 % ในการคำนวณกำหนดให้ I_o เท่ากับ 20 A. เพื่อให้วงจรใช้งานจริงสามารถขับกระแสได้ 15 A.จริงๆ

$$\text{กระแสประสิทธิภาพ} \quad I_{e(RMS)} = \frac{P_{IN}}{V_{IN(RMS)}} ; \quad P_{IN} = \frac{P_{OUT}}{\eta} \quad \dots\dots\dots (4.1)$$

$$I_{e(RMS)} = \frac{P_{OUT}}{\eta V_{IN(RMS)}} \quad \dots\dots\dots (4.2)$$

$$= \frac{36 \times 20}{0.7 \times 220}$$

$$= 4.675 \text{ A}$$

เอกสารนี้เป็นเอกสารที่สงวนไว้สำหรับการใช้งานเพื่อการศึกษาเท่านั้น ไม่อนุญาตให้นำไปใช้ประโยชน์ด้านการค้า ไม่ว่ากรณีใดๆ ทั้งสิ้น อีกทั้งห้ามมิให้ดัดแปลงเนื้อหาและต้องอ้างอิงถึงเจ้าของเอกสารทุกครั้งที่มีการนำไปใช้

ตัวเก็บประจุฟิวดอร์ จากสมการ (2.1)

$$C = \frac{I_e \cdot \Delta t}{\Delta V_{RIPPLE}}$$

Δt ช่วงเวลาที่ C คายประจุ (50 Hz ใช้ 10 ms)

Δ_{RIPPLE} แรงดันกระเพื่อม (10% ของแรงดันเอาต์พุต)

$$C = \frac{4.675 \times 10 \times 10^{-3}}{0.1 \times 310}$$

$$= 1500 \text{ uF}$$

$$\therefore C1, C2 = 1500 \text{ uF} \quad \text{เลือก } 1800 \text{ uF}$$

ไดโอด $PRV = 2 V_{out} = 2 \times 310 = 620 \text{ V}$

$$IFM = 2 I_e = 2 \times 4.625 = 9.35 \text{ A}$$

$$IFSM = 5 I_e = 5 \times 4.675 = 23.375$$

เลือกใช้เบอร์ 800 V 35 A

RS ตัวจำกัดกระแส 0.1Ω 5 W

ฟิวส์ อัตราทนกระแส $= 1.5 \times I_{IN(RMS)}$
 $= 1.5 \times 4.675$
 $= 7 \text{ A}$

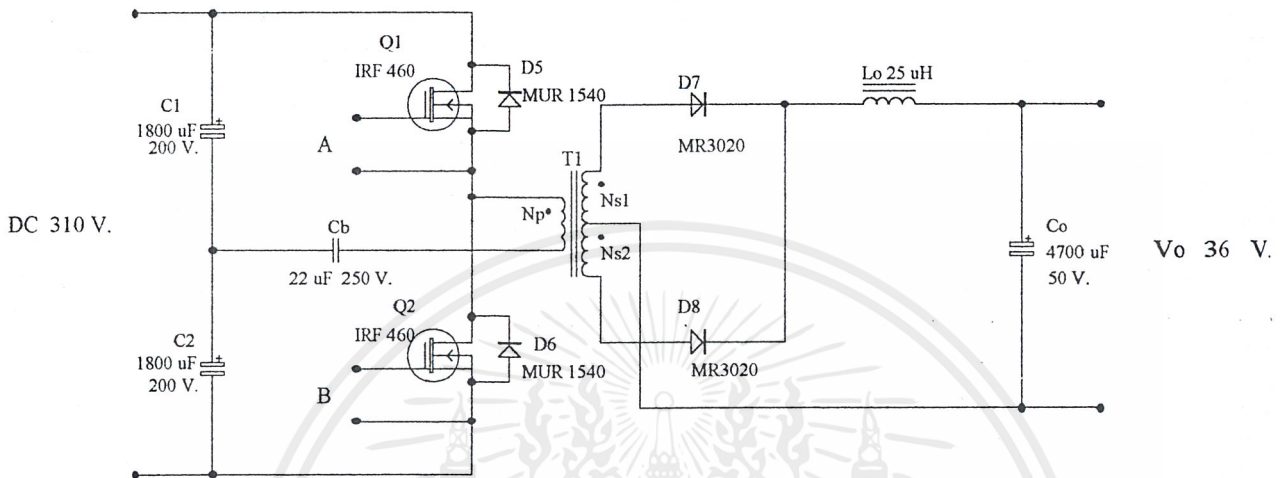
เลือก FUSE F1 = 250 V 7.5 A

R1, R2 เพื่อลดผลกระทบจากค่า ESR ใน C1, C2

เลือก R1, R2 = 330 K Ω 1 W

4.2 วงจรคอนเวอร์เตอร์

เลือกใช้คอนเวอร์เตอร์แบบฮาล์ฟบริดจ์คอนเวอร์เตอร์ จาก ลักษณะการทำงานแรงดันที่ตกคร่อม Q1 และ Q2 ขณะไม่ทำงานมีค่าน้อยกว่าแรงดันอินพุตครึ่งหนึ่ง ซึ่งข้อดีคือการหาเพาเวอร์ทรานซิสเตอร์ที่ทนแรงดันไม่สูงมากนักมีราคาถูกและหาได้ง่ายกว่า



รูปที่ 4.2 ฮาล์ฟบริดจ์คอนเวอร์เตอร์

กำหนด

$$T_{ON(MAX)} = 0.4 T \dots\dots\dots (4.3)$$

$$= \frac{0.4}{50KHz} = 8 \text{ uSec}$$

อัตราส่วน NP/NS

$$\frac{Np}{Ns} = \frac{(Vin(min) / 2 - V_{CE(SAT)}) \cdot t_{ON(MAX)}}{(Vo + Vd)(T / 2)} \dots\dots\dots (4.4)$$

$$= \frac{(280 / 2 - 1) \cdot 8 \times 10^{-6}}{(36 + 1)(20 \times 10^{-6})}$$

$$= \frac{140 \times 8 \times 10^{-6}}{37 \times 20 \times 10^{-6}}$$

$$= 3.005$$

เอกสารนี้เป็นเอกสารที่สงวนไว้สำหรับการใช้งานเพื่อการศึกษาเท่านั้น ไม่อนุญาตให้นำไปใช้ประโยชน์ด้านการค้า ไม่ว่าจะกรณีใดๆ ทั้งสิ้น อีกทั้งห้ามมิให้ดัดแปลงเนื้อหาและต้องอ้างอิงถึงเจ้าของเอกสารทุกครั้งที่มีการนำไปใช้

จำนวนรอบ Primary

$$N_p = \frac{(V_{in(\min)} / 2 - V_{CE(SAT)}) \cdot T_{ON(MAX)} \times 10^8}{\Delta B_{MAX} \cdot Ae} \dots\dots\dots(4.5)$$

Pout 720 W เลือกขนาดแกนเฟอร์ไรต์ ETD 49

แกน ETD 49 ที่ $f_s = 50\text{KHz}$ ความหนาแน่นฟลักซ์ $\Delta B_{MAX} = 2000$

$Ae = 2.11 \text{ (cm)}^2$ (พื้นที่หน้าตัดของแกนเฟอร์ไรต์)

$$N_p = \frac{(280/2 - 1) \cdot 8 \times 10^{-6} \times 10^8}{2000 \times 2.31}$$

$$= 24 \text{ รอบ}$$

จำนวนรอบ Secondary

$$\frac{N_p}{N_s} = 3.005$$

$$N_s = \frac{24}{3.005} = 8 \text{ รอบ}$$

หาค่าความเหนี่ยวนำของขด primary

$$L_p = \frac{4\pi \times Ae \times N_p^2 \times 10^{-8}}{lg} \dots\dots\dots(4.6)$$

กำหนดระยะช่องอากาศ $lg = 0.1 \text{ mm}$

$$L_p = \frac{4\pi \times 2.31 \times 24^2 \times 10^{-8}}{0.1}$$

$$= 1.67 \text{ mH}$$

เอกสารนี้เป็นเอกสารที่สงวนไว้สำหรับการใช้งานเพื่อการศึกษาเท่านั้น ไม่อนุญาตให้นำไปใช้ประโยชน์ด้านการค้า
ไม่ว่ากรณีใดๆ ทั้งสิ้น อีกทั้งห้ามมิให้ดัดแปลงเนื้อหาและต้องอ้างอิงถึงเจ้าของเอกสารทุกครั้งที่มีการนำไปใช้

กระแสสูงสุดที่ Primary

$$I_{p(PEAK)} = \frac{P_o \cdot T}{\eta \cdot V_{IN(MIN)} T_{ON(MAX)}} + \frac{(V_{in}/2 - V_{ce(SAT)}) \cdot T_{ON}}{L_p} \dots\dots\dots(4.7)$$

$$I_{p(PEAK)} = \frac{720 \times 20 \times 10^{-6}}{0.7 \times 280 \times 8 \times 10^{-6}} + \frac{(280/2 - 1) \times 8 \times 10^{-6}}{1.67 \times 10^{-3}}$$

$$= 9.18 + 0.666$$

$$= 9.846 \text{ A}$$

ค่าเอาต์พุตโหลด L_o (กำหนด ESR ของ $C_o = 50 \text{ m}\Omega$)

$$L_o = (V_o + V_d) \times \frac{ESR}{2V_{RIPPLE}} (T - 2t_{ON(MAX)}) \dots\dots\dots(4.8)$$

$$= 37 \times \frac{50 \times 10^{-3}}{2 \times (200 \times 10^{-3})} (20 \times 10^{-6} - 16 \times 10^{-6})$$

$$= 25.66 \text{ uH}$$

ตัวเก็บประจุเอาต์พุต C_o เพื่อลดค่าแรงดันกระเพื่อม

เลือก $C_o = 4,700 \text{ uF}$ 50 V

ค่าตัวเก็บประจุ C_b

$$C_b = \frac{I_{p(PEAK)} \times 0.4T}{\Delta V} \dots\dots\dots(4.9)$$

$$\Delta V = 0.2 \times \frac{V_{in}}{2} = \frac{0.2 \times 310}{2} = 31 \text{ V}$$

$$C_b = \frac{9.846 \times 0.4 \times 8 \times 10^{-6}}{31}$$

$$= 2.54 \text{ uF}$$

เลือกค่า $C_b = 2.2 \text{ uF}$ 250 V แบบไม่มีขั้ว

เอกสารนี้เป็นเอกสารที่สงวนไว้สำหรับการใช้งานเพื่อการศึกษาเท่านั้น ไม่อนุญาตให้นำไปใช้ประโยชน์ด้านการค้า
ไม่ว่ากรณีใดๆ ทั้งสิ้น อีกทั้งห้ามมิให้ดัดแปลงเนื้อหาและต้องอ้างอิงถึงเจ้าของเอกสารทุกครั้งที่มีการนำไปใช้

POWER MOSFET เลือก IRFP 350 $V_{DS} = 400$ V $I_D = 16$ A

DIODE D1 D2 เลือก MR 856

TRANSFORMER T1 เลือกแบบ ETD 49 $b_w = 32.8$ mm. $H_{CF} = 8.4$ mm.

ของ Primary

$$N_p = 24 \text{ รอบ}$$

$$\phi \text{ ของลวดทองแดงจากสมการ (2.17)} \quad did = \left(\frac{17.1bw}{N_p \cdot f} \right)^{\frac{1}{3}} \text{ mm.}$$

$$= \left(\frac{17.1 \times 32.8}{24 \times 50} \right)^{\frac{1}{3}}$$

$$= 0.776 \text{ mm.}$$

เลือกลวดเบอร์ # 21 $d = 0.7239$ $do = 0.8052$ (รวมฉนวน)

$$t_{\min} = 0.841 \quad R_{dc} = 0.05399 \quad \Omega / m$$

จำนวนชั้น ของ Primary จากสมการ (2.18)

$$\begin{aligned} P_{id} &= \frac{N_p}{\left(\frac{bw}{t_{\min}} - 1 \right)} \\ &= \frac{24}{\left(\frac{32.8}{0.841} - 1 \right)} \\ &= 0.631 \text{ ชั้น ปัดเศษเป็น 1 ชั้น} \end{aligned}$$

ค่าความสูงของขดลวด Primary จาก (2.20) $H = (do+1)P$

$$= (0.8052 + 1)1$$

$$= 1.8052 \text{ mm.}$$

คำนวณค่าอัตราส่วน Fr จากสมการ (2.22)

$$Fr = 1 + \frac{1}{2}(d / did)^6$$

$$Fr = 1 + \frac{1}{2}(0.7239 / 0.776)^6$$

$$Fr = 1.33$$

เอกสารนี้เป็นเอกสารที่สงวนไว้สำหรับการใช้งานเพื่อการศึกษาเท่านั้น ไม่อนุญาตให้นำไปใช้ประโยชน์ด้านการค้า ไม่ว่าจะกรณีใดๆ ทั้งสิ้น อีกทั้งห้ามมิให้ดัดแปลงเนื้อหาและต้องอ้างอิงถึงเจ้าของเอกสารทุกครั้งที่มีการนำไปใช้

คำนวณค่าความต้านทานที่กระแสสลับต่อหนึ่งหน่วยความยาว (R_{ac}) จากสมการ (2.23)

$$\begin{aligned} R_{ac} &= F_r R_{dc} \\ &= 1.33 \times 0.05399 \\ &= 0.0718 \end{aligned}$$

กำลังสูญเสียในขดลวด P_w จากสมการ (2.24)

$$P_w = C \times I_{rms} \times N \times l_{av} \times R_{ac}$$

จาก $l_{ac} = 85.09 \text{ mm}$

$$C = 1$$

$$\begin{aligned} I_{rms} &= I_o \frac{N_s}{N_p} \sqrt{\frac{T_{on}}{T}} \\ &= 20 \times \frac{1}{3.005} \sqrt{0.4} \\ &= 4.2 \end{aligned}$$

จะได้ $P_w = 1 \times 4.2^2 \times 24 \times 85.09 \times 10^{-3} \times 0.0718$
 $= 2.587 \text{ watt.}$

Secondary

$$N_s = 8 \text{ รอบ}$$

คำนวณ ϕ ของลวดอาบนํ้ายาสมการ (2.17)

$$\begin{aligned} d_{id} &= \left(\frac{17.1 \cdot bw}{N_s \cdot f} \right)^{\frac{1}{3}} \\ &= \left(\frac{17.1 \times 32.8}{8 \times 50} \right)^{\frac{1}{3}} \\ &= 1.119 \text{ mm.} \end{aligned}$$

เลือกลวดเบอร์ # 18 $d = 1.024$ $d_o = 1.118$ $t_{min} = 1.168$ $R_{dc} = 0.027$

จำนวนชั้นจากสมการ (2.18)

$$\begin{aligned} P_{id} &= \frac{N_s}{\left(\frac{bw}{t_{min}} - 1 \right)} \\ &= \frac{8}{\left(\frac{32.8}{1.168} - 1 \right)} \\ &= 0.295 \text{ ปัดเศษ เป็น 1 ชั้น} \end{aligned}$$

เอกสารนี้เป็นเอกสารที่สงวนไว้สำหรับการใช้งานเพื่อการศึกษาเท่านั้น ไม่อนุญาตให้นำไปใช้ประโยชน์ด้านการค้า
 ไม่ว่ากรณีใดๆ ทั้งสิ้น อีกทั้งห้ามมิให้ดัดแปลงเนื้อหาและต้องอ้างอิงถึงเจ้าของเอกสารทุกครั้งที่มีการนำไปใช้

$$\begin{aligned}
 \text{ความสูงของขดลวด จาก (2.20) } H &= (d_o+I)P \\
 &= (1.118+1)1 \\
 &= 2.118 \quad \text{mm.}
 \end{aligned}$$

$$\begin{aligned}
 \text{ความสูงของ } N_p \text{ และ } N_s &= 1.8052 + 2.118 \\
 &= 3.92 \quad \text{mm.} \quad \text{Ok}
 \end{aligned}$$

คำนวณค่าอัตราส่วน Fr จากสมการ (2.22)

$$\begin{aligned}
 Fr &= 1 + \frac{1}{2}(d/d_i d)^6 \\
 Fr &= 1 + \frac{1}{2}(1.024/1.119)^6 \\
 Fr &= 1.294
 \end{aligned}$$

คำนวณค่าความต้านทานที่กระแสสลับต่อหนึ่งหน่วยความยาว (Rac) จากสมการ (2.23)

$$\begin{aligned}
 Rac &= Fr R_{dc} \\
 &= 1.294 \times 0.027 \\
 &= 0.035
 \end{aligned}$$

กำลังสูญเสียในขดลวด Pw จากสมการ (2.24)

$$\begin{aligned}
 P_w &= C \times I_{rms} \times N \times l_{av} \times Rac \\
 \text{จาก } l_{ac} &= 85.09 \text{ mm} \\
 C &= 1 \\
 I_{rms} &= I_o \sqrt{\frac{T_{on}}{T}} \\
 &= 20 \times \sqrt{0.4} \\
 &= 12.649 \\
 \text{จะได้ } P_w &= 1 \times 12.649^2 \times 8 \times 85.09 \times 10^{-3} \times 0.035 \\
 &= 3.812 \text{ watt.}
 \end{aligned}$$

กำลังสูญเสียของขดลวดทั้งหมด

$$\begin{aligned}
 P_{tot} &= 2.587 + 3.812 \\
 &= 6.399 \text{ watt.}
 \end{aligned}$$

เอกสารนี้เป็นเอกสารที่สงวนไว้สำหรับการใช้งานเพื่อการศึกษาเท่านั้น ไม่อนุญาตให้นำไปใช้ประโยชน์ด้านการค้าไม่ว่ากรณีใดๆ ทั้งสิ้น อีกทั้งห้ามมิให้ดัดแปลงเนื้อหาและต้องอ้างอิงถึงเจ้าของเอกสารทุกครั้งที่มีการนำไปใช้

อุณหภูมิของหม้อแปลงที่เพิ่มขึ้นจากสมการ (2.29)

$$\begin{aligned}\Delta t &= \frac{23.5 \times P_{tot}}{\sqrt{A_e \times A_w}} \\ &= \frac{23.5 \times 6.399}{\sqrt{2.31 \times 3.73}} \\ &= 51.23 \text{ } ^\circ\text{C}\end{aligned}$$

อุณหภูมิหม้อแปลงขณะทำงาน

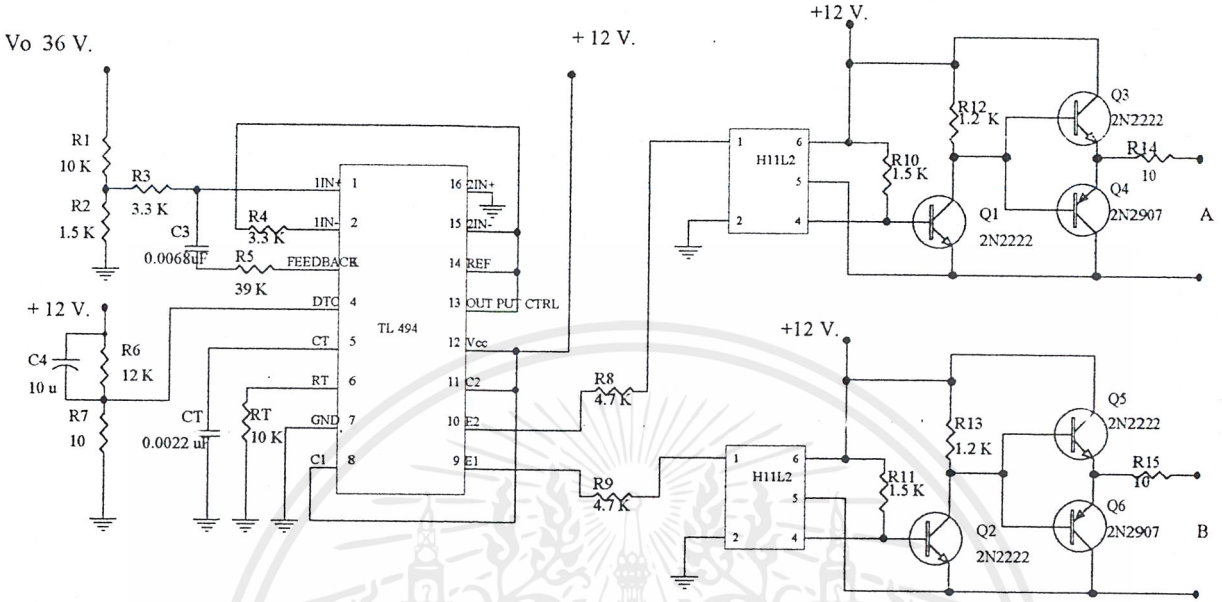
$$\begin{aligned}&= (\Delta t + 25^\circ\text{C}) \\ &= 51.23 + 25 \\ &= 76.23 \text{ } ^\circ\text{C}\end{aligned}$$



เอกสารนี้เป็นเอกสารที่สงวนไว้สำหรับการใช้งานเพื่อการศึกษาเท่านั้น ไม่อนุญาตให้นำไปใช้ประโยชน์ด้านการค้า ไม่ว่าจะกรณีใดๆ ทั้งสิ้น อีกทั้งห้ามมิให้ดัดแปลงเนื้อหาและต้องอ้างอิงถึงเจ้าของเอกสารทุกครั้งที่มีการนำไปใช้

4.3 วงจรควบคุมในโหมดควบคุมจากแรงดัน

เลือกไอซีเบอร์ TL494 มาควบคุมการทำงานของคอนเวอร์เตอร์วงจรของ TL494 เป็นวงจร PWM ควบคุมด้วยวิธีควบคุมจากแรงดัน ในการทดลองต่อวงจรดังรูป



รูปที่ 4.3 วงจรควบคุมของสวิตชิงใช้ไอซี TL 494

คาบเวลาการทำงานจากการทดลองจากสูตร

$$T = \frac{R_T C_T}{1.1} \dots\dots\dots (4.10)$$

ใช้ความถี่ที่ 50 kHz

$$T = \frac{1}{50KHz}$$

เลือกค่า $R_T = 10 K\Omega$

$$\therefore C_T = \frac{1.1 \times 40 \times 10^{-6}}{10 \times 10^3}$$

$$= 0.0022 \text{ uF}$$

คำนวณค่า R3 และ R4

จาก $V_o = 36 \text{ V}$ เราต้องการ $V_{R4} = 5 \text{ V}$

$$V_{R4} = \frac{V_O}{R_3 + R_4} \times R_4$$

เอกสารนี้เป็นเอกสารที่สงวนไว้สำหรับการใช้งานเพื่อการศึกษาเท่านั้น ไม่อนุญาตให้นำไปใช้ประโยชน์ด้านการค้า ไม่ว่าจะกรณีใดๆ ทั้งสิ้น อีกทั้งห้ามมิให้ดัดแปลงเนื้อหาและต้องอ้างอิงถึงเจ้าของเอกสารทุกครั้งที่มีการนำไปใช้

กำหนดให้ $R3 = 10 \text{ K}\Omega$

$$R4 = \frac{10 \times 10^3}{36 - 1}$$

$$= 1.6 \text{ K}\Omega$$

ใช้ $R4 = 1.5 \text{ K}\Omega$

$R5, R6, R7$ และ $C3$ เป็น PI controller

$$R5 = 3.3 \text{ K}\Omega$$

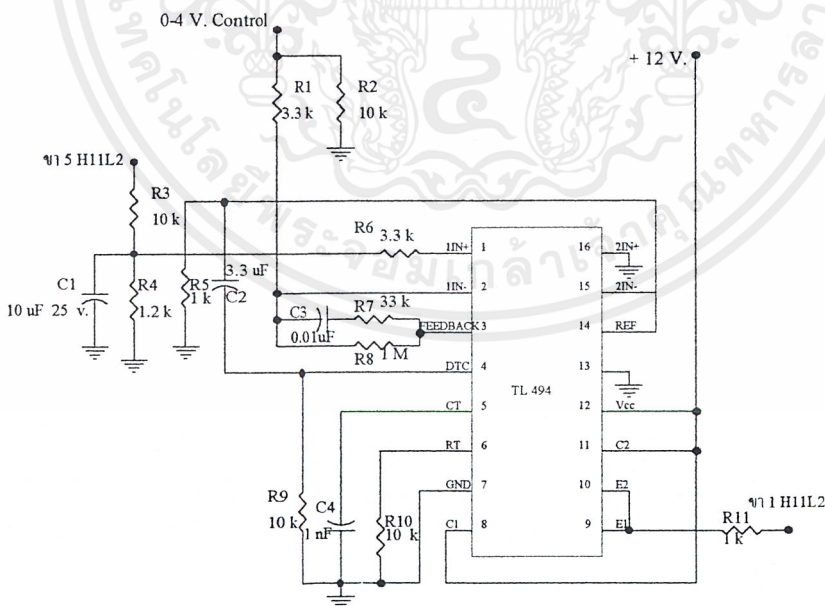
$$R6 = 3.3 \text{ K}\Omega$$

$$R7 = 39 \text{ K}\Omega$$

$$C3 = 0.068 \text{ }\mu\text{F}$$

4.4 การออกแบบชุดควบคุมมอเตอร์

4.4.1 พัลส์-วิดท์โมดูเลชัน (PWM)



รูปที่ 4.4 วงจรพัลส์-วิดท์โมดูเลชันสำหรับควบคุม Motor

เอกสารนี้เป็นเอกสารที่สงวนไว้สำหรับการใช้งานเพื่อการศึกษาเท่านั้น ไม่อนุญาตให้นำไปใช้ประโยชน์ด้านการค้า ไม่ว่าจะกรณีใดๆ ทั้งสิ้น อีกทั้งห้ามมิให้ดัดแปลงเนื้อหาและต้องอ้างอิงถึงเจ้าของเอกสารทุกครั้งที่มีการนำไปใช้

การทำงานของวงจร

เลือกใช้ IC TL494 สำหรับโหมคควบคุมแรงดัน แรงดันที่ control จะนำมาจากชุดควบคุมเฟส ลีอคลูฟ โดยแรงดันจะอยู่ในช่วง 0-4 V. เข้าที่ขา error Amp นำไปเปรียบเทียบกับแรงดันที่ Feed back จากเอาต์พุท โดยมี gain จากสูตร

$$gain = \frac{V_o}{V_{in}} = 1 + \frac{R1}{R2} \quad \dots\dots\dots(4.11)$$

$$= 1 + \frac{10K}{1.2K}$$

$$= 9.3$$

ความถี่ที่ใช้ คำนวณได้จากสูตร (4.10)

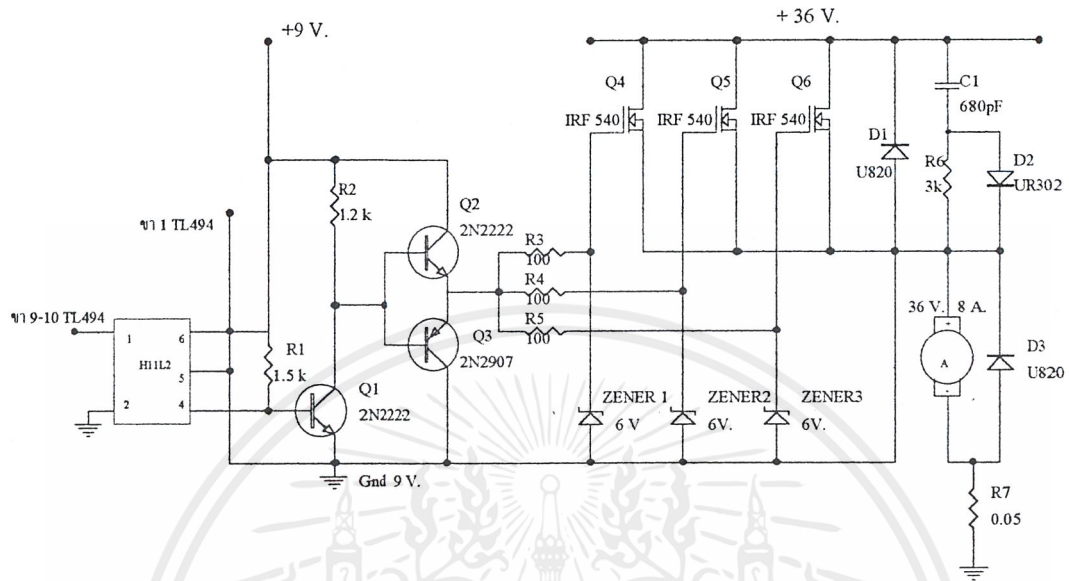
$$T = \frac{R_T C_T}{1.1}$$

$$= \frac{10K \times 1n}{1.1}$$

$$= 9 \mu s. \quad \text{ได้ความถี่ประมาณ } 100 \text{ KHz}$$

เลือกใช้ Q1 และ Q2 ของ TL494 กำหนดให้ขา 13 (output control) ลงกราวด์ คาบเวลาจะมีค่าเท่ากับคาบเวลาของสัญญาณฟันเลื่อยของ IC Q1 และ Q2 จะทำงานพร้อมกันจึงสามารถขนาน Q1 และ Q2 เข้าด้วยกัน

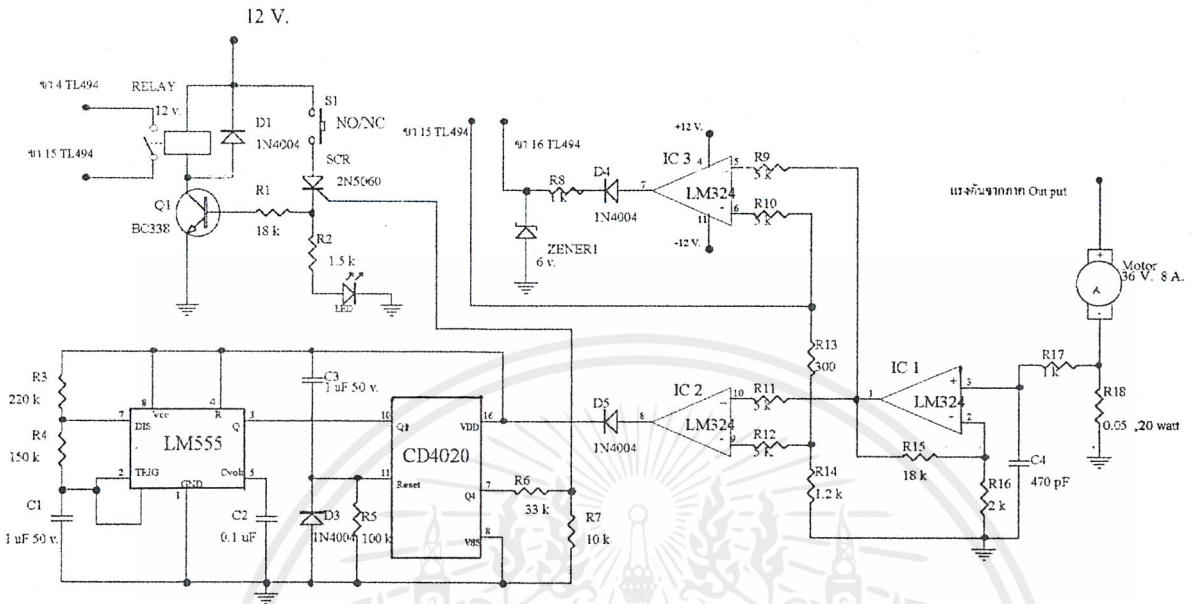
4.4.2 การออกแบบภาค out put



รูปที่ 4.5 วงจรภาค out put ของชุดควบคุม Motor

ใช้ opto couple H11L2 เป็นตัวแยกกราวด์ให้ Tr 2N2222 และ 2N2907 เป็น driver กระแสที่ไหลผ่านมอเตอร์ คือกระแสเฉลี่ยที่ผ่าน MOSFET IRF 540 กระแสจะมากหรือน้อยขึ้นอยู่กับ Gain ของระบบ เมื่อกระแสเพิ่มขึ้นจะทำให้ความเร็วมอเตอร์เพิ่มขึ้น Motor ที่ใช้ขนาด 36 V. 8 A. โดยมีแหล่งจ่ายแรงดันจากชุด switching power supply

4.4.3 วงจรลิมิตกระแส และป้องกัน Over load



รูปที่ 4.6 วงจรลิมิตกระแสและป้องกัน Over load

การทำงานของวงจร

ในช่วงที่ Motor เริ่ม start จะมีกระแสสูงมาก ถ้าไม่ทำการลิมิตกระแสอาจทำให้ Motor เสียหายได้ ในวงจรนี้ได้เซตกระแสไว้ที่ 10 A. กระแสที่ไหลผ่าน Motor จะไม่เกิน 10 A. โดยมี Op-Amp จับกระแสที่ไหลผ่าน R 0.05 Ω แรงดันที่ Out put ของ Op- Amp (IC3) จะเท่ากับ

$$V_o = V_i \left(1 + \frac{18K}{2K} \right) \dots\dots\dots (4.12)$$

เมื่อมีกระแสไหลผ่าน R 0.05 Ω เท่ากับ 10 A. จะทำให้ V_o เท่ากับ 5 V. เมื่อกระแสไหลสูงขึ้น จะทำให้ IC1 ตรวจจับขา Inverting ไว้ที่ 5 V. สำหรับขา Noninverting ถ้า V_o เกิน 5 V. จะทำให้ out put ของ IC1 เป็น high ซึ่งภาวะปกติ จะเป็น 0 V. จะพาไปเข้าที่ขา 16 ของ TL494 (error amp) และทำการเปรียบเทียบแรงดันกับขา 5 ซึ่งเซตไว้ 5V. เมื่อมีแรงดันสูงกว่า 5 V. สัญญาณที่ Out put ของ TL494 ก็จะ off

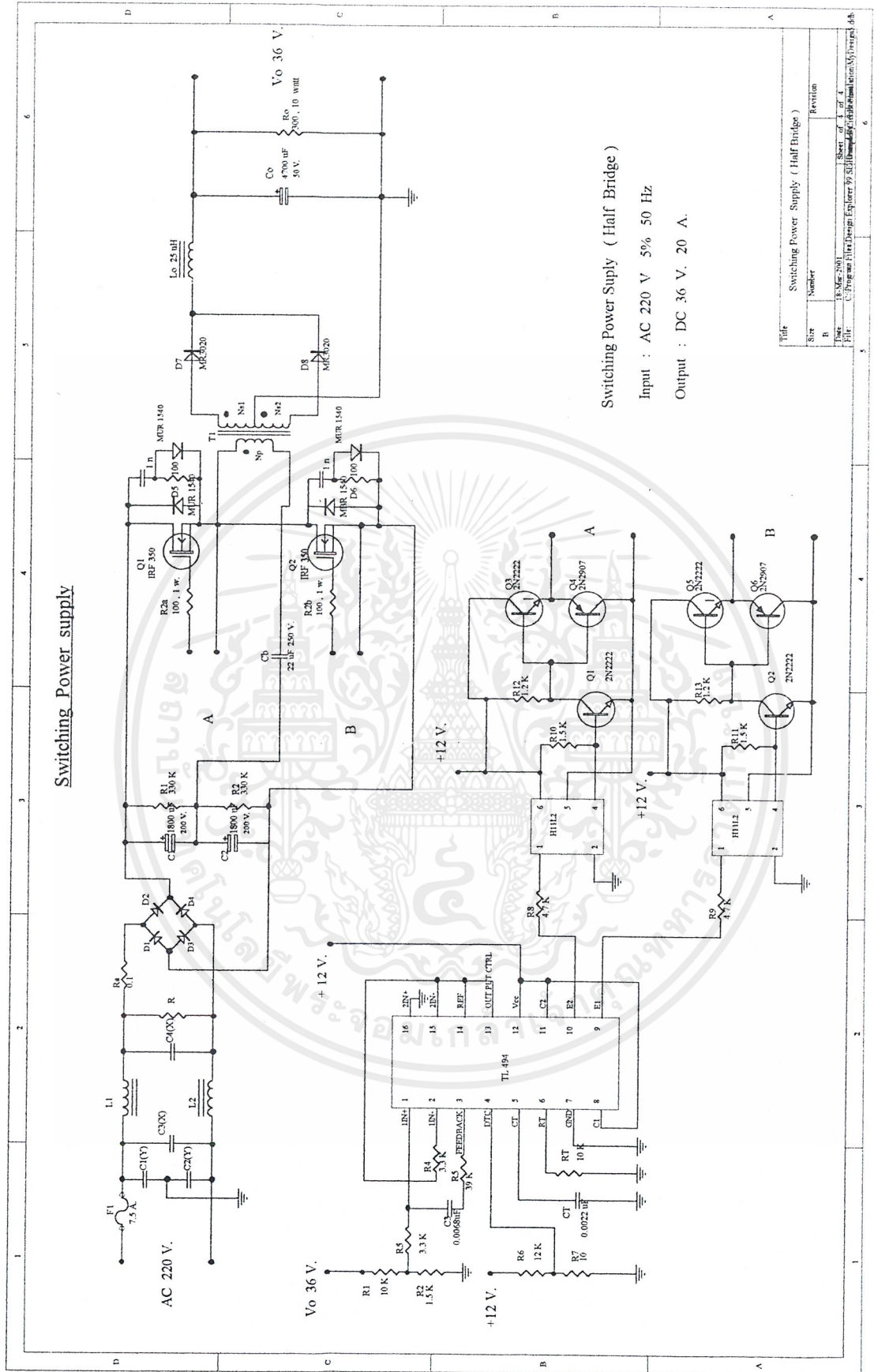
เอกสารนี้เป็นเอกสารที่สงวนไว้สำหรับการใช้งานเพื่อการศึกษาเท่านั้น ไม่อนุญาตให้นำไปใช้ประโยชน์ด้านการค้า ไม่ว่ากรณีใดๆ ทั้งสิ้น อีกทั้งห้ามมิให้ดัดแปลงเนื้อหาและต้องอ้างอิงถึงเจ้าของเอกสารทุกครั้งที่มีการนำไปใช้

สำหรับ IC2 เซตขา Inverting วัตต์ 4 V. ซึ่งก็คือกระแสที่ไหลผ่าน $R 0.05 \Omega$ เท่ากับ 8 A. จะทำให้ Out put เป็น high นำไปเข้าวงจร timer ใช้ IC 555 เป็นตัวกำเนิดความถี่ โดย Out put ที่ขา 3 ของ IC 555

จาก Out put ขา 3 ของ IC 555 สัญญาณพัลส์จะถูกส่งไปเข้าวงจรนับ IC CD4020 ซึ่งจะทำการนับเฉพาะช่วงที่เป็นศูนย์ของสัญญาณ ในช่วงเริ่มแรกนั้นจะมีพัลส์รีเซต "1" ที่ขา 11 ขา RST โดยอัตโนมัติ สัญญาณที่เข้าขา 10 (clk) จะทำการนับมาถึงจำนวนที่ได้ตั้งไว้ Out put จะมีสถานะเป็น high "1" ออกมา จากวงจรจุดนี้ได้เซตไว้ที่ประมาณ 3 sec เมื่อ Out put เป็น "1" จะทำให้ไปทริกที่ขาเกตของ SCR ทำให้ SCR นำกระแสมีกระแส IB ไหลผ่าน Tr BC338 ทำให้ Relay ทำงาน เมื่อน้ำสัมผัสต่อกันจะทำให้แรงดันที่ตกคร่อมขา 4 ของ TL494 (dead time) ประมาณ 5 V. ที่แรงดันขนาดนี้ทำให้ Out put ของ TL494 Off ทำให้ Motor หยุดทำงานไม่มีกระแสไหลผ่าน Motor เมื่อต้องการให้ Motor ทำงานต้องทำการ Reset ที่ SCR การทำงานของ Motor ก็จะทำงานต่อไปตามปกติ

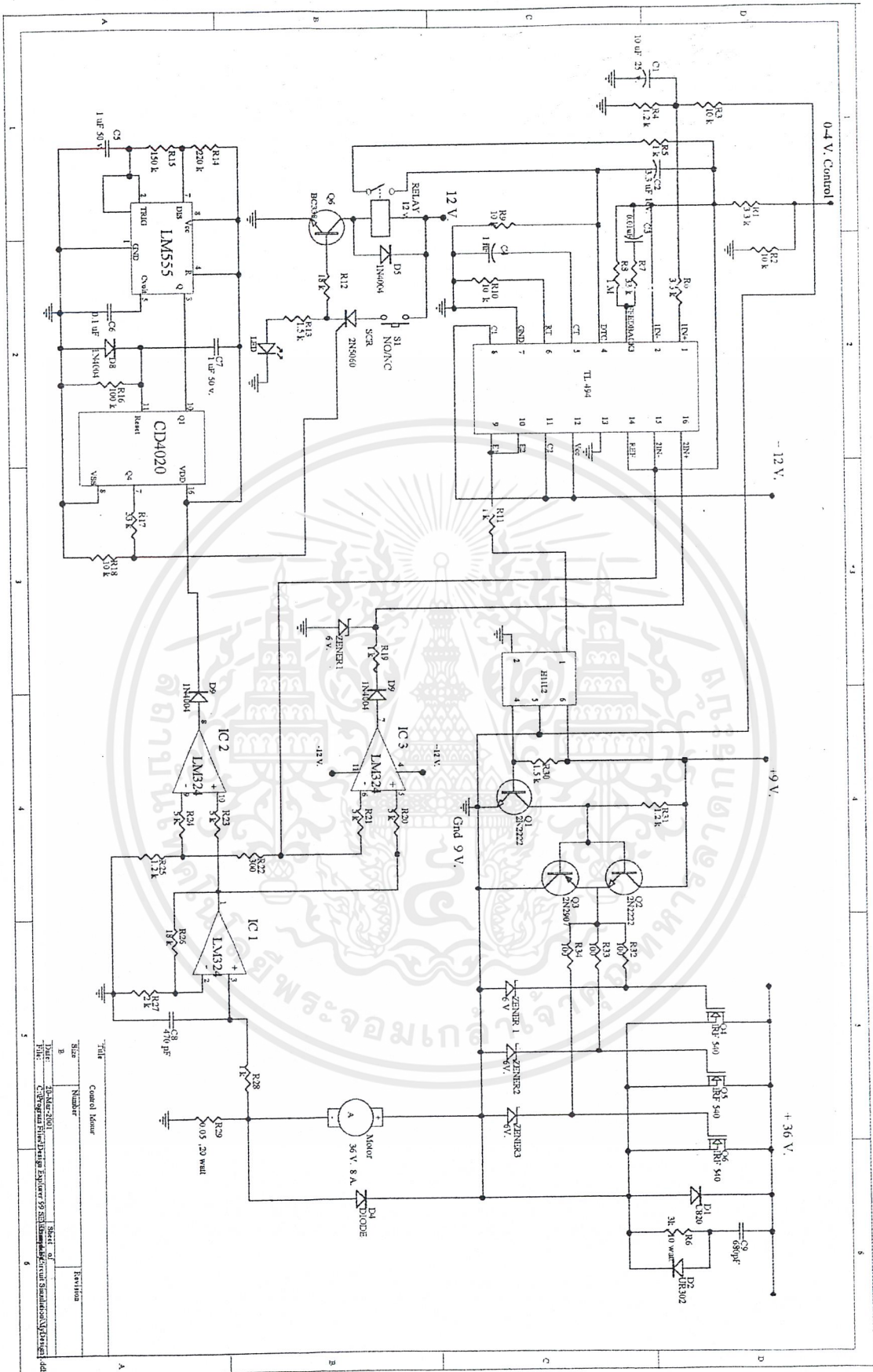


เอกสารนี้เป็นเอกสารที่สงวนไว้สำหรับการใช้งานเพื่อการศึกษาเท่านั้น ไม่อนุญาตให้นำไปใช้ประโยชน์ด้านการค้า ไม่ว่ากรณีใดๆ ทั้งสิ้น อีกทั้งห้ามมิให้ดัดแปลงเนื้อหาและต้องอ้างอิงถึงเจ้าของเอกสารทุกครั้งที่มีการนำไปใช้



รูปที่ 4.8 วงจรสวิตชิงเพาเวอร์ซัพพลาย 36 โวลต์ 15 แอมป์

เอกสารนี้เป็นเอกสารที่สงวนไว้สำหรับการใช้งานเพื่อการศึกษาเท่านั้น ไม่อนุญาตให้นำไปใช้ประโยชน์ด้านการค้า ไม่ว่าจะกรณีใดๆ ทั้งสิ้น อีกทั้งห้ามมิให้คัดลอกเนื้อหาและต้องอ้างอิงถึงเจ้าของเอกสารทุกครั้งที่มีการนำไปใช้



รูปที่ 4.9 วงจรชุดควบคุม Motor

เอกสารนี้เป็นเอกสารที่สงวนไว้สำหรับการใช้งานเพื่อการศึกษาเท่านั้น ไม่อนุญาตให้นำไปใช้ประโยชน์ด้านการค้า ไม่ว่าจะกรณีใดๆ ทั้งสิ้น อีกทั้งห้ามมิให้ดัดแปลงเนื้อหาและต้องอ้างอิงถึงเจ้าของเอกสารทุกครั้งที่มีการนำไปใช้

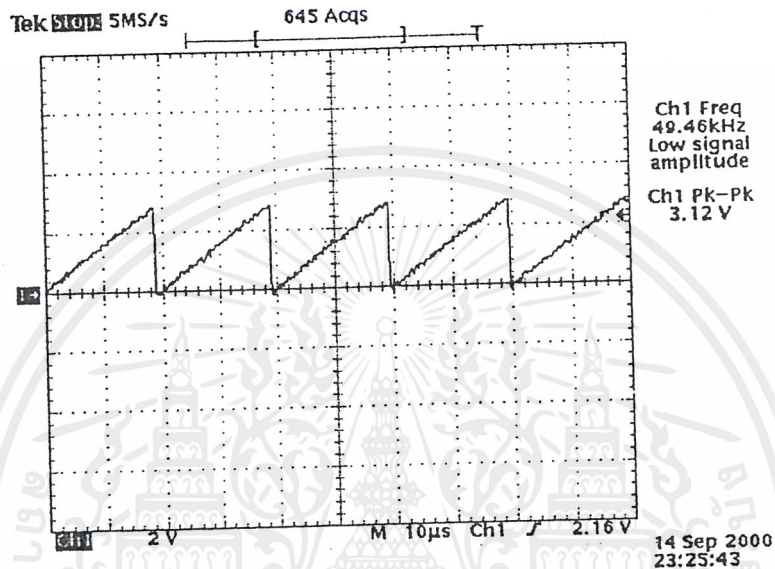
บทที่ 5

การทดลองและผลการทดลอง

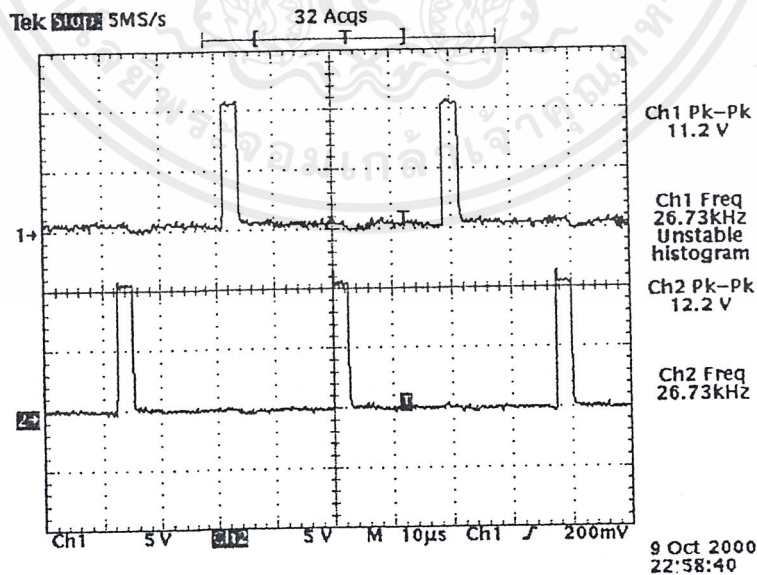
5.1 การทดลองวัดรูปสัญญาณสวิตชิงเพาเวอร์ซัพพลายขณะไม่มีโหลด

ณ จุดต่างๆในวงจรสวิตชิงเพาเวอร์ซัพพลายไม่ได้ต่อ โหลด (No Load) ได้ผลของสัญญาณ

ดังรูปที่ 5.1-5.5

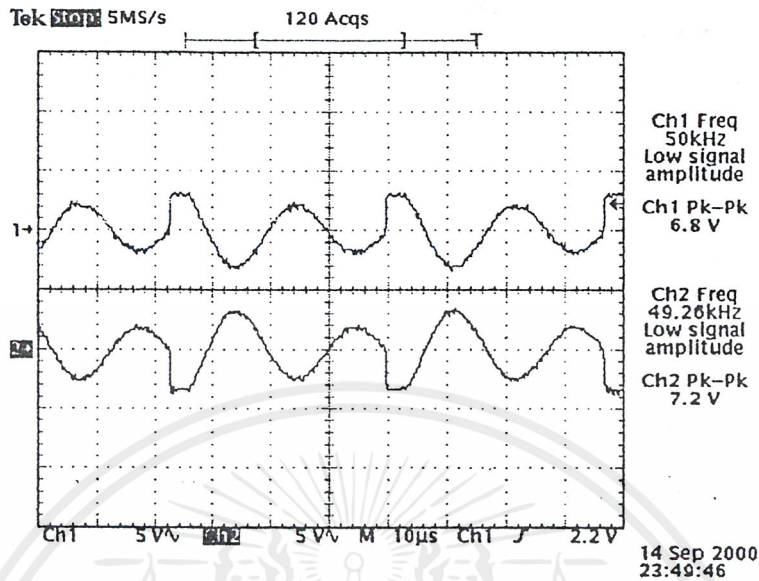


รูปที่ 5.1 สัญญาณ Oscillator ที่ขา 5 ของ IC TL494

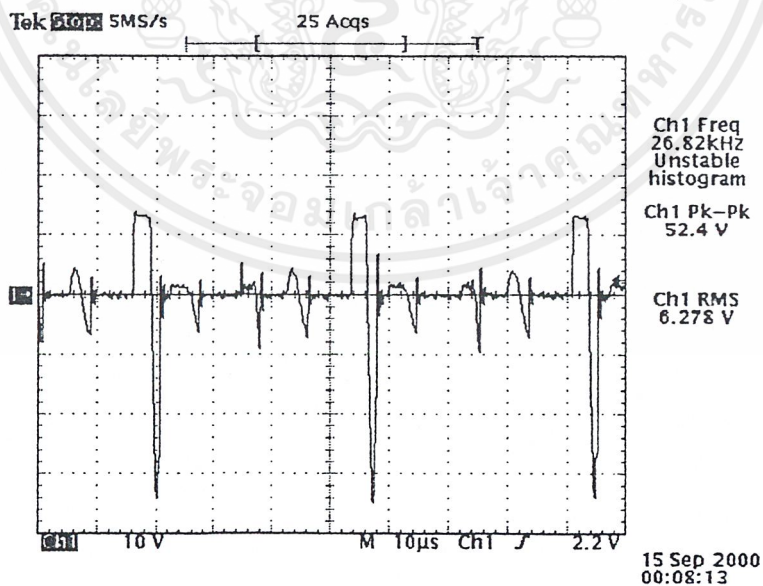


รูปที่ 5.2 สัญญาณที่ขา G ของ Q1 และ Q2

เอกสารนี้เป็นเอกสารที่สงวนไว้สำหรับการใช้งานเพื่อการศึกษาเท่านั้น ไม่อนุญาตให้นำไปใช้ประโยชน์ด้านการค้า ไม่ว่าจะกรณีใดๆ ทั้งสิ้น อีกทั้งห้ามมิให้ดัดแปลงเนื้อหาและต้องอ้างอิงถึงเจ้าของเอกสารทุกครั้งที่มีการนำไปใช้

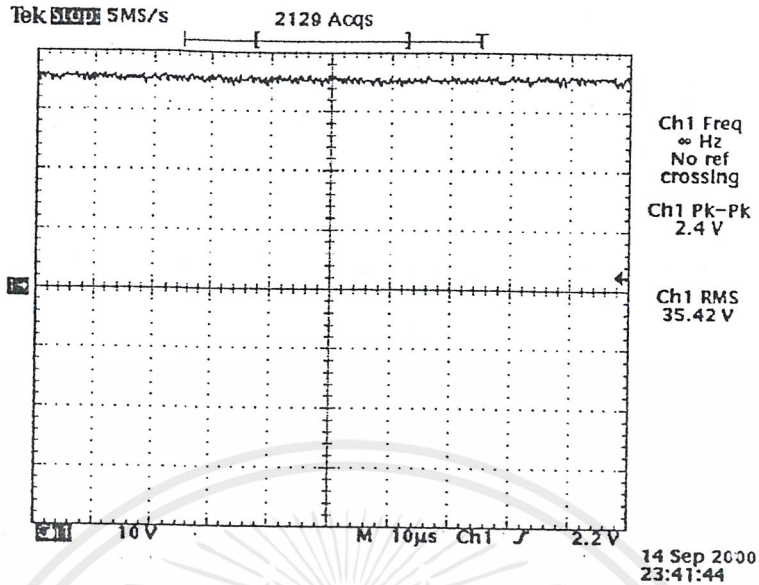


รูปที่ 5.3 สัญญาณที่ขด secondary ของหม้อแปลง T1



รูปที่ 5.4 สัญญาณแรงดันตกคร่อม L_o ขณะไม่ต่อโหลด

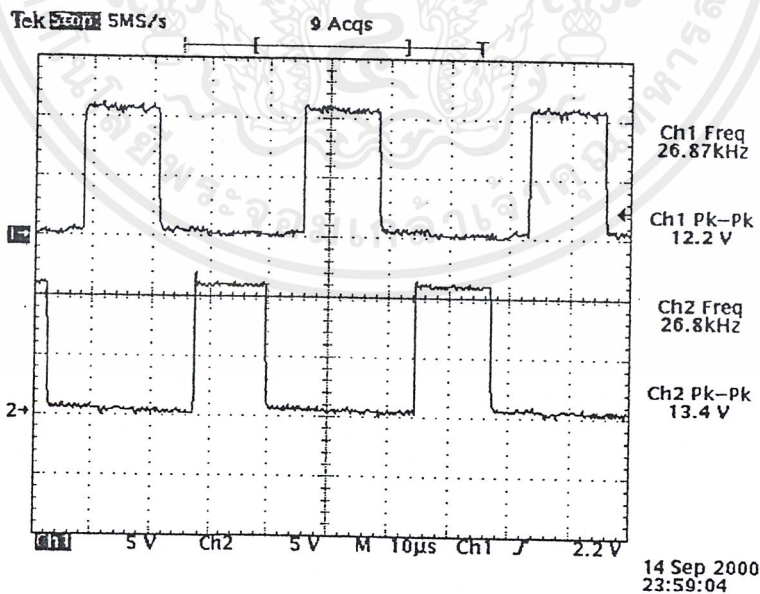
เอกสารนี้เป็นเอกสารที่สงวนไว้สำหรับการใช้งานเพื่อการศึกษาเท่านั้น ไม่อนุญาตให้นำไปใช้ประโยชน์ด้านการค้า ไม่ว่าจะกรณีใดๆ ทั้งสิ้น อีกทั้งห้ามมิให้ดัดแปลงเนื้อหาและต้องอ้างอิงถึงเจ้าของเอกสารทุกครั้งที่มีการนำไปใช้



รูปที่ 5.5 สัญญาณที่ out put ขณะไม่ต่อโหลด

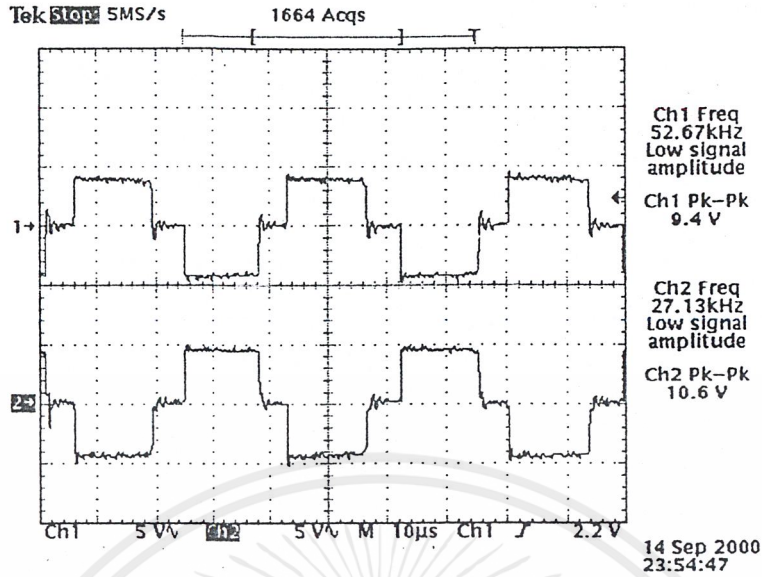
5.2 การทดลองวัดรูปสัญญาณสวิตชิงเพาเวอร์ซัพพลายขณะมีโหลด

การวัดสัญญาณ ณ จุดต่างๆขณะขับโหลดเป็น Motor ขนาด 36 V. 8 A. ได้สัญญาณดังรูปที่ 5.6-5.9

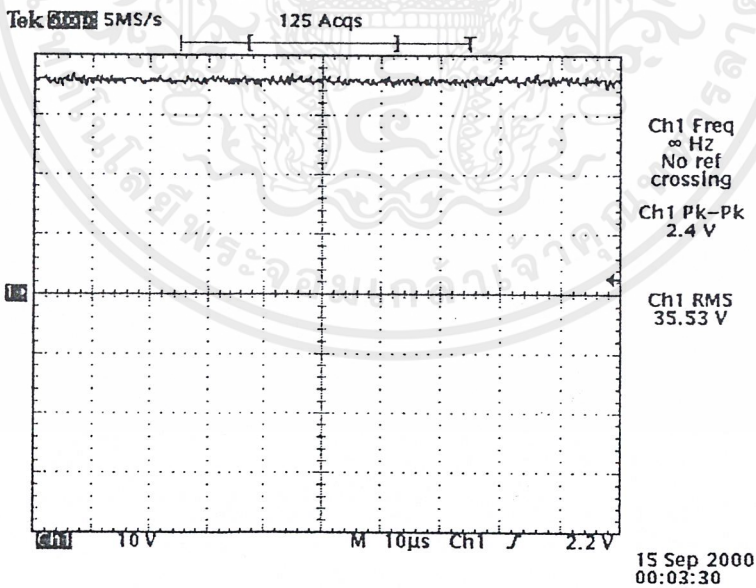


รูปที่ 5.6 สัญญาณที่ขา G ของ Q1 และ Q2

เอกสารนี้เป็นเอกสารที่สงวนไว้สำหรับการใช้งานเพื่อการศึกษาเท่านั้น ไม่อนุญาตให้นำไปใช้ประโยชน์ด้านการค้า ไม่ว่าจะกรณีใดๆ ทั้งสิ้น อีกทั้งห้ามมิให้ดัดแปลงเนื้อหาและต้องอ้างอิงถึงเจ้าของเอกสารทุกครั้งที่มีการนำไปใช้



รูปที่ 5.7 สัญญาณที่ขด secondary ของหม้อแปลง T1 ขณะต่อโหลด

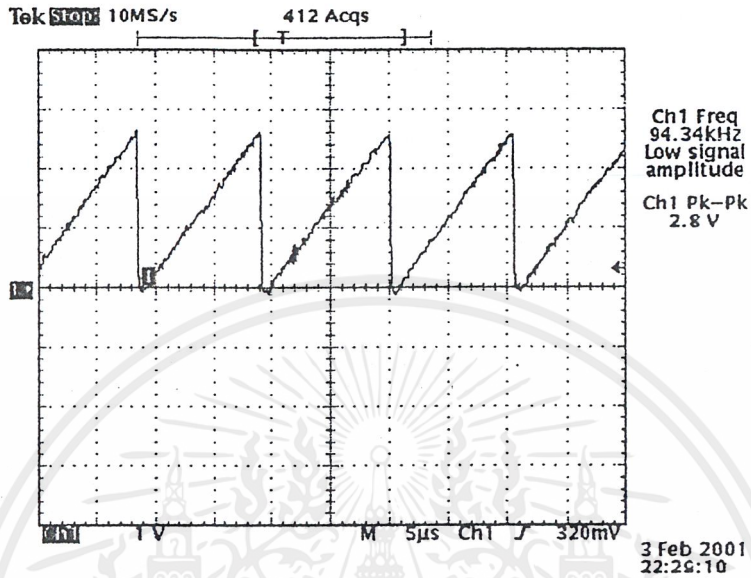


รูปที่ 5.8 สัญญาณที่ out put ขณะต่อโหลด

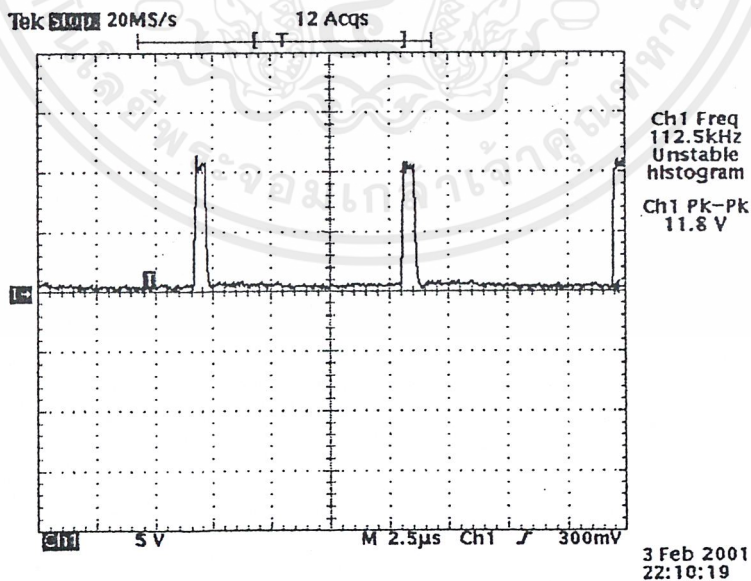
เอกสารนี้เป็นเอกสารที่สงวนไว้สำหรับการใช้งานเพื่อการศึกษาเท่านั้น ไม่อนุญาตให้นำไปใช้ประโยชน์ด้านการค้า ไม่ว่าจะกรณีใดๆ ทั้งสิ้น อีกทั้งห้ามมิให้ดัดแปลงเนื้อหาและต้องอ้างอิงถึงเจ้าของเอกสารทุกครั้งที่มีการนำไปใช้

5.3 การทดสอบวัฏรูปสัญญาณของชุดควบคุม Motor

ขณะสวิตช์เพาเวอร์ซัพพลายไปจับมอเตอร์ขนาด 36 โวลต์ กระแส 8 แอมป์ โดยมอเตอร์มี โหลดขับสายพานของเครื่องออกกำลังกาย ได้รูปสัญญาณดังรูปที่ 5.9-5.15

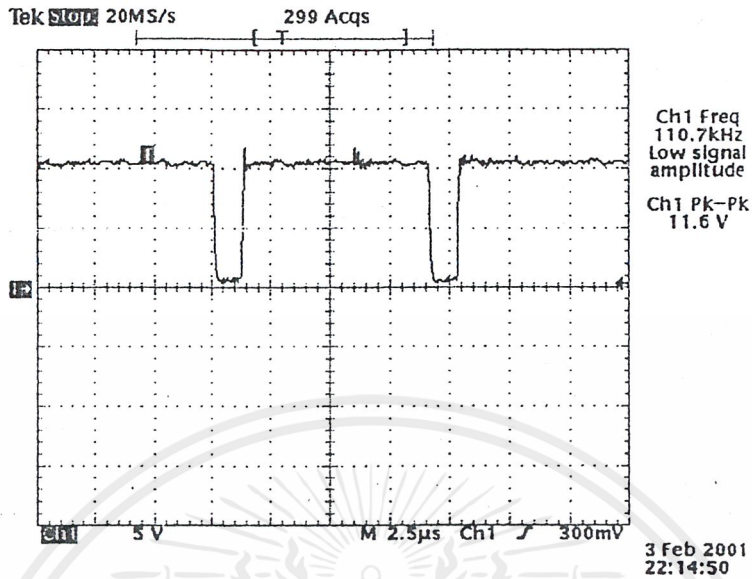


รูปที่ 5.9 สัญญาณที่ขา 5 ของ TL494 ชุดควบคุม Motor

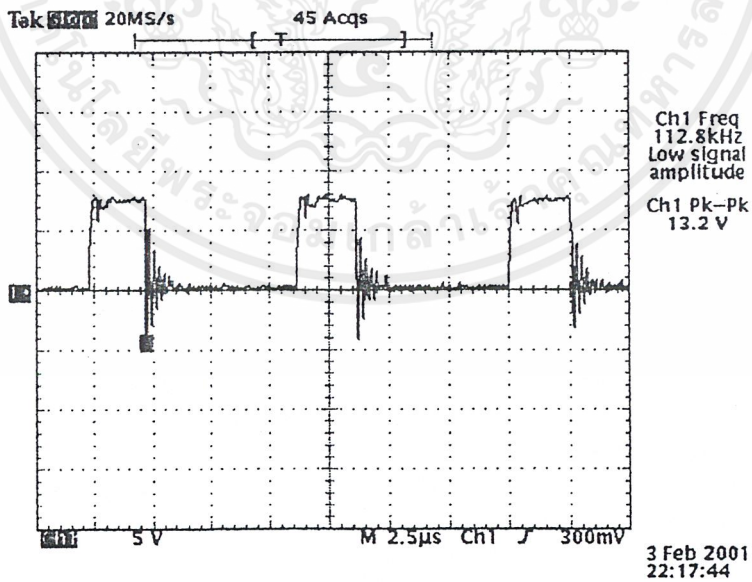


รูปที่ 5.10 สัญญาณที่ขา 9-10 ของ TL494 ชุดควบคุม Motor ขณะ Low speed

เอกสารนี้เป็นเอกสารที่สงวนไว้สำหรับการใช้งานเพื่อการศึกษาเท่านั้น ไม่อนุญาตให้นำไปใช้ประโยชน์ด้านการค้า ไม่ว่ากรณีใดๆ ทั้งสิ้น อีกทั้งห้ามมิให้ดัดแปลงเนื้อหาและต้องอ้างอิงถึงเจ้าของเอกสารทุกครั้งที่มีการนำไปใช้

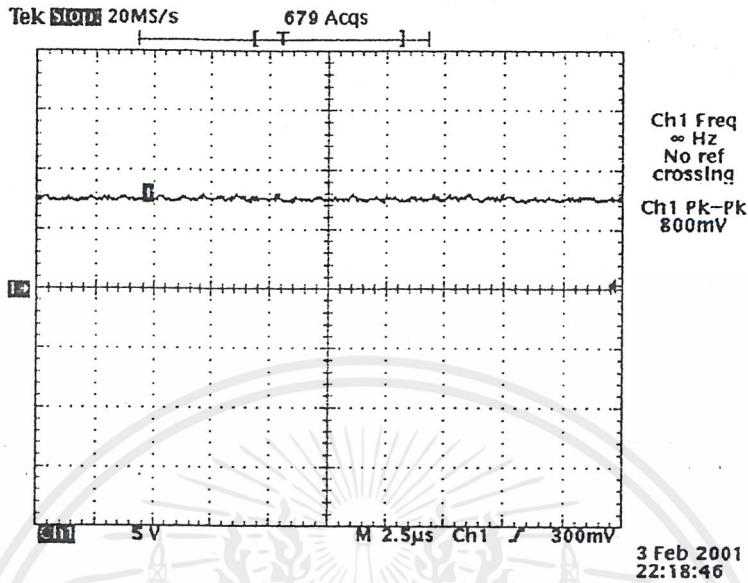


รูปที่ 5.11 สัญญาณที่ขา 9-10 ของ TL494 ชุดควบคุม Motor ขณะ High speed

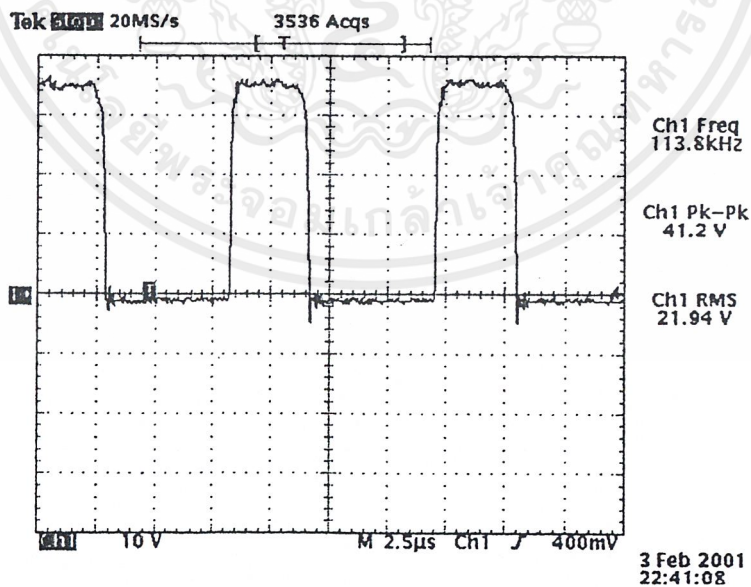


รูปที่ 5.12 สัญญาณที่ขาเกของ MOSFET IRF 540 ขณะ Low speed

เอกสารนี้เป็นเอกสารที่สงวนไว้สำหรับการใช้งานเพื่อการศึกษาเท่านั้น ไม่อนุญาตให้นำไปใช้ประโยชน์ด้านการค้า
ไม่ว่ากรณีใดๆ ทั้งสิ้น อีกทั้งห้ามมิให้ดัดแปลงเนื้อหาและต้องอ้างอิงถึงเจ้าของเอกสารทุกครั้งที่มีการนำไปใช้

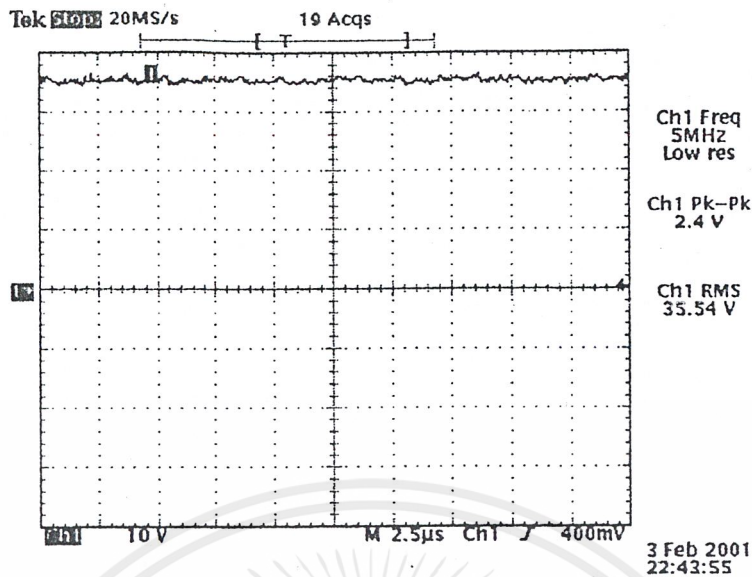


รูปที่ 5.13 สัญญาณที่ขาเกจของ MOSFET IRF 540 ขณะ High speed



รูปที่ 5.14 สัญญาณที่ Motor ขณะ Low speed

เอกสารนี้เป็นเอกสารที่สงวนไว้สำหรับการใช้งานเพื่อการศึกษาเท่านั้น ไม่อนุญาตให้นำไปใช้ประโยชน์ด้านการค้า ไม่ว่าจะกรณีใดๆ ทั้งสิ้น อีกทั้งห้ามมิให้ดัดแปลงเนื้อหาและต้องอ้างอิงถึงเจ้าของเอกสารทุกครั้งที่มีการนำไปใช้



รูปที่ 5.15 สัญญาณที่ Motor ขณะ High speed

5.4 การทดลองวัดกระแสจากการต่อโหลดเป็นความต้านทาน

โดยต่อกับสวิทซ์เฟาเวอร์ซ์พลาซไม่มีชุดควบคุม Motor ที่ค่าความต้านทานต่างๆดังนี้

Load (Ohm)	แรงดัน (V)	กระแส (A)	กำลัง (W)	% Load Reg
200	35.53	0.177	6.28	0.3
100	35.53	0.355	12.61	0.3
50	35.53	0.710	25.22	0.3
10	35.53	3.553	126.23	0.3
5.6	35.53	6.344	225.40	0.3
4.3	35.53	8.262	293.54	0.3
3.6	35.53	9.869	350.64	0.3
2.5	35.53	14.212	504.95	0.3

ตารางที่ 5.1 แสดงค่าของแรงดัน กระแสและกำลังงานขณะที่ต่อโหลดความต้านทานของสวิทซ์เฟาเวอร์ซ์พลาซ

เอกสารนี้เป็นเอกสารที่สงวนไว้สำหรับการใช้งานเพื่อการศึกษาเท่านั้น ไม่อนุญาตให้นำไปใช้ประโยชน์ด้านการค้า ไม่ว่ากรณีใดๆ ทั้งสิ้น อีกทั้งห้ามมิให้ดัดแปลงเนื้อหาและต้องอ้างอิงถึงเจ้าของเอกสารทุกครั้งที่มีการนำไปใช้

จากตารางที่ 5.1 จำนวนค่า Load Regulation ได้จาก

$$\%Load\ Regulation = \frac{V_o(no.Load) - V_o(full.Load)}{V_o(no.Load)} \dots\dots\dots (5.1)$$

เมื่อ $V_o(no Load) = 35.42\text{ V}$.

จากการวัดสัญญาณเอาต์พุต ในรูปที่ 5.5 และ 5.8 แรงดันกระเพื่อม (Ripple Voltate)ของเอาต์พุตมีค่าเท่ากับ 2.4 Vp-p

$$\%Ripple = \frac{V_r(rms)}{V_{dc}} \times 100 \dots\dots\dots(5.2)$$

$$\%Ripple = \frac{2.4V_{p-p}}{35.53V} \times 100 = 6.7\%$$

คำนวณหาประสิทธิภาพ (Efficiency) ของวงจรสวิตชิงเพาเวอร์ซัพพลายจาก

$$\%Efficiency = \frac{P_{out}}{P_{in}} \times 100 \dots\dots\dots (5.3)$$

โดย P_{out} คำนวณจากการต่อโหลดความต้านทาน 2.5 โอห์ม แรงดันเอาต์พุตเท่ากับ 35.53 V . และกระแสเท่ากับ 14.212 A . ได้ P_{out} เท่ากับ 504.95 W .

และวัดกระแสอินพุตขณะจับ โหลดความต้านทาน 2.5 โอห์ม ได้เท่ากับ 3.5 A และแรงดันอาร์เอ็มเอส อินพุตเท่ากับ 220 V . ได้ P_{in} เท่ากับ 770 W .

$$\%Efficiency = \frac{504.95}{770} \times 100$$

$$= 65.6\%$$

ประสิทธิภาพของวงจรสวิตชิงเพาเวอร์ซัพพลายมีค่าเท่ากับ 65.5%

ทดลองเปลี่ยนโหลดเป็น Motor และต่ออนุกรมด้วย ความต้านทาน 0.1 โอห์ม เพื่อทำการวัดกระแสกระชากขณะโหลดมีค่าสูงๆ ได้แรงดันเท่ากับ 36 V . กระแสกระชากเท่ากับ 15 A . กำลังงาน 540 W .

เอกสารนี้เป็นเอกสารที่สงวนไว้สำหรับการใช้งานเพื่อการศึกษาเท่านั้น ไม่อนุญาตให้นำไปใช้ประโยชน์ด้านการค้า ไม่ว่าจะกรณีใดๆ ทั้งสิ้น อีกทั้งห้ามมิให้คัดแปลงเนื้อหาและต้องอ้างอิงถึงเจ้าของเอกสารทุกครั้งที่มีการนำไปใช้

5.4 การทดลองวัดแรงดัน และกระแสของชุดควบคุม Motor โดยการป้อนแรงดัน (Vin) จากเพาเวอร์ซัพพลายเข้าเป็นแรงดันเปรียบเทียบกับที่ขา error amp ของ TL494 ชุดควบคุม Motor แล้วทำการวัดแรงดันกระแส และความเร็วขณะที่มีมอเตอร์ขับสายพานของเครื่องออกกำลังกาย โดย ที่มีโหลด น้ำหนัก 60 Kg และไม่มีโหลด ได้ผลการวัดดังตารางที่ 5.2

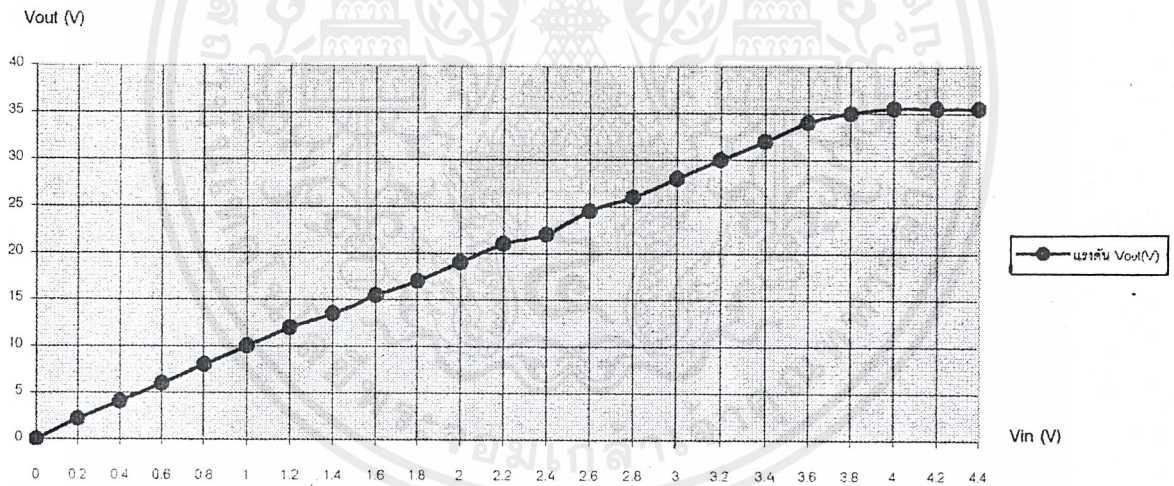
แรงดัน Vin (V)	แรงดัน Vout (V)	กระแส No Load (A)	กระแส Load (A)	ความเร็วรอบ No Load (rpm)	ความเร็วรอบ Load (rpm)
0	0	0	0	0	0
0.2	2.2	0.1	0.4	25	4
0.4	4.1	0.2	0.4	80	45
0.6	6	0.24	0.6	180	97
0.8	8	0.32	0.6	220	160
1	10	0.4	0.8	282	215
1.2	12	0.46	1.2	384	289
1.4	13.5	0.56	1.4	482	395
1.6	15.5	0.58	1.8	530	450
1.8	17	0.64	2	586	504
2	19	0.74	2.4	668	580
2.2	21	0.84	2.6	720	630
2.4	22	0.90	2.8	790	700
2.6	24.5	0.96	2.8	853	795
2.8	26	1.02	3	960	875
3	28	1.1	3.2	1100	951
3.2	30	1.1	3.4	1138	990
3.4	32	1.3	3.6	1176	1084

ตารางที่ 5.2 แสดงค่าแรงดัน กระแสและความเร็วรอบขณะที่มีโหลดและไม่มีโหลดของชุดควบคุม Motor

เอกสารนี้เป็นเอกสารที่สงวนไว้สำหรับการใช้งานเพื่อการศึกษาเท่านั้น ไม่อนุญาตให้นำไปใช้ประโยชน์ด้านการค้าไม่ว่ากรณีใดๆ ทั้งสิ้น อีกทั้งห้ามมิให้ดัดแปลงเนื้อหาและต้องอ้างอิงถึงเจ้าของเอกสารทุกครั้งที่มีการนำไปใช้

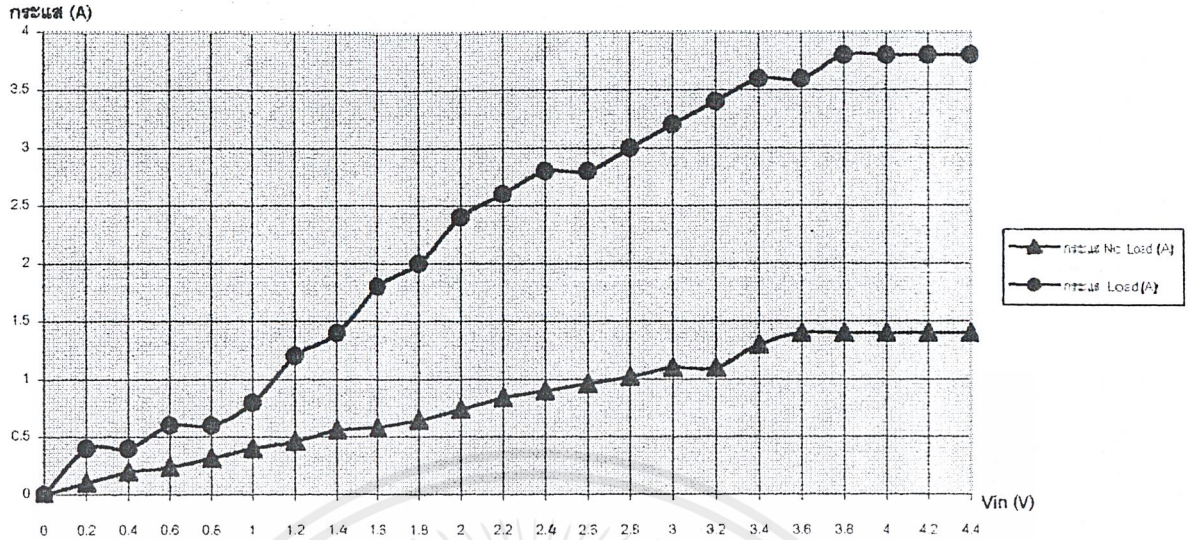
แรงดัน Vin (V)	แรงดัน Vout (V)	กระแส No Load (A)	กระแส Load (A)	ความเร็วรอบ No Load (rpm)	ความเร็วรอบ Load (rpm)
3.6	34	1.4	3.6	1204	1100
3.8	35	1.4	3.8	1301	1214
4	35.5	1.4	3.8	1304	1220
4.2	35.5	1.4	3.8	1304	1230
4.4	35.5	1.4	3.8	1304	1230

ตารางที่ 5.2 (ต่อ) แสดงค่าแรงดันกระแส และความเร็วขณะที่มีโหลดและไม่มีโหลดของชุดควบคุม Motor จากตารางที่ 5.2 นำมาเขียนเป็นกราฟแสดงความสัมพันธ์ระหว่างแรงดัน Vin , Vout ,กระแส และความเร็วรอบ ได้ดังรูปที่ 5.16 – 5.18

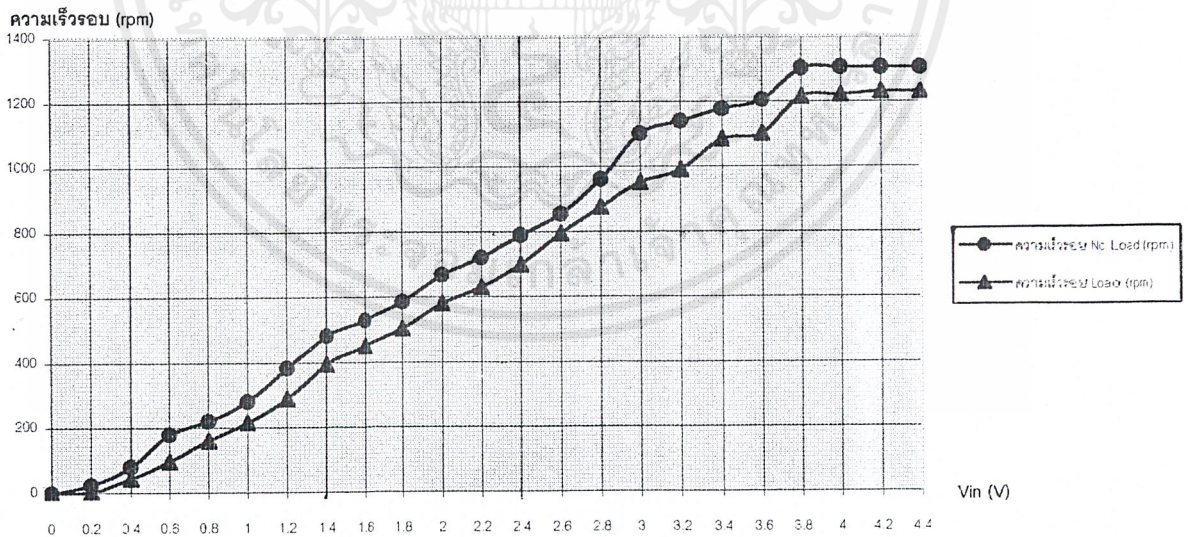


รูปที่ 5.16 กราฟแสดงความสัมพันธ์ระหว่างแรงดัน Vin และ Vout

เอกสารนี้เป็นเอกสารที่สงวนไว้สำหรับการใช้งานเพื่อการศึกษาเท่านั้น ไม่อนุญาตให้นำไปใช้ประโยชน์ด้านการค้า ไม่ว่ากรณีใดๆ ทั้งสิ้น อีกทั้งห้ามมิให้ดัดแปลงเนื้อหาและต้องอ้างอิงถึงเจ้าของเอกสารทุกครั้งที่มีการนำไปใช้



รูปที่ 5.17 กราฟแสดงความสัมพันธ์ระหว่างแรงดัน Vin และกระแสขณะ No Load และมี Load



รูปที่ 5.18 กราฟแสดงความสัมพันธ์ระหว่างแรงดัน Vin และความเร็วรอบขณะ No Load และมี Load

เอกสารนี้เป็นเอกสารที่สงวนไว้สำหรับการใช้งานเพื่อการศึกษาเท่านั้น ไม่อนุญาตให้นำไปใช้ประโยชน์ด้านการค้า ไม่ว่าจะกรณีใดๆ ทั้งสิ้น อีกทั้งห้ามมิให้ดัดแปลงเนื้อหาและต้องอ้างอิงถึงเจ้าของเอกสารทุกครั้งที่มีการนำไปใช้

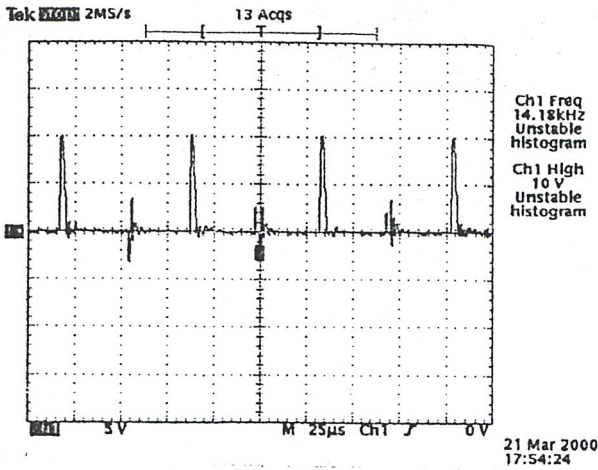
บทที่ 6

บทสรุปและวิจารณ์

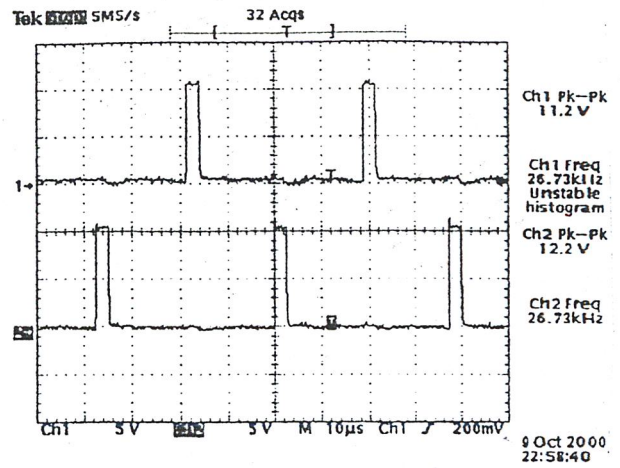
การทดลองแบ่งออกเป็น 2 ชุด ชุดแรกเป็นการทดลองการทำงานของสวิทซ์เพาเวอร์ซัพพลาย และอีกชุดเป็นตัวควบคุมมอเตอร์ ในส่วนของชุดควบคุมมอเตอร์แยกทำเป็น 2 กลุ่ม ส่วนของการทดลองที่ได้ทำนี้เป็นชุดควบคุมแบบเปิดลูป ใช้ IC TL494 PWM เป็นตัวผลิตพัลส์เพื่อไปควบคุมมอเตอร์ โดยป้อนแรงดันที่ อินพุท 0-4 Volt ความเร็วมอเตอร์ก็จะเปลี่ยนไปตามกระแสเฉลี่ยที่เปลี่ยนไป ส่วนอีกกลุ่ม จะทำการสร้างชุดควบคุมแรงดัน 0-4 Volt โดยการใช้ Sensor ตรวจจับพัลส์ของมอเตอร์ในการหมุนแต่ละรอบ แล้วเข้าวงจร Phase lock loop ทำการเปรียบเทียบสัญญาณที่ตัวมอเตอร์กับชุดผลิตสัญญาณอ้างอิงซึ่งได้จากการวัดการเดินของหัวใจ นำสัญญาณมาเข้าไมโครคอนโทรลเลอร์ ประมวลผลจะได้สัญญาณอ้างอิงออกมา สัญญาณ error ที่ได้จากการเปรียบเทียบจะนำมาเปลี่ยนเป็นแรงดันเข้าวงจรฟิลเตอร์ และได้แรงดันเอาต์พุท 0-4 Volt ซึ่งเมื่อนำการทำงานของทั้งสองกลุ่มมารวมกันก็จะได้การควบคุมมอเตอร์แบบลูปปิด จากหลักการของ phase lock loop ความเร็วของมอเตอร์จะไม่เปลี่ยนแปลงถ้าพัลส์อ้างอิงไม่เปลี่ยนแปลงสถานะ Lock จะยังคงอยู่ได้ต่อไป จากการหลักการทำงานทั้งหมดของชุดควบคุมได้นำมาประยุกต์ใช้กับเครื่องออกกำลังกายแบบลู่วิ่งเพื่อควบคุมความเร็วให้ได้ตามต้องการ หรือควบคุมความเร็วจากอัตราการเดินของหัวใจ

สวิทซ์เพาเวอร์ซัพพลายต้องการขับกระแสให้ได้สูง 15 A. แรงดัน 36 V. ในการทดลองสามารถขับได้ 14.21 A แต่ในการทดลองนี้ใช้สวิทซ์เพาเวอร์ซัพพลายขับมอเตอร์ ขนาด 36 V. 8 A. ซึ่งมอเตอร์จะถูกควบคุมจากชุดควบคุมและมีวงจรลิมิตกระแส 10 A. ซึ่งก็เพียงพอสำหรับใช้สวิทซ์เพาเวอร์ซัพพลายชุดนี้ขับมอเตอร์ จากการทดลองในเทอมแรกได้ใช้ Transformer เป็นตัวแยกกราวด์สัญญาณที่ได้จะเกิด noise ทำให้มีปัญหาคือ MOSFET ร้อนมากจึงเปลี่ยนมาใช้ opto H11L2 ซึ่งโครงสร้างภายในเป็น Schmitt trigger ทำให้สัญญาณมีค่า Rise time และ Fall time มีค่าน้อยสามารถลดความร้อนที่เกิดใน MOSFET ได้ จากรูปที่ 6.1 เป็นการเปรียบเทียบสัญญาณที่ได้จากการจับเกทด้วย Transformer และ การจับด้วย opto H11L2

เอกสารนี้เป็นเอกสารที่สงวนไว้สำหรับการใช้งานเพื่อการศึกษาเท่านั้น ไม่อนุญาตให้นำไปใช้ประโยชน์ด้านการค้า ไม่ว่าจะกรณีใดๆ ทั้งสิ้น อีกทั้งห้ามมิให้ดัดแปลงเนื้อหาและต้องอ้างอิงถึงเจ้าของเอกสารทุกครั้งที่มีการนำไปใช้



จับด้วย Transformer



จับด้วย Opto H11L2

รูปที่ 6.1 เปรียบเทียบสัญญาณจับเกทจาก Transformer และ Opto H11L2

ในส่วนของคุณควบคุมมอเตอร์ได้สร้างวงจรมอเตอร์กระแสไว้ที่ 10 A. จากการทดลอง open loop โดยการป้อนแรงดันอินพุต 0-4 Volt ความเร็วของมอเตอร์ก็จะเปลี่ยนไปตามขนาดของแรงดันอินพุตจาก รูปที่ 5.18 จะสังเกตได้ว่าการเปลี่ยนของความเร็วเกือบจะเปลี่ยนแปลงอย่างลิเนียร์กับแรงดัน V_{in} ที่ป้อนให้ ในการทดลองตอนแรกใช้ MOSFET IRF 540 เพียงตัวเดียว MOSFET จะร้อนมากจึงได้ทำการขนานเข้าไปอีก 2 ตัวในการใช้งานปกติความร้อนของ MOSFET ลดลงมาก ซึ่งพิจารณาถ้าต่อตัวเดียวกระแสไหลผ่านจุดเดียว ซึ่งภายใน MOSFET จะมีค่าความต้านทานอยู่จึงทำให้มีความร้อนเกิดขึ้น เมื่อนำมาต่อขนานกันหลายตัว กระแสไหลได้หลายทางจึงทำให้ความร้อนลดลงในการทดสอบสถานะไม่มีโหลด มอเตอร์กินกระแสต่ำประมาณ 1.4 A. ขณะมีโหลดกินกระแสประมาณ 3.5 A. การทดสอบที่น้ำหนัก 50-80 kg. ผลที่ได้ไม่ต่างกันมากนัก

กิตติกรรมประกาศ

ผู้จัดทำปริญญาบัตรขอขอบพระคุณอาจารย์ที่ปรึกษา อ. พิชัย คุศิริวานิชกร และอาจารย์ในภาควิชาอิเล็กทรอนิกส์ทุกท่านที่ให้ข้อมูล ความรู้ที่เกี่ยวข้องกับโครงการ และแนวทางในการแก้ไขปัญหาในการทำโครงการชิ้นนี้ เป็นผลให้โครงการชิ้นนี้สำเร็จลุล่วงไปด้วยดี และขอขอบพระคุณพ่อแม่ พี่ๆ น้องๆ และเพื่อนทุกคน ที่ให้กำลังใจที่ดีในการทำโครงการจนสำเร็จ

ผู้จัดทำ

นาย บุญสิทธิ์ ศรีศิลป์

นาย วิเชียร มาเรียน

นาย สมโชค ชุนคำ

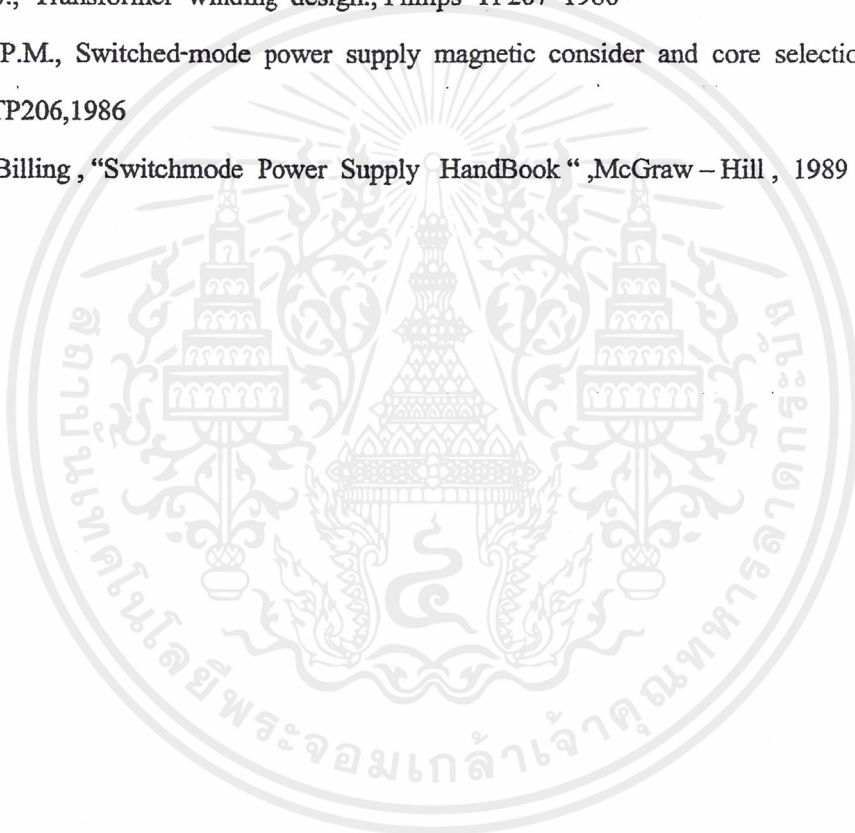
9/3/44



เอกสารนี้เป็นเอกสารที่สงวนไว้สำหรับการใช้งานเพื่อการศึกษาเท่านั้น ไม่อนุญาตให้นำไปใช้ประโยชน์ด้านการค้า
ไม่ว่ากรณีใดๆ ทั้งสิ้น อีกทั้งห้ามมิให้ดัดแปลงเนื้อหาและต้องอ้างอิงถึงเจ้าของเอกสารทุกครั้งที่มีการนำไปใช้

หนังสืออ้างอิง

1. ประสิทธิ์พร แซ่เฮ็ง, "สวิตชิงเพาเวอร์ซัพพลาย ตอน 2" ,วารสารเซมิตคอนดักเตอร์อิเล็กทรอนิกส์, ฉบับที่ 113, 2535 หน้า 138-145
2. สุวัฒน์ คั่น, "เทคนิคและการออกแบบสวิตชิงเพาเวอร์ซัพพลาย" เอนเทลไทย, 245 หน้า 2538
3. โยธิน เปรมปราชญ์, "ระบบเซอร์โวและอิเล็กทรอนิกส์คอนโทรลมอเตอร์" สถาบันเทคโนโลยีพระจอมเกล้าเจ้าคุณทหารลาดกระบัง, พิมพ์ครั้งที่ 1, 2533
4. Jongsma, J., Transformer winding design., Philips TP207 1986
5. Bracke, L.P.M., Switched-mode power supply magnetic consider and core selection., Philips TP206, 1986
6. Keith H. Billing, "Switchmode Power Supply HandBook" ,McGraw – Hill , 1989



เอกสารนี้เป็นเอกสารที่สงวนไว้สำหรับการใช้งานเพื่อการศึกษาเท่านั้น ไม่อนุญาตให้นำไปใช้ประโยชน์ด้านการค้า
ไม่ว่ากรณีใดๆ ทั้งสิ้น อีกทั้งห้ามมิให้ดัดแปลงเนื้อหาและต้องอ้างอิงถึงเจ้าของเอกสารทุกครั้งที่มีการนำไปใช้

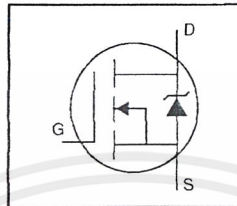
ภาคผนวก



เอกสารนี้เป็นเอกสารที่สงวนไว้สำหรับการใช้งานเพื่อการศึกษาเท่านั้น ไม่อนุญาตให้นำไปใช้ประโยชน์ด้านการค้า
ไม่ว่ากรณีใดๆ ทั้งสิ้น อีกทั้งห้ามมิให้ดัดแปลงเนื้อหาและต้องอ้างอิงถึงเจ้าของเอกสารทุกครั้งที่มีการนำไปใช้

HEXFET® Power MOSFET

- Dynamic dv/dt Rating
- Repetitive Avalanche Rated
- Isolated Central Mounting Hole
- Fast Switching
- Ease of Paralleling
- Simple Drive Requirements

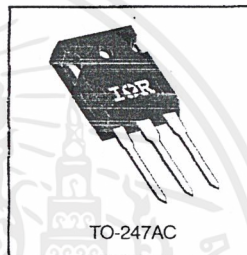


$V_{DSS} = 400V$
$R_{DS(on)} = 0.30\Omega$
$I_D = 16A$

Description

Third Generation HEXFETs from International Rectifier provide the designer with the best combination of fast switching, ruggedized device design, low on-resistance and cost-effectiveness.

The TO-247 package is preferred for commercial-industrial applications where higher power levels preclude the use of TO-220 devices. The TO-247 is similar but superior to the earlier TO-218 package because of its isolated mounting hole. It also provides greater creepage distance between pins to meet the requirements of most safety specifications.



DATA SHEETS

Absolute Maximum Ratings

	Parameter	Max.	Units
$I_D @ T_C = 25^\circ C$	Continuous Drain Current, $V_{GS} @ 10 V$	16	A
$I_D @ T_C = 100^\circ C$	Continuous Drain Current, $V_{GS} @ 10 V$	10	
I_{DM}	Pulsed Drain Current ①	64	
$P_D @ T_C = 25^\circ C$	Power Dissipation	190	W
	Linear Derating Factor	1.5	W/°C
V_{GS}	Gate-to-Source Voltage	± 20	V
E_{AS}	Single Pulse Avalanche Energy ②	390	mJ
I_{AR}	Avalanche Current ①	16	A
E_{AR}	Repetitive Avalanche Energy ①	19	mJ
dv/dt	Peak Diode Recovery dv/dt ③	4.0	V/ns
T_J	Operating Junction and	-55 to +150	°C
T_{STG}	Storage Temperature Range		
	Soldering Temperature, for 10 seconds		
	Mounting Torque, 6-32 or M3 screw	10 lbf-in (1.1 N·m)	

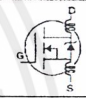
Thermal Resistance

	Parameter	Min.	Typ.	Max.	Units
$R_{\theta JC}$	Junction-to-Case	—	—	0.65	°C/W
$R_{\theta CS}$	Case-to-Sink, Flat, Greased Surface	—	0.24	—	
$R_{\theta JA}$	Junction-to-Ambient	—	—	40	

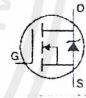
IRFP350



Electrical Characteristics @ T_J = 25°C (unless otherwise specified)

	Parameter	Min.	Typ.	Max.	Units	Test Conditions
V _{(BR)DSS}	Drain-to-Source Breakdown Voltage	400	—	—	V	V _{GS} =0V, I _D =250μA
ΔV _{(BR)DSS} /ΔT _J	Breakdown Voltage Temp. Coefficient	—	0.51	—	V/°C	Reference to 25°C, I _D =1mA
R _{DS(on)}	Static Drain-to-Source On-Resistance	—	—	0.30	Ω	V _{GS} =10V, I _D =9.6A ④
V _{GS(th)}	Gate Threshold Voltage	2.0	—	4.0	V	V _{DS} =V _{GS} , I _D =250μA
g _{fs}	Forward Transconductance	10	—	—	S	V _{DS} =50V, I _D =9.6A ④
I _{DSS}	Drain-to-Source Leakage Current	—	—	25	μA	V _{DS} =400V, V _{GS} =0V
I _{GSS}	Gate-to-Source Forward Leakage	—	—	100	nA	V _{GS} =20V
I _{GSS}	Gate-to-Source Reverse Leakage	—	—	-100	nA	V _{GS} =-20V
Q _g	Total Gate Charge	—	—	150	nC	I _D =16A
Q _{gs}	Gate-to-Source Charge	—	—	23	nC	V _{DS} =320V
Q _{gd}	Gate-to-Drain ("Miller") Charge	—	—	80	nC	V _{GS} =10V See Fig. 6 and 13 ④
t _{s(on)}	Turn-On Delay Time	—	16	—	ns	V _{DD} =200V
t _r	Rise Time	—	49	—	ns	I _D =16A
t _{s(off)}	Turn-Off Delay Time	—	87	—	ns	R _G =6.2Ω
t _f	Fall Time	—	47	—	ns	R _D =12Ω See Figure 10 ④
L _D	Internal Drain Inductance	—	5.0	—	nH	Between lead, 6 mm (0.25in.) from package and center of die contact 
L _S	Internal Source Inductance	—	13	—	nH	
C _{iss}	Input Capacitance	—	2600	—	pF	V _{GS} =0V
C _{oss}	Output Capacitance	—	660	—	pF	V _{DS} =25V
C _{rss}	Reverse Transfer Capacitance	—	250	—	pF	f=1.0MHz See Figure 5

Source-Drain Ratings and Characteristics

	Parameter	Min.	Typ.	Max.	Units	Test Conditions
I _S	Continuous Source Current (Body Diode)	—	—	16	A	MOSFET symbol showing the integral reverse p-n junction diode. 
I _{SM}	Pulsed Source Current (Body Diode) ①	—	—	64	A	
V _{SD}	Diode Forward Voltage	—	—	1.6	V	T _J =25°C, I _S =16A, V _{GS} =0V ②
t _{rr}	Reverse Recovery Time	—	380	570	ns	T _J =25°C, I _F =16A
Q _{rr}	Reverse Recovery Charge	—	4.7	7.1	μC	di/dt=100A/μs ③
t _{on}	Forward Turn-On Time	Intrinsic turn-on time is negligible (turn-on is dominated by L _S +L _D)				

Notes:

- ① Repetitive rating; pulse width limited by max. junction temperature (See Figure 11)
- ② V_{DD}=50V, starting T_J=25°C, L=2.7mH, R_G=25Ω, I_{AS}=16A (See Figure 12)
- ③ I_{SD}≤16A, di/dt≤200A/μs, V_{DD}≤V_{(BR)DSS}, T_J≤150°C
- ④ Pulse width ≤ 300 μs; duty cycle ≤2%.

เอกสารนี้เป็นเอกสารที่สงวนไว้สำหรับการใช้งานเพื่อการศึกษาเท่านั้น ไม่อนุญาตให้นำไปใช้ประโยชน์ด้านการค้า
ไม่ว่ากรณีใดๆ ทั้งสิ้น อีกทั้งห้ามมิให้ดัดแปลงเนื้อหาและต้องอ้างอิงถึงเจ้าของเอกสารทุกครั้งที่มีการนำไปใช้

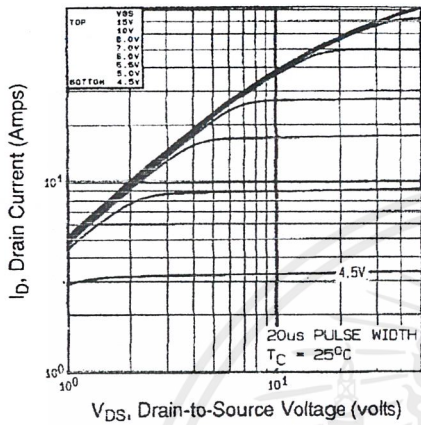


Fig 1. Typical Output Characteristics,
 $T_C=25^\circ\text{C}$

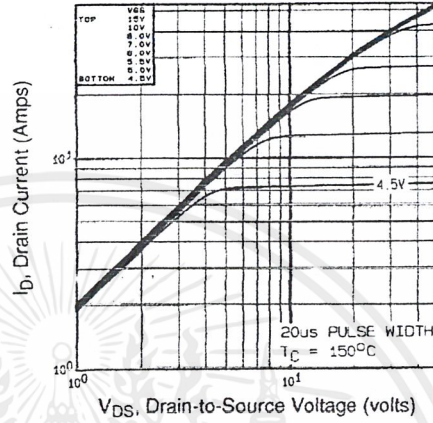


Fig 2. Typical Output Characteristics,
 $T_C=150^\circ\text{C}$

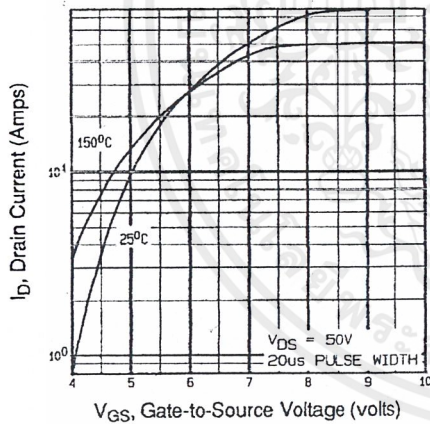


Fig 3. Typical Transfer Characteristics

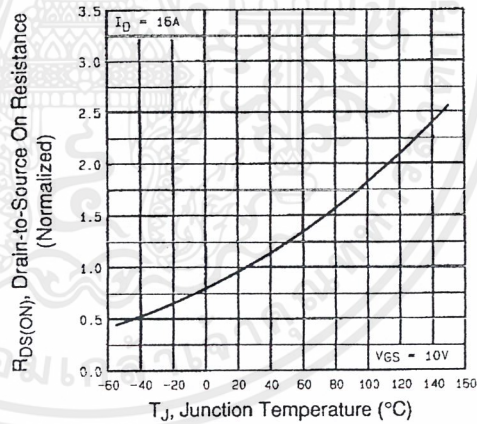


Fig 4. Normalized On-Resistance
Vs. Temperature

DATA SHEETS

เอกสารนี้เป็นเอกสารที่สงวนไว้สำหรับการใช้งานเพื่อการศึกษาเท่านั้น ไม่อนุญาตให้นำไปใช้ประโยชน์ด้านการค้า
ไม่ว่ากรณีใดๆ ทั้งสิ้น อีกทั้งห้ามมิให้ดัดแปลงเนื้อหาและต้องอ้างอิงถึงเจ้าของเอกสารทุกครั้งที่มีการนำไปใช้

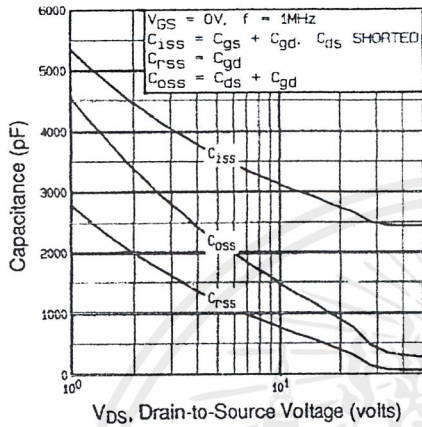


Fig 5. Typical Capacitance Vs. Drain-to-Source Voltage

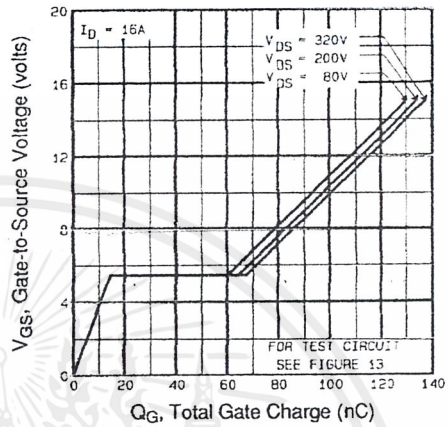


Fig 6. Typical Gate Charge Vs. Gate-to-Source Voltage

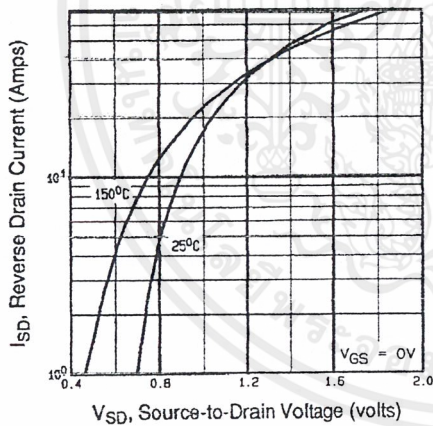


Fig 7. Typical Source-Drain Diode Forward Voltage

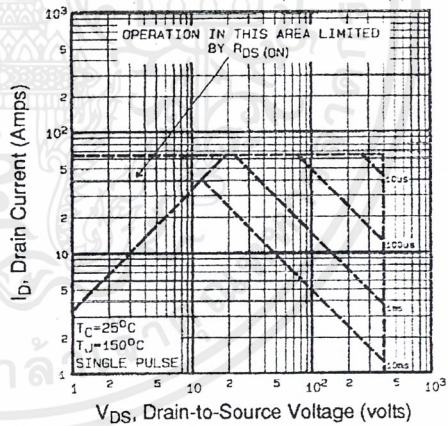


Fig 8. Maximum Safe Operating Area

เอกสารนี้เป็นเอกสารที่สงวนไว้สำหรับการใช้งานเพื่อการศึกษาเท่านั้น ไม่อนุญาตให้นำไปใช้ประโยชน์ด้านการค้า ไม่ว่าจะกรณีใดๆ ทั้งสิ้น อีกทั้งห้ามมิให้ดัดแปลงเนื้อหาและต้องอ้างอิงถึงเจ้าของเอกสารทุกครั้งที่มีการนำไปใช้



IRFP350

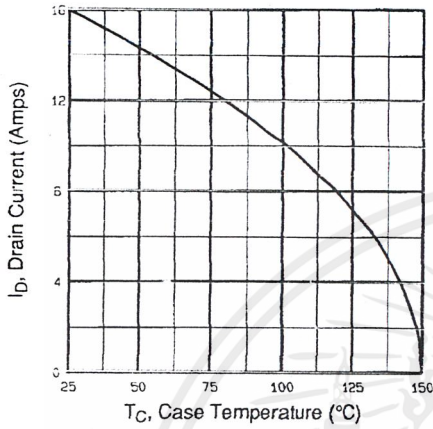


Fig 9. Maximum Drain Current Vs. Case Temperature

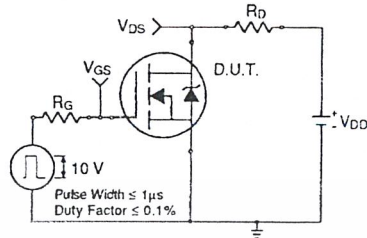


Fig 10a. Switching Time Test Circuit

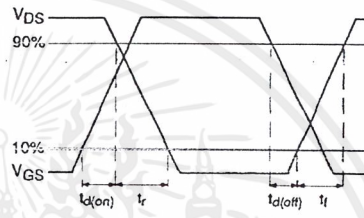


Fig 10b. Switching Time Waveforms

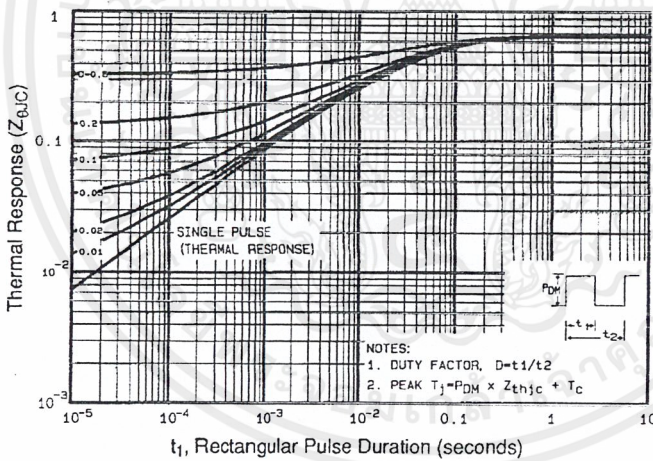


Fig 11. Maximum Effective Transient Thermal Impedance, Junction-to-Case

เอกสารนี้เป็นเอกสารที่สงวนไว้สำหรับการใช้งานเพื่อการศึกษาเท่านั้น ไม่อนุญาตให้นำไปใช้ประโยชน์ด้านการค้า ไม่ว่าจะกรณีใดๆ ทั้งสิ้น อีกทั้งห้ามมิให้ดัดแปลงเนื้อหาและต้องอ้างอิงถึงเจ้าของเอกสารทุกครั้งที่มีการนำไปใช้

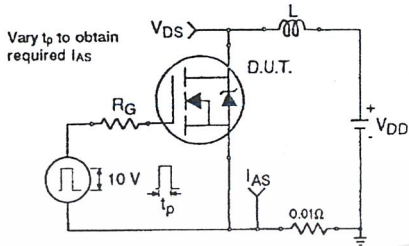


Fig 12a. Unclamped Inductive Test Circuit

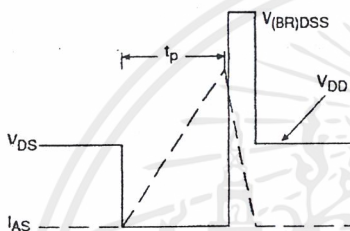


Fig 12b. Unclamped Inductive Waveforms

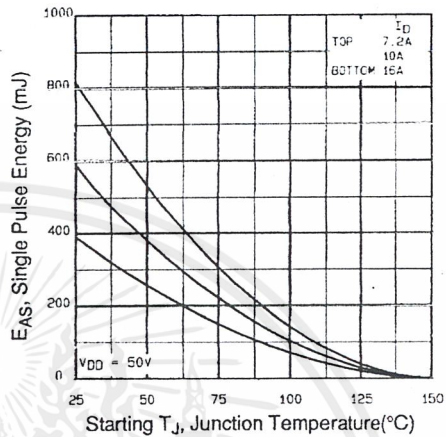


Fig 12c. Maximum Avalanche Energy Vs. Drain Current

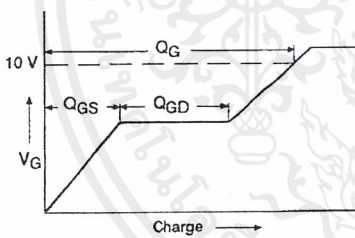


Fig 13a. Basic Gate Charge Waveform

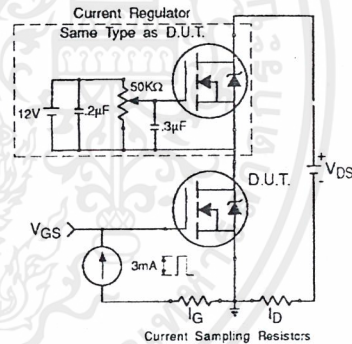


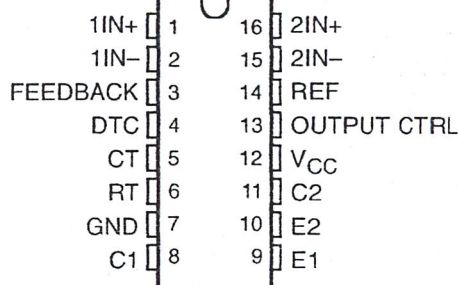
Fig 13b. Gate Charge Test Circuit

Appendix A: Figure 14, Peak Diode Recovery dv/dt Test Circuit – See page 1505

Appendix B: Package Outline Mechanical Drawing – See page 1511

Appendix C: Part Marking Information – See page 1517

- Complete PWM Power Control Circuitry
- Uncommitted Outputs for 200-mA Sink or Source Current
- Output Control Selects Single-Ended or Push-Pull Operation
- Internal Circuitry Prohibits Double Pulse at Either Output
- Variable Dead Time Provides Control Over Total Range
- Internal Regulator Provides a Stable 5-V Reference Supply With 5% Tolerance
- Circuit Architecture Allows Easy Synchronization

D, N, NS, OR PW PACKAGE
(TOP VIEW)

description

The TL494 incorporates all the functions required in the construction of a pulse-width-modulation (PWM) control circuit on a single chip. Designed primarily for power-supply control, this device offers the flexibility to tailor the power-supply control circuitry to a specific application.

The TL494 contains two error amplifiers, an on-chip adjustable oscillator, a dead-time control (DTC) comparator, a pulse-steering control flip-flop, a 5-V, 5%-precision regulator, and output-control circuits.

The error amplifiers exhibit a common-mode voltage range from -0.3 V to $V_{CC} - 2\text{ V}$. The dead-time control comparator has a fixed offset that provides approximately 5% dead time. The on-chip oscillator can be bypassed by terminating RT to the reference output and providing a sawtooth input to CT, or it can drive the common circuits in synchronous multiple-rail power supplies.

The uncommitted output transistors provide either common-emitter or emitter-follower output capability. The TL494 provides for push-pull or single-ended output operation, which can be selected through the output-control function. The architecture of this device prohibits the possibility of either output being pulsed twice during push-pull operation.

The TL494C is characterized for operation from 0°C to 70°C . The TL494I is characterized for operation from -40°C to 85°C .

FUNCTION TABLE

INPUT TO OUTPUT CTRL	OUTPUT FUNCTION
$V_I = \text{GND}$	Single-ended or parallel output
$V_I = V_{ref}$	Normal push-pull operation



Please be aware that an important notice concerning availability, standard warranty, and use in critical applications of Texas Instruments semiconductor products and disclaimers thereto appears at the end of this data sheet.

PRODUCTION DATA information is current as of publication date. Products conform to specifications per the terms of Texas Instruments standard warranty. Production processing does not necessarily include testing of all parameters.

 **TEXAS
INSTRUMENTS**

Copyright © 1999, Texas Instruments Incorporated

POST OFFICE BOX 655303 • DALLAS, TEXAS 75265

เอกสารนี้เป็นเอกสารที่สงวนไว้สำหรับการใช้งานเพื่อการศึกษาเท่านั้น อนุญาตให้นำไปใช้ประโยชน์ด้านการค้า
ไม่ว่ากรณีใดๆ ทั้งสิ้น อีกทั้งห้ามมิให้ดัดแปลงเนื้อหาและต้องอ้างอิงถึงเจ้าของเอกสารทุกครั้งที่มีการนำไปใช้

absolute maximum ratings over operating free-air temperature range (unless otherwise noted)†

		TL494	UNIT	
Supply voltage, V_{CC} (see Note 1)		41	V	
Amplifier input voltage, V_I		$V_{CC}+0.3$	V	
Collector output voltage, V_O		41	V	
Collector output current, I_O		250	mA	
Package thermal impedance, θ_{JA} (see Notes 2 and 3)	D package	73	°C	
	N package	88		
	NS package	64		
	PW package	108		
Lead temperature 1,6 mm (1/16 inch) from case for 10 seconds		D, N, or PW package	260	°C
Storage temperature range, T_{stg}			-65 to 150	°C

† Stresses beyond those listed under "absolute maximum ratings" may cause permanent damage to the device. These are stress ratings only, and functional operation of the device at these or any other conditions beyond those indicated under "recommended operating conditions" is not implied. Exposure to absolute-maximum-rated conditions for extended periods may affect device reliability.

- NOTES: 1. All voltage values, except differential voltages, are with respect to the network ground terminal.
2. Maximum power dissipation is a function of $T_J(\text{max})$, θ_{JA} , and T_A . The maximum allowable power dissipation at any allowable ambient temperature is $P_D = (T_J(\text{max}) - T_A)/\theta_{JA}$. Operating at the absolute maximum T_J of 150°C can impact reliability.
3. The package thermal impedance is calculated in accordance with JESD 51, except for through-hole packages, which use a trace length of zero.

recommended operating conditions

	TL494		UNIT	
	MIN	MAX		
Supply voltage, V_{CC}	7	40	V	
Amplifier input voltage, V_I	-0.3	$V_{CC}-2$	V	
Collector output voltage, V_O		40	V	
Collector output current (each transistor)		200	mA	
Current into feedback terminal		0.3	mA	
Oscillator frequency, f_{osc}	1	300	kHz	
Timing capacitor, C_T	0.47	10000	nF	
Timing resistor, R_T	1.8	500	k Ω	
Operating free-air temperature, T_A	TL494C	0	70	°C
	TL494I	-40	85	



PULSE-WIDTH-MODULATION CONTROL CIRCUITS

SLVS074B – JANUARY 1983 – REVISED JULY 1999

electrical characteristics over recommended operating free-air temperature range, $V_{CC} = 15\text{ V}$, $f = 10\text{ kHz}$ (unless otherwise noted)

reference section

PARAMETER	TEST CONDITION†	TL494C, TL494I			UNIT
		MIN	TYP‡	MAX	
Output voltage (REF)	$I_O = 1\text{ mA}$	4.75	5	5.25	V
Input regulation	$V_{CC} = 7\text{ V to }40\text{ V}$		2	25	mV
Output regulation	$I_O = 1\text{ mA to }10\text{ mA}$		1	15	mV
Output voltage change with temperature	$\Delta T_A = \text{MIN to MAX}$		2	10	mV/V
Short-circuit output current§	REF = 0 V		25		mA

† For conditions shown as MIN or MAX, use the appropriate value specified under recommended operating conditions.

‡ All typical values, except for parameter changes with temperature, are at $T_A = 25^\circ\text{C}$.

§ Duration of the short circuit should not exceed one second.

oscillator section, $C_T = 0.01\ \mu\text{F}$, $R_T = 12\ \text{k}\Omega$ (see Figure 1)

PARAMETER	TEST CONDITION†	TL494, TL494I			UNIT
		MIN	TYP‡	MAX	
Frequency			10		kHz
Standard deviation of frequency¶	All values of V_{CC} , C_T , R_T , and T_A constant		100		Hz/kHz
Frequency change with voltage	$V_{CC} = 7\text{ V to }40\text{ V}$, $T_A = 25^\circ\text{C}$		1		Hz/kHz
Frequency change with temperature#	$\Delta T_A = \text{MIN to MAX}$			10	Hz/kHz

† For conditions shown as MIN or MAX, use the appropriate value specified under recommended operating conditions.

‡ All typical values, except for parameter changes with temperature, are at $T_A = 25^\circ\text{C}$.

¶ Standard deviation is a measure of the statistical distribution about the mean as derived from the formula:

$$\sigma = \sqrt{\frac{\sum_{n=1}^N (x_n - \bar{X})^2}{N - 1}}$$

Temperature coefficient of timing capacitor and timing resistor are not taken into account.

error-amplifier section (see Figure 2)

PARAMETER	TEST CONDITIONS	TL494, TL494I			UNIT
		MIN	TYP‡	MAX	
Input offset voltage	$V_O (\text{FEEDBACK}) = 2.5\text{ V}$		2	10	mV
Input offset current	$V_O (\text{FEEDBACK}) = 2.5\text{ V}$		25	250	nA
Input bias current	$V_O (\text{FEEDBACK}) = 2.5\text{ V}$		0.2	1	μA
Common-mode input voltage range	$V_{CC} = 7\text{ V to }40\text{ V}$	-0.3 to $V_{CC}-2$			V
Open-loop voltage amplification	$\Delta V_O = 3\text{ V}$, $R_L = 2\ \text{k}\Omega$, $V_O = 0.5\text{ V to }3.5\text{ V}$	70	95		dB
Unity-gain bandwidth	$V_O = 0.5\text{ V to }3.5\text{ V}$, $R_L = 2\ \text{k}\Omega$		800		kHz
Common-mode rejection ratio	$\Delta V_O = 40\text{ V}$, $T_A = 25^\circ\text{C}$	65	80		dB
Output sink current (FEEDBACK)	$V_{ID} = -15\text{ mV to }-5\text{ V}$, $V (\text{FEEDBACK}) = 0.7\text{ V}$	0.3	0.7		mA
Output source current (FEEDBACK)	$V_{ID} = 15\text{ mV to }5\text{ V}$, $V (\text{FEEDBACK}) = 3.5\text{ V}$	-2			mA

‡ All typical values, except for parameter changes with temperature, are at $T_A = 25^\circ\text{C}$.



POST OFFICE BOX 655303 • DALLAS, TEXAS 75265

เอกสารนี้เป็นเอกสารที่สงวนไว้สำหรับใช้เฉพาะในโครงการที่ขอใช้เท่านั้น ไม่อนุญาตให้นำไปใช้ประโยชน์ด้านการค้า
ไม่ว่ากรณีใดๆ ทั้งสิ้น อีกทั้งห้ามมิให้คัดลอกเนื้อหาและต้องอ้างอิงถึงเจ้าของเอกสารทุกครั้งที่มีการนำไปใช้

electrical characteristics over recommended operating free-air temperature range, $V_{CC} = 15\text{ V}$, $f = 10\text{ kHz}$, $T_A = 25^\circ\text{C}$ (unless otherwise noted)

reference section

PARAMETER	TEST CONDITION†	TL494Y			UNIT
		MIN	TYP†	MAX	
Output voltage (REF)	$I_O = 1\text{ mA}$		5		V
Input regulation	$V_{CC} = 7\text{ V to }40\text{ V}$		2		mV
Output regulation	$I_O = 1\text{ mA to }10\text{ mA}$		1		mV
Short-circuit output current‡	REF = 0 V		25		mA

† All typical values, except for parameter changes with temperature, are at $T_A = 25^\circ\text{C}$.

‡ Duration of the short circuit should not exceed one second.

oscillator section, $C_T = 0.01\ \mu\text{F}$, $R_T = 12\text{ k}\Omega$ (see Figure 1)

PARAMETER	TEST CONDITION†	TL494Y			UNIT
		MIN	TYP†	MAX	
Frequency			10		kHz
Standard deviation of frequency§	All values of V_{CC} , C_T , R_T , and T_A constant		100		Hz/kHz
Frequency change with voltage	$V_{CC} = 7\text{ V to }40\text{ V}$		1		Hz/kHz

† All typical values, except for parameter changes with temperature, are at $T_A = 25^\circ\text{C}$.

§ Standard deviation is a measure of the statistical distribution about the mean as derived from the formula:

$$\sigma = \sqrt{\frac{\sum_{n=1}^N (x_n - \bar{X})^2}{N - 1}}$$

error-amplifier section (see Figure 2)

PARAMETER	TEST CONDITIONS	TL494Y			UNIT
		MIN	TYP†	MAX	
Input offset voltage	V_O (FEEDBACK) = 2.5 V		2		mV
Input offset current	V_O (FEEDBACK) = 2.5 V		25		nA
Input bias current	V_O (FEEDBACK) = 2.5 V		0.2		μA
Open-loop voltage amplification	$\Delta V_O = 3\text{ V}$, $R_L = 2\text{ k}\Omega$, $V_O = 0.5\text{ V to }3.5\text{ V}$		95		dB
Unity-gain bandwidth	$V_O = 0.5\text{ V to }3.5\text{ V}$, $R_L = 2\text{ k}\Omega$		800		kHz
Common-mode rejection ratio	$\Delta V_O = 40\text{ V}$		80		dB
Output sink current (FEEDBACK)	$V_{ID} = -15\text{ mV to }-5\text{ V}$, V (FEEDBACK) = 0.7 V		0.7		mA

† All typical values, except for parameter changes with temperature, are at $T_A = 25^\circ\text{C}$.



POST OFFICE BOX 655303 • DALLAS, TEXAS 75265

เอกสารนี้เป็นเอกสารที่สงวนไว้สำหรับการใช้งานเพื่อการศึกษาเท่านั้น ไม่นอนุญาตให้นำไปใช้ประโยชน์ด้านการค้า
ไม่ว่ากรณีใดๆ ทั้งสิ้น อีกทั้งห้ามมิให้ดัดแปลงเนื้อหาและต้องอ้างอิงถึงเจ้าของเอกสารทุกครั้งที่มีการนำไปใช้

PULSE-WIDTH-MODULATION CONTROL CIRCUITS

LVS074B - JANUARY 1983 - REVISED JULY 1999

Electrical characteristics over recommended operating free-air temperature range, $V_{CC} = 15\text{ V}$, $f = 10\text{ kHz}$ (unless otherwise noted)

Output section

PARAMETER	TEST CONDITIONS	TL494, TL494Y			UNIT
		MIN	TYP†	MAX	
Collector off-state current	$V_{CE} = 40\text{ V}$, $V_{CC} = 40\text{ V}$		2	100	μA
Emitter off-state current	$V_{CC} = V_C = 40\text{ V}$, $V_E = 0$			-100	μA
Collector-emitter saturation voltage	Common emitter $V_E = 0$, $I_C = 200\text{ mA}$		1.1	1.3	V
	Emitter follower $V_O(C1\text{ or }C2) = 15\text{ V}$, $I_E = -200\text{ mA}$		1.5	2.5	
Output control input current	$V_I = V_{ref}$			3.5	mA

† All typical values except for temperature coefficient are at $T_A = 25^\circ\text{C}$.

Dead-time control section (see Figure 1)

PARAMETER	TEST CONDITIONS	TL494, TL494Y			UNIT
		MIN	TYP†	MAX	
Input bias current (DEAD-TIME CTRL)	$V_I = 0\text{ to }5.25\text{ V}$		-2	-10	μA
Maximum duty cycle, each output	V_I (DEAD-TIME CTRL) = 0, $C_T = 0.1\ \mu\text{F}$, $R_T = 12\text{ k}\Omega$		45%		
Input threshold voltage (DEAD-TIME CTRL)	Zero duty cycle		3	3.3	V
	Maximum duty cycle		0		

† All typical values except for temperature coefficient are at $T_A = 25^\circ\text{C}$.

PWM comparator section (see Figure 1)

PARAMETER	TEST CONDITIONS	TL494, TL494Y			UNIT
		MIN	TYP†	MAX	
Input threshold voltage (FEEDBACK)	Zero duty cycle		4	4.5	V
Input sink current (FEEDBACK)	V (FEEDBACK) = 0.7 V	0.3	0.7		mA

† All typical values except for temperature coefficient are at $T_A = 25^\circ\text{C}$.

Total device

PARAMETER	TEST CONDITIONS	TL494, TL494Y			UNIT
		MIN	TYP†	MAX	
Standby supply current	$R_T = V_{ref}$, All other inputs and outputs open	$V_{CC} = 15\text{ V}$	6	10	mA
		$V_{CC} = 40\text{ V}$	9	15	
Average supply current	V_I (DEAD-TIME CTRL) = 2 V, See Figure 1		7.5		mA

† All typical values except for temperature coefficient are at $T_A = 25^\circ\text{C}$.

Switching characteristics, $T_A = 25^\circ\text{C}$

PARAMETER	TEST CONDITIONS	TL494, TL494Y			UNIT
		MIN	TYP†	MAX	
Rise time	Common-emitter configuration, See Figure 3		100	200	ns
Fall time			25	100	
Rise time	Emitter-follower configuration, See Figure 4		100	200	ns
Fall time			40	100	

† All typical values except for temperature coefficient are at $T_A = 25^\circ\text{C}$.



POST OFFICE BOX 655303 • DALLAS, TEXAS 75265

เอกสารนี้เป็นเอกสารที่สงวนไว้สำหรับการใช้งานเพื่อการศึกษาเท่านั้น ไม่อนุญาตให้นำไปใช้ประโยชน์ด้านการค้า
ไม่ว่ากรณีใดๆ ทั้งสิ้น อีกทั้งห้ามมิให้ดัดแปลงเนื้อหาและต้องอ้างอิงถึงเจ้าของเอกสารทุกครั้งที่มีการนำไปใช้

PARAMETER MEASUREMENT INFORMATION

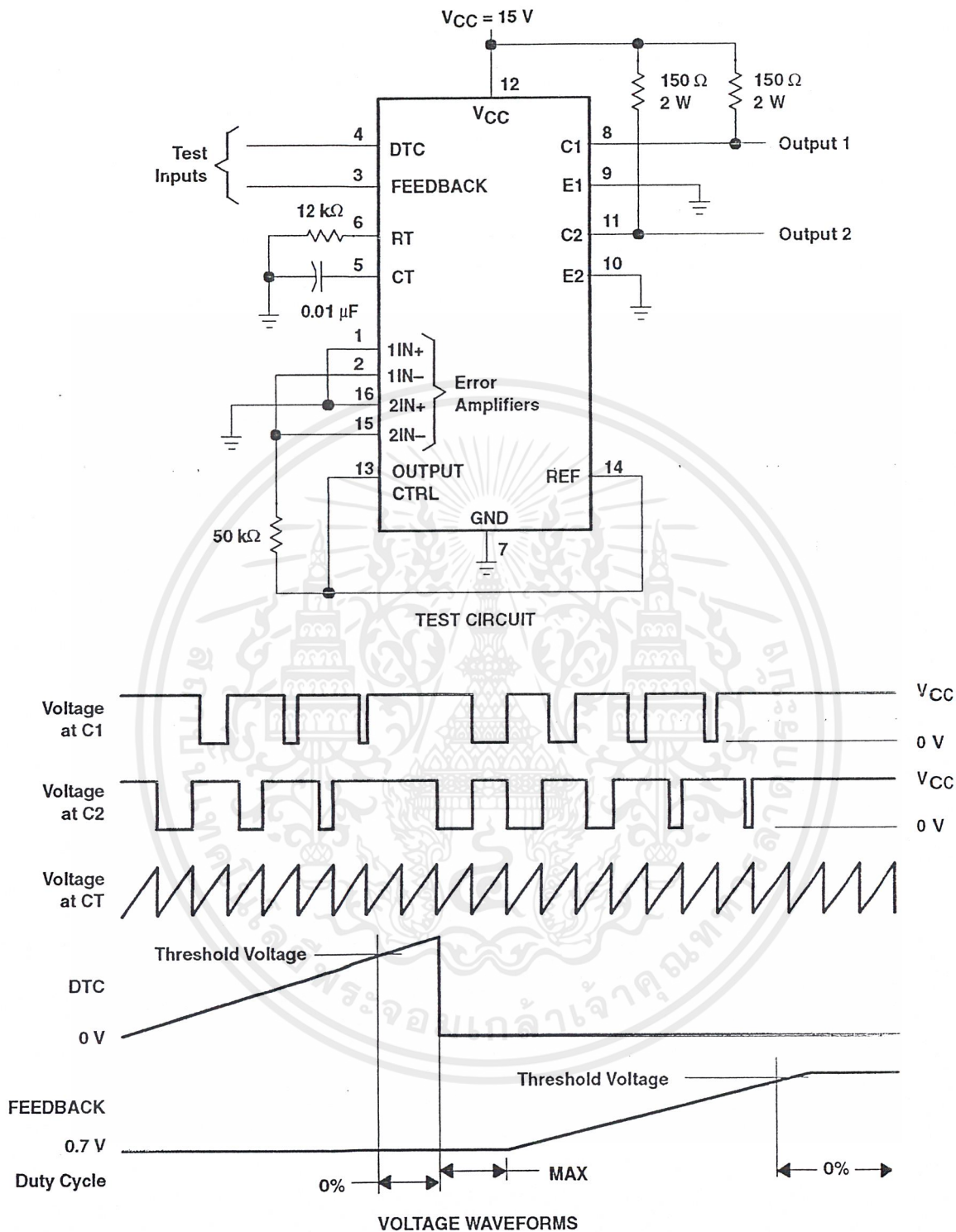


Figure 1. Operational Test Circuit and Waveforms



POST OFFICE BOX 655303 • DALLAS, TEXAS 75265

เอกสารนี้เป็นเอกสารที่สงวนไว้สำหรับการใช้งานเพื่อการศึกษาเท่านั้น ไม่อนุญาตให้นำไปใช้ประโยชน์ด้านการค้า
ไม่ว่ากรณีใดๆ ทั้งสิ้น อีกทั้งห้ามมิให้ดัดแปลงเนื้อหาและต้องอ้างอิงถึงเจ้าของเอกสารทุกครั้งที่มีการนำไปใช้

PARAMETER MEASUREMENT INFORMATION

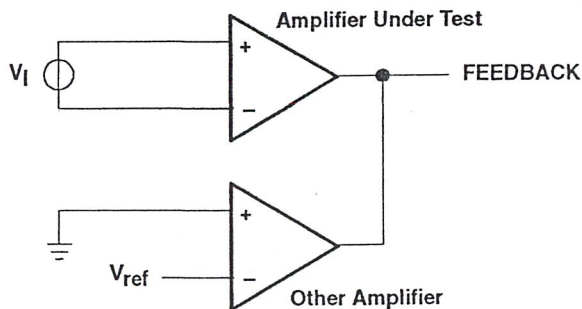


Figure 2. Amplifier Characteristics

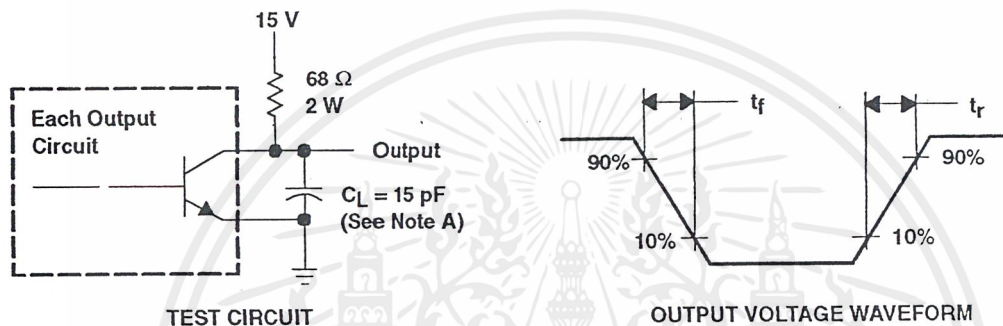


Figure 3. Common-Emitter Configuration

NOTE A: C_L includes probe and jig capacitance.

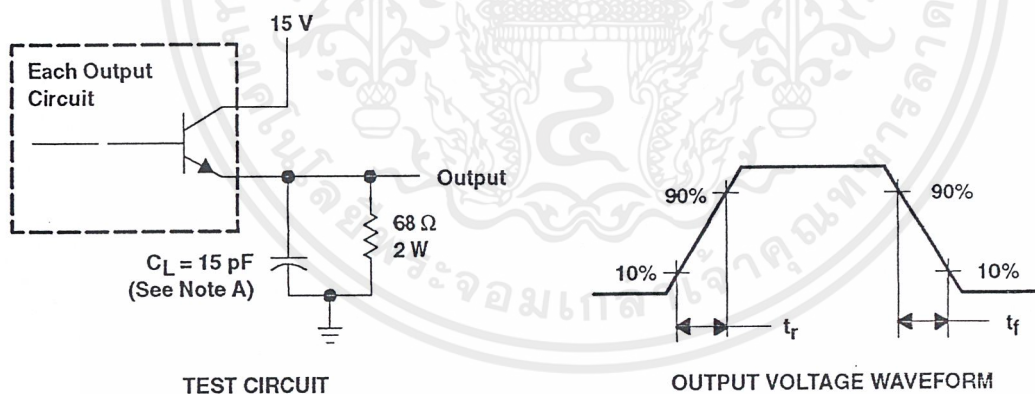


Figure 4. Emitter-Follower Configuration

NOTE A: C_L includes probe and jig capacitance.



POST OFFICE BOX 655303 • DALLAS, TEXAS 75265

เอกสารนี้เป็นเอกสารที่สงวนไว้สำหรับใช้เฉพาะในโครงการที่อ้างถึงเท่านั้น ไม่อนุญาตให้นำไปใช้ประโยชน์ด้านการค้า
ไม่ว่ากรณีใดๆ ทั้งสิ้น อีกทั้งห้ามมิให้ดัดแปลงเนื้อหาและต้องอ้างอิงถึงเจ้าของเอกสารทุกครั้งที่มีการนำไปใช้

TYPICAL CHARACTERISTICS

OSCILLATOR FREQUENCY AND
FREQUENCY VARIATION†

vs

TIMING RESISTANCE

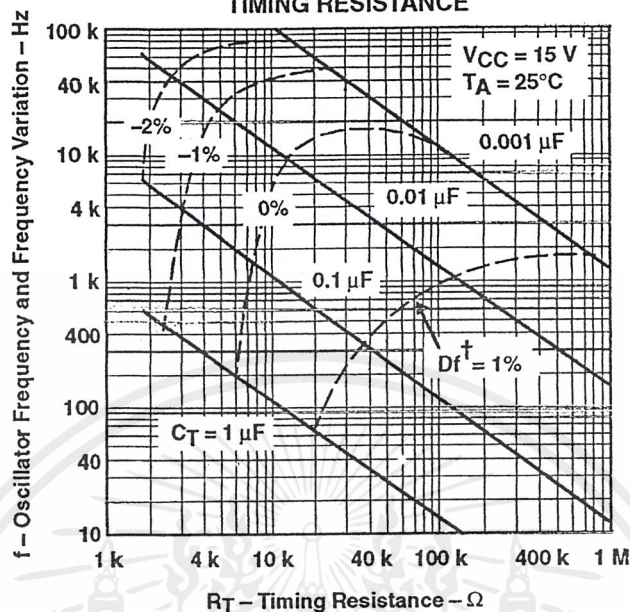


Figure 5

AMPLIFIER VOLTAGE AMPLIFICATION

vs

FREQUENCY

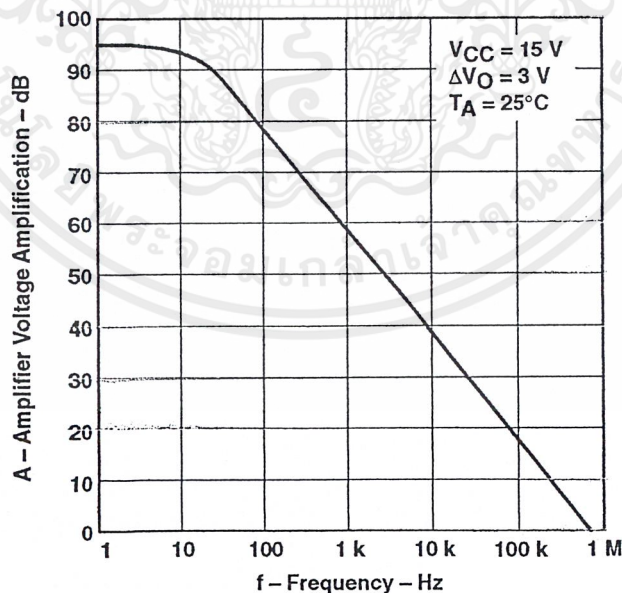


Figure 6



POST OFFICE BOX 655303 • DALLAS, TEXAS 75265

เอกสารนี้เป็นเอกสารที่สงวนไว้สำหรับการใช้งานเพื่อการศึกษาเท่านั้น ไม่อนุญาตให้นำไปใช้ประโยชน์ด้านการค้า
ไม่ว่ากรณีใดๆ ทั้งสิ้น อีกทั้งห้ามมิให้ดัดแปลงเนื้อหาและต้องอ้างอิงถึงเจ้าของเอกสารทุกครั้งที่มีการนำไปใช้

IMPORTANT NOTICE

Texas Instruments and its subsidiaries (TI) reserve the right to make changes to their products or to discontinue any product or service without notice, and advise customers to obtain the latest version of relevant information to verify, before placing orders, that information being relied on is current and complete. All products are sold subject to the terms and conditions of sale supplied at the time of order acknowledgement, including those pertaining to warranty, patent infringement, and limitation of liability.

TI warrants performance of its semiconductor products to the specifications applicable at the time of sale in accordance with TI's standard warranty. Testing and other quality control techniques are utilized to the extent TI deems necessary to support this warranty. Specific testing of all parameters of each device is not necessarily performed, except those mandated by government requirements.

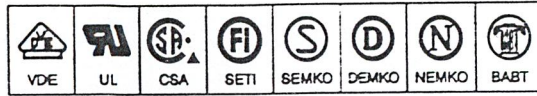
CERTAIN APPLICATIONS USING SEMICONDUCTOR PRODUCTS MAY INVOLVE POTENTIAL RISKS OF DEATH, PERSONAL INJURY, OR SEVERE PROPERTY OR ENVIRONMENTAL DAMAGE ("CRITICAL APPLICATIONS"). TI SEMICONDUCTOR PRODUCTS ARE NOT DESIGNED, AUTHORIZED, OR WARRANTED TO BE SUITABLE FOR USE IN LIFE-SUPPORT DEVICES OR SYSTEMS OR OTHER CRITICAL APPLICATIONS. INCLUSION OF TI PRODUCTS IN SUCH APPLICATIONS IS UNDERSTOOD TO BE FULLY AT THE CUSTOMER'S RISK.

In order to minimize risks associated with the customer's applications, adequate design and operating safeguards must be provided by the customer to minimize inherent or procedural hazards.

TI assumes no liability for applications assistance or customer product design. TI does not warrant or represent that any license, either express or implied, is granted under any patent right, copyright, mask work right, or other intellectual property right of TI covering or relating to any combination, machine, or process in which such semiconductor products or services might be or are used. TI's publication of information regarding any third party's products or services does not constitute TI's approval, warranty or endorsement thereof.

Copyright © 1999, Texas Instruments Incorporated

เอกสารนี้เป็นเอกสารที่สงวนไว้สำหรับการใช้งานเพื่อการศึกษาเท่านั้น ไม่อนุญาตให้นำไปใช้ประโยชน์ด้านการค้า
ไม่ว่ากรณีใดๆ ทั้งสิ้น อีกทั้งห้ามมิให้ดัดแปลงเนื้อหาและต้องอ้างอิงถึงเจ้าของเอกสารทุกครั้งที่มีการนำไปใช้



6-Pin DIP Optoisolators Logic Output

The H11L1 and H11L2 have a gallium arsenide IRED optically coupled to a high-speed integrated detector with Schmitt trigger output. Designed for applications requiring electrical isolation, fast response time, noise immunity and digital logic compatibility.

- Guaranteed Switching Times — t_{on} , $t_{off} < 4 \mu s$
- Built-In On/Off Threshold Hysteresis
- High Data Rate, 1 MHz Typical (NRZ)
- Wide Supply Voltage Capability
- Microprocessor Compatible Drive
- *To order devices that are tested and marked per VDE 0884 requirements, the suffix "V" must be included at end of part number. VDE 0884 is a test option.*

Applications

- Interfacing Computer Terminals to Peripheral Equipment
- Digital Control of Power Supplies
- Line Receiver — Eliminates Noise
- Digital Control of Motors and Other Servo Machine Applications
- Logic to Logic Isolator
- Logic Level Shifter — Couples TTL to CMOS

MAXIMUM RATINGS ($T_A = 25^\circ C$ unless otherwise noted)

Rating	Symbol	Value	Unit
INPUT LED			
Reverse Voltage	V_R	6	Volts
Forward Current — Continuous	I_F	60	mA
— Peak		1.2	Amp
Pulse Width = 300 μs , 2% Duty Cycle			
LED Power Dissipation @ $T_A = 25^\circ C$	P_D	120	mW
Derate above $25^\circ C$		1.41	mW/ $^\circ C$
OUTPUT DETECTOR			
Output Voltage Range	V_o	0–16	Volts
Supply Voltage Range	V_{CC}	3–16	Volts
Output Current	I_O	50	mA
Detector Power Dissipation @ $T_A = 25^\circ C$	P_D	150	mW
Derate above $25^\circ C$		1.76	mW/ $^\circ C$
TOTAL DEVICE			
Total Device Dissipation @ $T_A = 25^\circ C$	P_D	250	mW
Derate above $25^\circ C$		2.94	mW/ $^\circ C$
Maximum Operating Temperature ⁽²⁾	T_A	-40 to +85	$^\circ C$
Storage Temperature Range ⁽²⁾	T_{stg}	-55 to +150	$^\circ C$
Soldering Temperature (10 s)	T_L	260	$^\circ C$
Isolation Surge Voltage (Pk ac Voltage, 60 Hz, 1 Second Duration) ⁽¹⁾	V_{ISO}	7500	Vac(pk)

1. Isolation surge voltage is an internal device dielectric breakdown rating. For this test, Pins 1 and 2 are common, and Pins 4, 5 and 6 are common.
2. Refer to Quality and Reliability Section in Opto Data Book for information on test conditions. Preferred devices are Motorola recommended choices for future use and best overall value.

H11L1*

[IF(on) = 1.8 mA Max]

H11L2

[IF(on) = 10 mA Max]

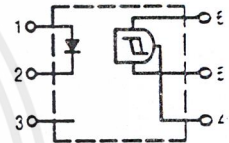
*Motorola Preferred Device

STYLE 5 PLASTIC



STANDARD THRU HOLE
CASE 730A-04

SCHEMATIC



- PIN 1. ANODE
2. CATHODE
3. NC
4. OPEN COLLECTOR OUTPUT
5. GND
6. VCC

TYPICAL CHARACTERISTICS

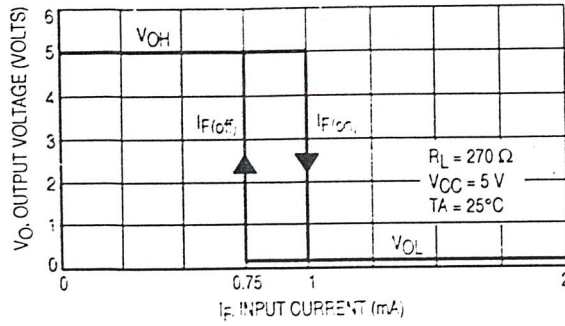


Figure 2. Transfer Characteristics for H11L1

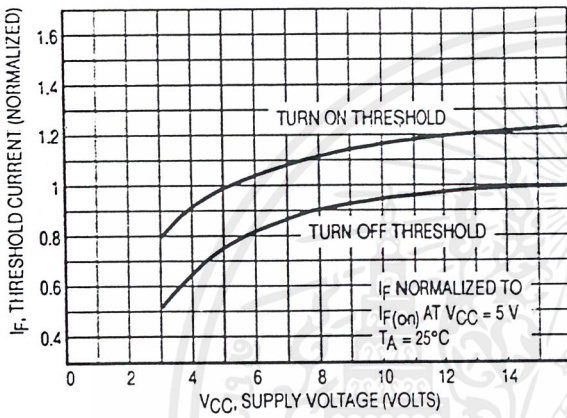


Figure 3. Threshold Current versus Supply Voltage

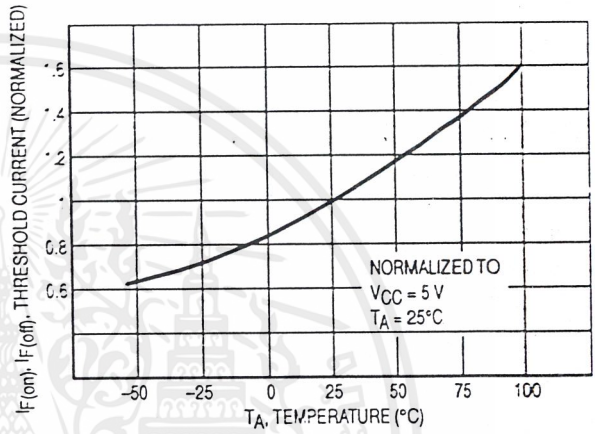


Figure 4. Threshold Current versus Temperature

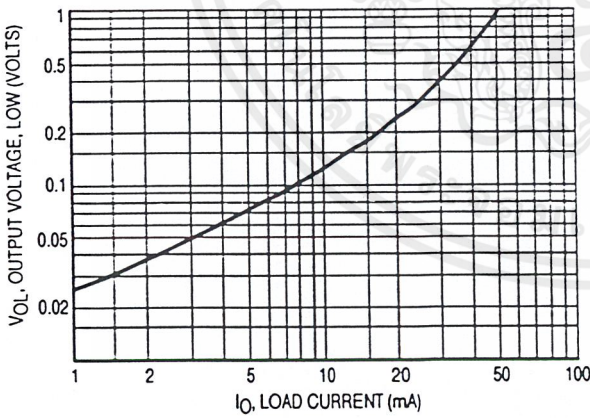


Figure 5. Output Voltage, Low versus Load Current

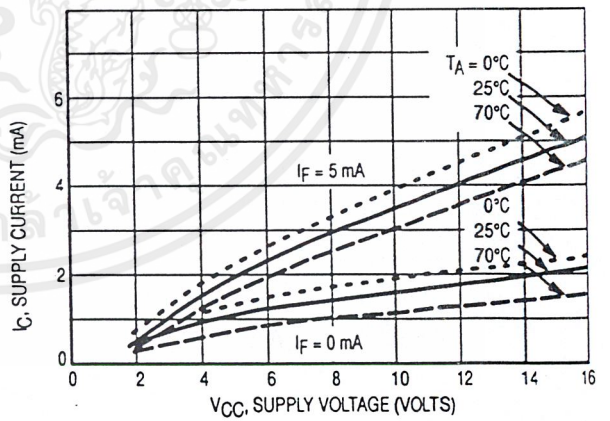


Figure 6. Supply Current versus Supply Voltage